# 第11回地盤震動シンポジウム

# 地震動研究の蓄積とその活用

1983.7.15

日本建築学会 構造委員会振動分科会 地盤震動小委員会

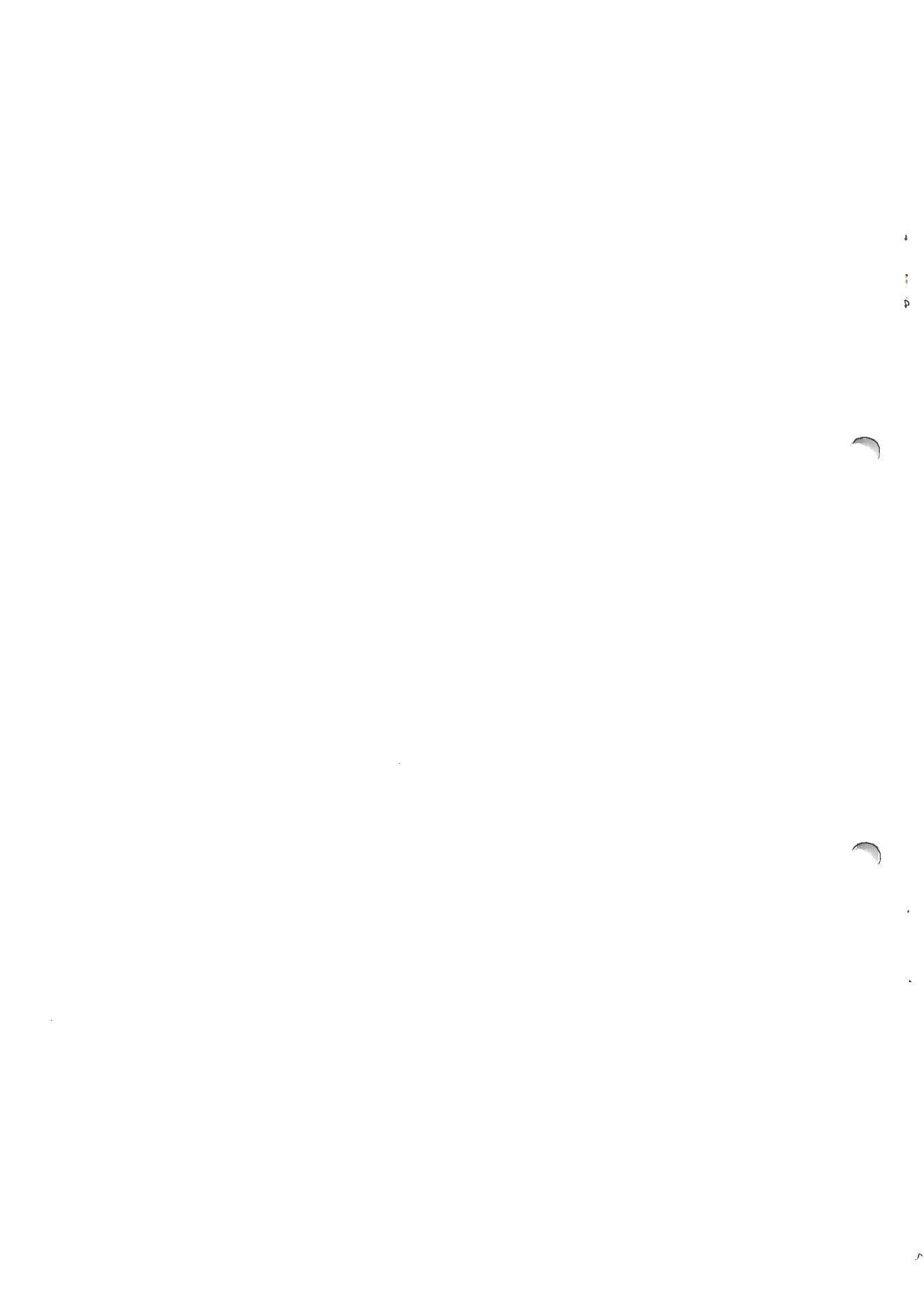
The 11th Symposium on Ground Vibrations (1983)

Studies of earthquake ground motions and their applications to the aseismic design

— In memory of the decadal activity —

July 1983 Tokyo

Sponsored by Architectural Institute of Japan



# 第11回地盤震動シンポジウム(1983) 地震動研究の蓄積とその活用

### 目 次

[[部]	演			
I — 1	地震動研究の蓄積とその活用 -主旨説明にかえて-	太田夕	卜気晴(鹿島建設技研)	1
I-2	地震と地震動	鈴木	保典(東大)	5
I - 3	地震特性と地震動	萩尾	堅治(大成建設技研)	13
I-4	設計入力と地震動	横田	治彦(清水建設研)	19
I - 5	サイスミック ゾーネィション	鏡味	洋史(北大)	25
545 183016	f 題 提 供 変動予測の試みとその応用			
1.1 均	新玉県における地震動予測の試み	鸠	悦三(東大生研)	31
1.2	七木分野における工学的地震動予測とその問題点	亀田	弘行(京大)	37
1.3 万	<b>E業施設の耐震設計と地盤動</b>	柴田	碧(東大生研)	47
1.4	は築構造設計の分野から	青柳	司(日建設計) 隆幸( ")	49

[Ⅲ部]パネルディスカッション「地盤震動からみた地震防災への諸問題」

# The 11th Symposium on Ground Vibrations (1983) Studies of earthquake ground motions and their applications to the aseismic design — In memory of the decadal activity —

I-1	Introduction	1
I-2	Earthquakes and earthquake ground motions	5
I-3	Characteristics of soil layers and earthquake ground motions by Kenji Hagio	13
I-4	Earthquake input motions for aseismic design by Haruhiko Yokota	17
I-5	Seismic zonation	25
1.1	Estimation of seismic force due to the future earthquake by Etsuzo Shima	31
1.2	Earthquake motion prediction for civil engineering structure by Hiroyuki Kameda	37
1.3	Aseismic design industrial facilities and ground motions by Heki Shibata	47
1.4	From a viewpoint structural engineering	49

# [I部] 講 演



# 地震動研究の蓄積とその活用 一主旨説明にかえて一

太田外気睛

#### § 1 地盤震動シンポジウムと10周年記念出版物

地盤震動小麥員会は1972年16日本建築学会の振動分科会の下に設置された。当時は新潟地震(1964年)において砂の液状化か大規模に発生し、また十勝沖地震(1968年)で広域にわたって強震地動の記録が多数得られて、地盤震動の問題がクロ・ズアップされ初めた時期であった。

それ迄の強震観測は構造物の地震時拳動に関する実態把握と理論的説明に重点が置かれ、地盤上における強震動観測の例も少なかったが、上記その他の地震を経験して、構造物の耐震設計を考えるにはまず地盤震動の性質を明らかにしなければならない事が認識されつつあった。そして、折しも日本の経済成長に伴なって超高層ビルや臨海地帯におけるぼう大な建設工事が進められ、それに関連して構造物の耐震性能向上の資料を得る目的で行われた地中地震観測が盛んになり初めてきた時期でもあった。元末、耐震設計における地震動は設計の根幹をなすともいえる重要事項であることから、それなりに重点がおかれ研究されてきたが、各種強震動観測の資料が急速に蓄積されるに及んで、より積極的な研究を進める機が終していたといえよう。

世盤震動小委員会は、の様な背景下で、学会として地盤震動問題をより大きくとり上げて研究を進め、将来は耐震設計用の入力地震動を定める際の問題点に答えることを目標に、活動を初めることなった。それに際しては地震学の専門家に多数御参加頂いて研鑽を深め、また委員会活動の最大の行事として、委員会でまとめられた知見を広く全員に伝えるシンポジウムを年1回開催し、研究者と実務家との討議の場をむってきた。このシンポジウムも回を重ねて昨年10回を数えるに至り、1つの節目の時期を迎えることとなった。そこでこの10年をふり返り、また将表の展望も含めた10周年記念出版物、題して「地震動と地盤・地盤震動シンポジウム10年の歩みつを刊行することとなった。この様に1冊の本としてまとめるとなれば目づから一つの体系を必要とすることから、広く最新の研究も含め充実でせるべく、本委員会以外の方々にも1部御協力頂くこととし、33名の方々に御朝筆頂いた。

#### § 2 第11回地盤震動シンポジウム

5.1 地震勁観測一般

本年の第11回シンポジウムはこの記念出版物の上梓も機に、本に立脚したテーマとすべく。「地震動研究の 蓄積とその活用」とすることになった。本シンポジウムの第1部はこの本の内容紹介と、併せて個人的見解も含む御講演も御願いすることにした。参考のため、記念出版物の目次と執筆者も表1に示す。第五部では他学全や

表 1 対也無要動しと対地理器 一地盤震動シンポジウム10年の歩みー 目次と執筆担当

1章	まえがき	太田 外気晴	5.2 従来の地震動観測とその記録 長能 正武. 角田 智彦					
2章	地震および地震波動		森岡 敬樹. 山崎 裕					
	2.1 地震の特性	大塚 道男	5.3 地震動観測の新しい試み 田中 貞二.岡田 成幸					
	2.2 地震波動	鈴木 保典	6章 サイスミック・ゾーネィション					
	2.3 震源の特性	武村 雅之, 鈴木 保典	6.1 地震危険度評価 服部 定育					
3章	強震地動		6.2 マイクロゾーネィションの意義とその実例 鏡味 洋史					
	3.1 地震動強さの推定	村松 郁栄 望月 利男	6.3 地震防災とマイクロゾーネィション 太田 裕					
	3.2 強震動と最大動予測式	石田 勝彦	7章 設計用入力地震動					
	3.3 強震地動と断層モデル 小林	啓美、翠川 三郎、瀬尾 和大	7.1 耐震設計と入力地震動の考え方 鈴木 有、長橋 純男					
4 章	地盤特性と地盤震動		7.2 やや長周期地震動と耐震設計 横田 治彦、山原 浩					
	4.1 地震基盤	入倉 孝次郎	7.3 短周期地震動と耐震設計 石田 勝彦					
	4.2 弾性波探査	服部 定育	7.4 構造物の耐震性能と入力地震動 田治見 宏					
	4.3 地盤の動力学特性	太田 外気晴, 原 昭夫	7.5 入力地震動研究の動向 北川 良和					
	4.4 表層地盤における地震動の増幅	太田 外気晴, 萩尾 堅治	8章 結び 太田 外気的					
	4.5 波の種類と地盤震動	工藤 一嘉、塩野 計司	付録 最近の被害地震における観測結果例 勝倉 裕					
	4.6 不規則な地盤構造の地盤震動	多賀 直恒	(1974年~1978年の4つの被害地震)					
5₩	5章 地震動觀測							

\*:底島技研,工博

建築構造設計の実務家からの立場で地震動予測の話題の提供を御願いし、更にパネル・ディスカッションでは客 I部と第正部を総合して、地盤震動からみた地震防災への諸問題について紛討議項(こととなった。

記念出版物の内容は第1部の講演番号2~5に期待するとして」こっでは図1を参照しながら機格する。図1 は地層構造と地震断層および地震波の伝播。地表層での増幅等々を示し、各種の地形や地盤上における構造物に 関して、耐震設計のための地震動強さが設定される位置が広範囲にわたることを示している。将来の耐震設計は 「震源から建物頂部まで」が標榜型される様に、地震動研究はこの図の全体に及ぶものといえ、記念出版物「地 震動と地盤」はこれらを網羅したつもりである。

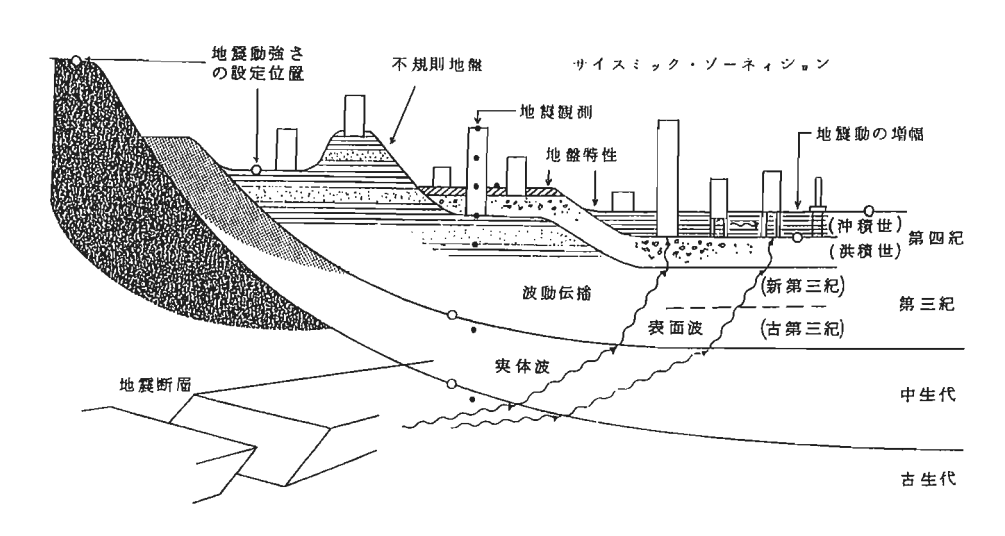


図1 地震と地盤震動研究や設計に関する各種の分野の概念図

#### § 3 地盤震動研究と1983年日本海中部地震

1983年5月26日の日本海中部地震(M=29)は東北日本の西側にかなりの被害をもたらした。この地 震の特徴的な点を模観して 記念出版物はこれで良かったかるかをふり返ることは ホシンポジウムのテーマに そった具体例として有効であろう。そこで今回の地震について、主として地盤震動の特徴的な点も示し、問題点  $M_a = log A_{max} + 1.73 log X + C_2$ を洗ってみる。ここで津波は除いて説論を進めることにする。

#### 1) 地震の被害概況

日本海中部地震の特徴的な被害もまとめて表2に示すが、これからわ かる様に、地変にかかわる被告が目立っ地震であった。

以下、a)地震の規模、b)地震動強さ、C)構造物の被害と地盤震動につ いて、記念出版物その他と比較しながら検討する。

表2 日本海中部地震の特徴的な被害の 概要 (津波は除く)

		対 象	被害
a	<b>地盤</b>	田畑,埋土	喷砂,液状化,他
b	建築物	RC造,S造	上間コンの陥没等.構造部技料破,二次部技
	~ ***	住家, 外構等	地変にお被害大 ブロック塀転倒
۵,	<b></b>	證岸,道路,築堤	脳没,地割れ
d	コンビナート	貯油9-1	浮屋根a発火(短時間1:消化),流出

1983.5.26 preliminary) O 1963 - 1980 H < 60 km 団2 加速度による地震規模供付)2)

#### 2) 特徴的な諸問題

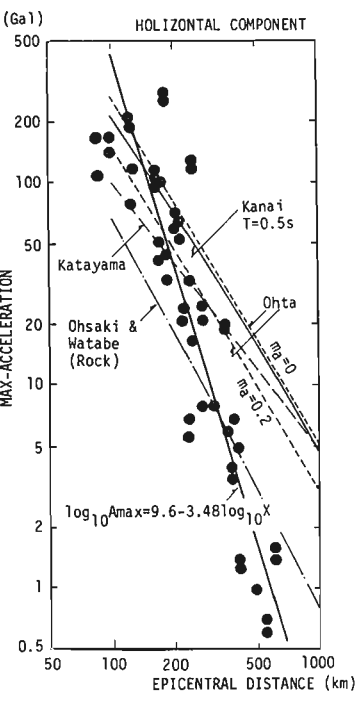
#### a) 地震の規模

図2には後述する各地の加速度最大値AmaxによるマグニチュードMa 支気東庁のマグニチュードMr と比較して示す。この図によればA max の回帰式によるとMa= 2.2となり、加速度的な実力は相対的にない( 又IIMT が大きく評価された傾向にある)ことがわかる。これは最近。 マグニチユードは便利ながら限界があることの議論に通じよう。プ

#### b) 地震動強さ

水平方向の加速度最大値Amaxと震央距離の関係を図るに示すが、A maxの勾配は極めて急である。また上下方向はここでは略すが、水平の 約1/2である。これらのデ・タは港湾技研、土研・弘前弋、電中研" 岩盤強震了レー観測委員会、他による暫定値である。

A maxの急速な減小の程度を調べらため記念出版物にまとめられた同 種の式と比較して図中に示す。直線的な部分の勾配は多くの式が1/27。 X: 距離 『近いが、この地震は 1/x \*\* に近く、きわ立っている。 俎し 他の式は平均的な傾配であるため、個々の地震について調べた結果でき 検討してみると1971年、襟裳岬沖地震の勾配が急であるが、それに しても 1人な 程度である。この様に 1人35 にもなる理由は現役階で は不明ながら、震源の特性、 公播波の周期特性や経路の性質が関係して 図3 加速度最大値を震央距離の関係 じようが、今後検討に値する問題であり、各方面からの研究が期待され



ら"(不充不死(深浦南,電中研),弘前大の加速度記録は25~30秒で一度小さくなっている。震源符構をの関係が注目される)

#### C) 構造物の被害と噴砂・液状化

建物廻りの舗装面が陥没した被信(液状化,埋土の転圧不足)、土木構築物の常識的な被害も深いて 構造物 または地盤の被售については次の2点についてふれる。 即ち噴砂による建物被害と、液状化一般である。

まづ噴砂による建物被害の最も顕著な例として男鹿工業高校実習棟(PC杭支符)の土間の沈下(50~60㎞) があげられる。これと対照的な來の相対的な隆起の例が青春県武田小学校(布墓礎)である。地盤は共に湿地上 の埋土で、表層で振幅が増幅される條件下にある。被害状況の差は杭の有無と元の地盤の相関(共田小はあしが やの根の層有)が原因したのか否か、現段階では不明であり、今後の検討が望まれよう。

次に噴砂や液状化であるが 新潟地震ほどの大規模な被告に至らなか。た理由として、秋田県の代表的地盤に おける砂層は比較的浅い位置にあらことに原因していよう、との見方がある。埋土の最も大規模な例である大潟 村では、地盤が非線形領域に入ったであろうて考えられる長周期成分(約3秒)を含む加速度記録が得られてお り、今後の研究に期待が持たれる。但し、液状化地盤において、しまった地層中における強震記録は現在までに 得られていないので、今後の観測網の充実が望まれる。

#### 3) 検討

記念出版物に示した地震動研究の蓄積もふまえて、日本海中部地震を例にして「蓄積された研究と活用」に問 題はないか否かを整理してみる。その意味で今後の課題といえる事項を列挙すると次の通りである.

- 1) 加速度最大値の震央距離に対する減小が杨端に急勾配である理由の解明
- ii) 地中地震計による軟弱地盤表層の塑性応答,特に液状化地点の現象把握(要觀測網の充失)と研究の促進
- Ⅲ 各地域の地震防災と地震予知の連携と研究の促進(秋田県の地震防災研究は4年前より開始)
- ii) 構造物の耐震性向上のためのきめ細かな知識の普及、基準の見直し、質の高い設計と施工の実施 以上のうち、i) li新半俣の把握、ii),ii) li以零性も認めつつ。難問であったり、実施に限界があり、理想的状態

に至ってない事項であろう。ii)は、構造物の耐震性が施工まで含めた総合的な質の良さで決まる例が炒く、被害 地震の度毎にくり返される事項である。

以上,日本海中部地震に基づく特徴的な点について連載的に述べ、記念出版物と対応して議論を進めてきた。 今回の地震に関する本格的な研究はこれから行われるであろうことから、ここでの議論は自づから限られる。 § 3で特に小れなかったものの、限知の問題点や常識的な報告も多くあった。

#### 多4 結び

第11目地盤震動シンポジウムの開催に際して、10間年記念出版物の刊行とテーマの設定に関する主旨説明 を行い、併せて日本海中部地震を例として記念出版物を見直した。この本は地震学の領域までを含み、過去のシンポジウムや最も進んだ諸研究も盛り込んだもので、広く活用されることを期待している。

然し、勿論完壁ではなく、加速度最大値の急速な減小に関する新事実の論理的説明や、砂の液状化に関する直接的現象把握のための観測網の整備や関連する研究の推進など、今後の課題も指摘できる。

今回の地震に関連した視点以外に、本いホレた今級の課題はり模疑地震動、ii)高密度強震観測。ii)地盤と構造物の相互作用に関係するもので、共に最終目標である耐震設計に一歩近づくテーマで、近い将来複計したい。

本シンポジウムでは地盤震動,構造物の耐震性,地震防災等の問題について、折からの日本海中部地震の話題 も有意義な範囲内で交えながら(さけ得ないでありうから)、活発な議論が行われることを期待したい。

#### 多5 謝辞

記念出版物の刊行にあたって多数の方々に短期間で御鞭筆を御願いし、無事上梓にこぎつけ、地盤像動シンポジウムの題枝に供することができた。この様な木のよ版を企画することになったのも、ひとえにシンポジウムに 御祭全頭いた方々の熱意と励ましに負うところが写い。ここに厚く御礼申し上げます。

また日本海中部地震の強震記録は、注4~9)に示した各研究機関の方々のたりまめ努力の賜であり、ここに引用させて頂くことを快諾賜わった。強震観測事業は報われることの少ない、地道なむのであるが、地震発生後には組織外への早息な情報位連が要求される。記録の分析結果は広く耐震研究の進步に貢献するため大いに活用されることが望ましいとも考え、図るは関係者の汗と脂の結晶として、威謝の念をもってここに掲載させて頂いた。参考文献及び注

- 1) 中盤震動小委員会: 第9 回地盤震動シンポジウムの会告, 建築雑誌、No 1175, 昭和56年2月
- 2) 武村雅之,太田外纸晴:加速度振幅から見た地震規模,應島枝研字额,第 3 1 号,昭和 5 8 年 6 月
- 3) 地震動と 地鑑一地鑑度動シンポジウム10年の歩み-.2.1 節, 2.3 節, 日本建築学会, 1983年
- 4) 含田果一,福原哲夫,野田節男:昭和58年(1983年)日本海中部坎康の港湾地域に知ける強康記録。 港灣技研資料,1% 458 (1983年9月刊行予定)
- 5) 土木研究所(川島-彦伊):土木浮公の杏員全資料、昭和58年6月
- 6) 弘前大学理学部地球物理学科, 地震戳型センター, 佐藤柘, 佐藤 魂夫
- 7) 国生刚治他:1983年日本海中部地震被震調查報告,便中研調查報告,昭和58年8月刊行予定
- 8) 委員長:表俗一郎,及以9) 岩盤鉛直了1-地震觀測委員会(香貝長:表俗一部),便力共通研究,事務 石川共八鹿島建設技研一太田外気晴,足立憲秀、高橋克也,越田洋,武村雅之,稗圓成人,石田寬
- 10) 太田外気情, 清田芳治; 加速度の平均的距離滅衰 v 地震による加速度レベルの相異, 日本建築学全大会学術講演模様集, PP 499 ~ 500 ( 昭和54 年 9 用に関連する手元資料
- 川) 小林啓美、瀬尾和大:1983年5月26日,日本海中部地震の都層モデルによる地表最大加速度振幅の 計算値,及び転倒瀑石による推定値等との比較,日本建築学会耐震連絡委員会資料,昭和68年6月6日
- 12) 東洋一,遠藤利根標,津村浩三:日本海中部地农被信調查,日本建築学全科像连絡委员全資料,昭和 8 8 年 6 月 6 日
- 13) 望月利男:秋田県の資料に基づく注8)の各員会における於言, 昭和58年6月11日

# 地震と地震動

鈴木保典

## §1. 序

「地震動と地盤」の第2章・第3章を中心に,縦断的にテーマを整理し,問題点Σ指摘するのが課題であるが, 第2章・第3章を第毎に紹介するだけで紙面が盡きてしまった。

#### ₹2. 内容紹介

第2章の「地震なよび比震波動」では、地震の特性(2.1)、比震波動(2.2)、震源の特性(2.3)の3節に分けて、主として地震学の立場から地震について説明している。第3章の「強電化動」 は、地震動強さの推定(3.1)、強震動と最大動を削式(3.2)、強震批動と断層モデル(3.3)の3節で主として地震工学の立場から強震動を取り扱っている。以下2.1節から3.3節までを簡単に紹介する。図や表の番号は「世震動と批望」中の番号も付記しておいた。

2.1 地震の舒性 この節では、地震の大きさを表わり後その量(2.1.1)、砂震活動(2.1.2)、活断層(2.1.3)、地震気が現象と予知(2.1.4)について述べている。

地震工学の立場からは、ある場所がどっくらいの類度で強い地震動を 経験しているかを示すデータの方が有用かもしれたい。例えば、同2 は、江戸間府以来東京が経験した被害地震の発生を示したものである。 (2) 地震発生の癖では、快震の震央が移動していく例と、因うに示すように巨大地震の帯を 比震区に分けた例が取り挙げられる。 図るり 地震区について、津液の記録や比震動災害の記録から推察される活動 史は、表1に示す通りである。

東海道~南海道神(図 6.11)の巨大地震発生年 ŧ٤ n F. 天武天鬼(風伯) 887-旗和 永侵 1099 1096 正 平 1361 応 -1498→ F? 废 1605····· F? 長 政 1854 -1854 -1946 • 1944

- 2.1.3 枕雲と新屋 活断層(第4配に活動した断層)の変位速度による3つのクラス合けと、枕窓の発生間隔について説明している。
- 2.1.4 枕電の発生に先至っ現象 (1)枕電活動の空白城,(2)枕盤の客降・傾斜,(3)枕電破強度の要化,(4)をの他,(5)日本の枕電予知係制と枕電工堂が簡略に述べられている。
- 2.2 地震波動 こり節では地震波動の基本的性質(2.2.1~2.2.3)と、新層モデルによる単純な媒質での理論地震記象(2.2.4) について説明している。
- 2.2.1 実体液 弾性体の内部を伝播する実体酸には、P酸と分酸という2種類の酸がある。 (1)平面波, (2)採面波, (3)平面境界での平面級の反射・屈折((a)自由表面, (b)ニョの半無限媒質間の境界)について基本的な事項を説明している。(2)射角のiと虚数単位のiとを誤に已到していないが混同することは全かるう。)
- 2.2.2 表面液 (1)レイリー液,(2)ラブ液,(3)その他の提界液について簡単な記述がある。(すらに複雑な健質での表面液については、4.5 を参照のこと)
- 2.2.3 健康波顧理論 (1)波線パラメータト、(2)走時曲線、(3)速度分布(ヘルグロッツ・ヴーヘルト法)、(4) 実体放の振幅について簡単に述べている。
- 2.2.4 くい違い理論に基づく理論地震記表 (1)くい違い理論 では、断層面を境にして変位・応力成分に 差がある場合に対して、それと等価な力気を導いている。語論はよく知られているように、応力不進読には単一 力が、変位不速暖(特にすべり)には確双力低(ダブル・カップル力素)が等価である。図4に示した断層(点)震 源には、図5の上下の各単双力低(シングル・カップル)を含わせた複双力低が対応している。 (2)理論地震記 表 では、無限・半無限媒質中の断層がよの他素改計等手法について簡単に配れ、例として 1933 年三陸地震に 対する面媒質の計算波移と観測波形を図6に示している。 (波形計等例としては、2.3 まよむ 3.3 を参照のこと) 2.3 震源の特性 この節では 震源スペクトル(2.3.1)、震源パラメータ (2.3.2)、マグニチュードと断

層もデル(2.3.3)の説明がなされている。

- 2.3.1 震源スペットル (1)電源のスペットルの定義は、枕震液の変位スペットル(の段対値)を
  [U(ω)] = Rop / (4πρで³)・(1/r)・Mo(ω) と表わした時のMo(ω)である。ここにRopは濁りの方向性による方位分布(radiation pattern), 尼は考えている変位或分に位り P波または S波速度である。 重要なことは、ωποに近づいた猛配で Mo(ω)は 枕震モーメント Mo = μ DS に一致することである。 μは剛性率, Dは平均最軽くい違い量、Sは断度面積である。 (2)伝播性有限震源の効果は、震源スペットルにコーナー周波数(スペットルの所も当り周波数)が生じ、短周勘録域のスペットル振幅が減少することと、確値の進行方向に対してコーナー 周波数が変化する(磁位の進で方向でコーナー 周波数は大きく、反対方向では小さい)ことである。 (3)震源スペットルの形状、図 7,8のハスケルモデルの震源スペットルは、L、W、てに対応するるつのコーナー 周波数を持ち、低周波(長周期)鏡端で平担であるが、高周波(短周期)鏡端で最終的には ω³のコーナー 周波数を持ち、低周波(長周期)鏡端で平担であるが、高周波(短周期)鏡端で最終的には ω³のコーナー 周波数を持ち、低周波(長周期)鏡端で 平辺であるが、高周波(短周期)鏡端で最終的には ω³のコーナー 周波数を持ち、短周期袋域で 最終的に ω²つに に (4) 観倒スペットルとの関係 実体波について 観測スペットルを f(ω) と まりば、 1 G(ω) = Rop / (4 πρ で²)・Mo(ω) HM (ω)・HCR (ω)・HINS (ω) と表せる。ここに HM, HCR, HINS はマントル、 地設、計器の伝達関数を表わす。
- 2.3.2 震派パラメータ 断層の長まし、幅W、すべり量D(以上3つが静的パラメータ),破壊伝播速度下、すべり速度 Vse (以上2つが動的パラメータ) という 震源パラメータの評価法及がその例が記述されている。((1)~(3)) (4)震源スペクトルのスケーリップ則とは、 枕震モーメット M(震源スペクトルの伯問欲發 域での 振信レベルに 等しい) がコーナー 問欲裂の 3 乗 に反比例 するという 関係をいう。この 関係により Mのみで 規定される 震源スペクトルは、1つの平均像を与える意味で重要である。 図11、12 にスケーリング則を適用した 震源スペクトルをます。 2.3.3 マグニチュードと断層モデル (リマグニチュードの評価) 気象庁マグニチュード (1928年電城県沖 配震) 表面 彼マグニチュード (1928年電城県沖 配震) 表面 彼マグニチュード (1928年電域展 で 0.3で 方

は対電モーメントとの関係;MsとMoとの関係から,少くとも同期20秒以上では単純な断層モデル( ハスケルモデルや佐藤・平沢モデル)によって、実際の地震の雹源スペットルが表現出来る。 ード間の関係と震源スペクトル; るの表とは各種マグニケ 表2(原表2.3.3) 各種マグーチュードとその決定問期 ードの決定周期を示している。マグニチュードはその決定 マグニチュード 周羽での震派スペクトル振幅を表わすと考えれば、各マグ

ニチュードが枕雹により一致しないことがあることは説明 出来る。各種マケニチュード間の関係互動動を併せして、 周期20秒以下の比較的短周期領域でのスケーリングもデル

のかとして図はがある。

決定周期(秒) 約 20 表面波マグニチュード Ms 気象庁マグニ 4ョート M⊤ l ~ 5

実体波マグニチュード 4~12 mR 1分前後? ローカルマグニチュート" ML

3.1 地震動強さの祖定 この節は 震度すよび震度階(3.11), 墓石転倒・末途建物被言による北震動強 さの推定(3.1.2)から成り立っている。

3.1.1 震度あよび震度階(1)定義では,震度(階)の定義と,地震工学的恋義について述べている。(2)種乡 の震度階とその説明文;震度階の歴史を簡単に述べて、以下現在使用されている@気を庁震度階、似改正メルカリ (M M)雹度階 , (c) M.S. K. 電度階の説明(文) を載せている。この内(4)に関する例は表3 である。また気色庁の宮度 決定の注意事項や、震度には「その付近一帯を代表する値」という意味を抒たせていないこと等々述べられている。 (3)各種震度階の対応あよび震度と地震動の加速度なよが速度との関係では、団件が示されている。この対応関係 は平均的に成り立っことと,著者が調べた地動速度との対応も同回に付けかえたことが述べられている。 (4)震 度の通信調査でけ、河角による/2階段の(MM震度階に浮ずる ) 震度階を 「日本式/2階段震度階と呼んでいる。 最近の通信調査の符徴と12、窓度の高い震度分布図の作成(佐盤の特性が出てくる)と、人々の対応状況の調 直(枕震時の緊急対策につながる)の2点がある。 (5)震度分布の利用例;陸の被害吐電についての因(ニニに は示すない)と、治の大地震と陸の大地震2つを含めせた図15より、「震度17の枕震動(被害)は、余震域の東上に だけ生ずる」と器論付けている。また震度N,V,Nの各面額とマグニチュードMとの関係式の新用法についても 言及している。 (6)震度判定基準の一貫性について;末途住农秘官率と震度V1の下限との関係を詞べて,「危 急庁雹度Ⅵの下限は,河角の日本式12階段雹度9ヵ下限に対応しており,10で方いことは確かである。また気急庁 の判定には相当の獨度の一貫性が保たれている。」と評論付りている。外国の2つの批震水ら、気急庁震度VIの下 限はMM電度、MSK電度共に9の下限に対応する。1「気象庁電度VIが日本式に階級電度10の下限に租当すると いう見解が最近の遺信調査に見られるようであり、判定基準の相異は無いようにしてあきたい。。 被害との関係;人体感覚を判定の基調としている気象庁蹇度と被害との間に一義的な対応関係が定め難く,据合 によっては大きなずれを生ずることが起る。

3.1.2 墓石の転倒・末造建物の被害による地震動強さの推定 11)概率;大義,物部の考え方を幾つかの地 電の資料に適用し、最通なP(全域率)-K(水平震度)関係を求めるとともに、得られたK(水平震度)が実際 に作用したであるう故霊動加速度といかなる量的関係をもっかについて主として望りほかの単体の動符性の理論 を用い、強震記録波に対する単体の動的既界が速度との比較により検討し、結論と1 て , 墓石による推定加速度 を実地動の最大加速度に受換するための近似实験式を捉棄している。 (2)墓石による震度と末途建物全体等の 関係:図16は6つの地雲に対する平均的なPIK関係を示す。濃尾地雲のPIK関係は大盃によるものであるが ,Kを温少評価しているという保証を,福井・瀧尾西砂震の住家全境率と震死者との関係がら得ている。 (2)震 度と電源距離·加利(加盤)の関係;電度Kと電源距離X(断層面のよの最短距離)の関係を,(a)関東地電に対 してり移題の地形 別に求めたのが 図りである。 世移区分の 内晶も 地震基盤に性状が近い 山地地形のKIX関係を 用いて、地形効果を補正し、近似的左霧出地震基盤でのK分布を求めた所、ほと人ど方向性が得られたかったの で、ここの×は工学的見せから K分布を移討する際の妥当な憲派 延頭を表わしている。 (1)福井化吏に対しては、 今発題の必然に対し同様の操作を施した。 (4) 差をによる推定が速度と強震計による最大が速度の比較、深震動力

度入力波を入力して、単体(高さH、幅B)の挙動を理論計算により調べて、最大加速度Amaxとそれに対する監界 転倒加速度の比と、K=B/Hの関係をプロットしたものが図りである。一般の被言社震を対象とする際、上位プループに対応する図中の式のみを採用しても妥当であるう。

- 3.2 強震秘と最大動予側式 この節は最大動予例式(3.2.1)とその羽至比較(3.2.2), 化震動の離説時面(3.2.3)と主動の概念(3.2.4), 強震動のながフトル特性(3.2.5)とから成り立っている。
- 3.2.1 最大動の予例式 最大動の予例式として194が表になっているが、その内(1)河角(4)全市(1)周末(4) グーテンベルフ・リヒター(5)エステバ・ローゼンブルース(6)シュナベルとシード の名式について解説している。
- 3.2.2 最大動予例式の相互比較 M=7について最大加速度・速度の予測需果を比較している。また予測式による最大加速度と比慮記録の比較例として $\Omega$ 19がある。
- 3.2.3 扩電動の確議時向 Mのみの関数として原議時面を求める実践式。トリフナックの定義。ハウスナーとニュンプスの振幅包絡度が説明されている。
- 3.2.4 枕震動主軸の概念 枕震動を確率事象としてあり扱い、三次元を動の3成分が至いに独立であるようた動住動)について作震動の特性を考える方法および 結果が紹介されている。
- 3.2.5 強震動のスペットル特性 スペットル特性 スペットル特性を、毅例や動スペットルの特性と地震基象での強震動スペットル特性に合けて考察する。ニニッで震
  基盤のらば速度はあるkm/sと考える。 (1)地盤上の強震動スペットル;平均応管スペットル(地盤 移列 と考慮(た)の研究と紹介(マいる。 (2)基盤での強震動のスペットル;地震動のスペットルを分数の地震について平均すれば、世盤の 偽物特性と抽似のスペットル がほかるという仮定に基づく研究を紹介(マいる。 地震基盤における 地震動の 蓮屋応答スペットル らっ。を、マグニチュード M, 震派距離 スを用いて  $\log_{10}$  Su = a M b  $\log_{10}$  X c の形に 小 M · 長稿は整理した。 周期 丁の関数 として a, b, c を  $\log_{10}$  に 京す。 石田は 基盤に おける か 速度 フーリエスペットルについて、 断尾モデルから 弱行される ように、 有る 周期 より たかい 周期 範囲で フラット に なっている ことを 示 (た ( $\log_{21}$ )。 田中他は 中で 長 周期 範囲に よけ 3 スペットルを、 震 皮 距 難の 違う 2 つっか ループ に 分けた 銀 週 彼 形について 本 め、  $\log_{22}$  の 定 アクタップ ループ に 分けた 銀 週 彼 形について 本 め、  $\log_{22}$  の 定 アクタップ ループ に 分けた の は で の に スペットル と、
- 3.3 預震化動と断层モデル この節では地震波の発生・低傷と預震地動(3.3.1)と、断尾モデルによる強震心動(3.3.2)とが扱われている。
- §3. シンポジウム当日は マグニチュード、短周期地震動モデルを中心に話を追める予定である。

有充(智川·l.林)ばなり、その計算例を図26にます。

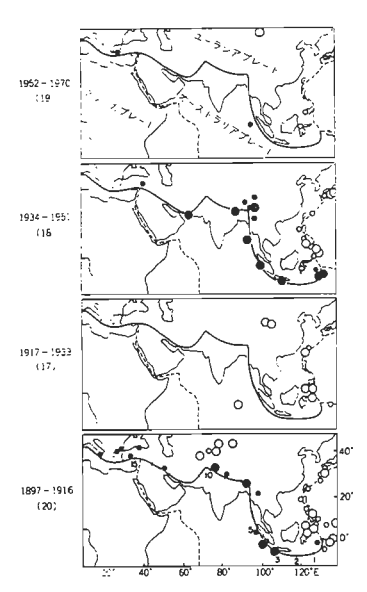


図1(原図2.1.6)、ユーラシアプレ オーストラリアプレートの境界地震を、 ほぼ20年間毎にプロットしたもの。

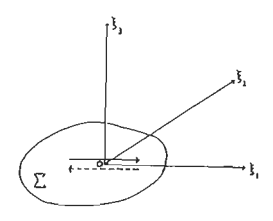


図5 (原図2.2.13) まえ面内の断層 面里、この正の側式をみ正の方向。 ろの負の側が至の負の例に変位する。

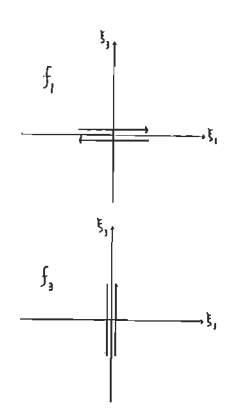


図6(原図2.2.14),図5の変位くい違い(オペツ) に等価な力系。 打と打を合わせて複双力 源である。 図7 (原図2.3.1) ハスケルモデル

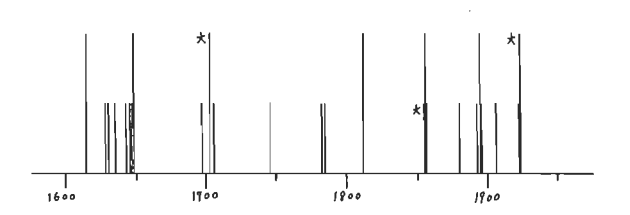


图2(原图2.1.7),江户幕府が出来て以来,東京成地震被害 を受けた年。長い棒は大被害を示す。

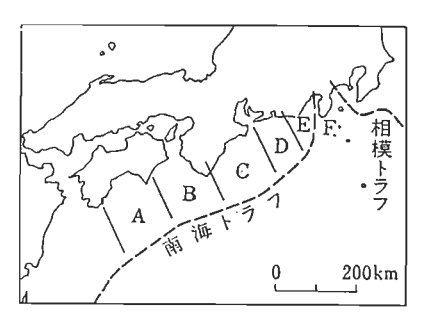


図3 (原図2.1.9)。東海道-南海道沖における大地 屡の震源域

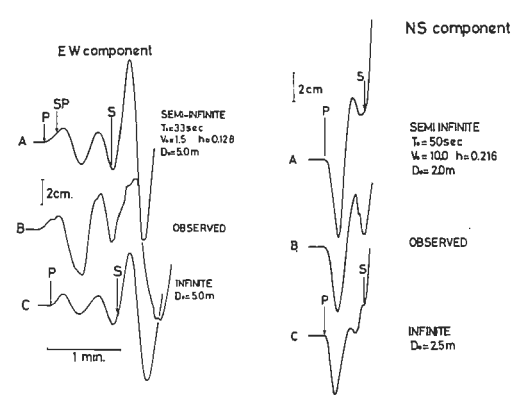
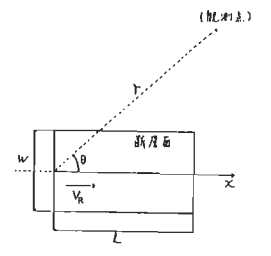


图 6 (原图 2.2.16)。1933年三陸地震の観測波形(中段)と, 断層モデルによる理論記象(上段一半無限,下段一無限保質)



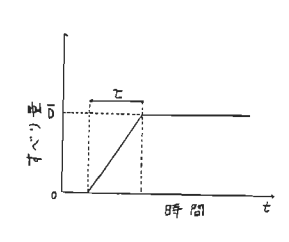


図8(原図2.3.2), ハスケル・ モデルのすべり関数

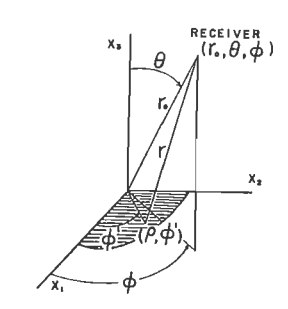


図9(原図2.3.3)佐麓と 平沢のモデル

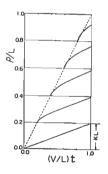


図10 (原因 2.3.4). 佐藤と 平訳のモデルのすべり関数

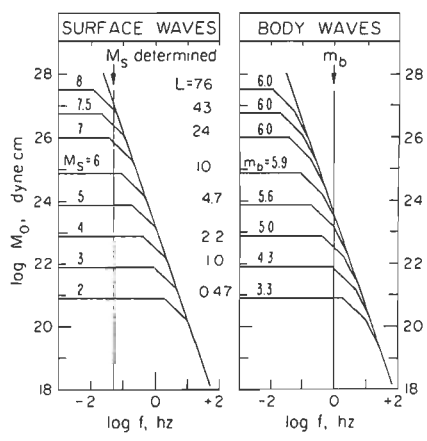


図11(原因2.3.11). ハスケルモデルを用いたスケーリングモデル.

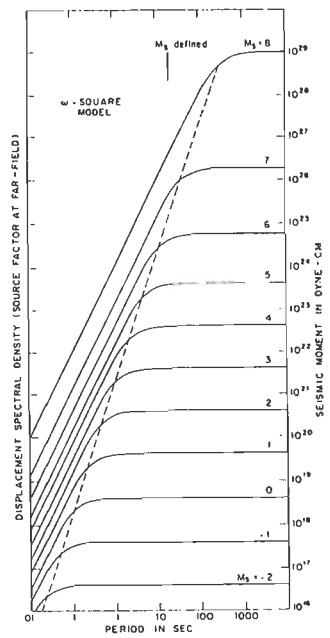


図12(原図2.3.12)。 W白葉モデル、

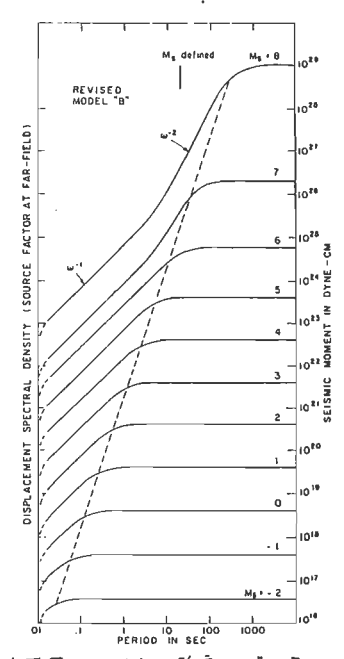


图13(原图2.3.15). 改良モデルB.

柳坊	125	9		8	25,	事	91
0	単語、人体に感じないで地質)	けに記録される母皮。					されたり、カチカ ければ無感である。
ı	設賞、前止している人や。特! ずる程度の地質。	こ地質に住意保い人だけに感	静かにしてい くない。立っ				感じ、その時間も 多い、
11	母間、大ぜいの人に感ずる程 に動くのがわかる程度の地質。			Buti	る場合	EIIA	いてもゆれをわず んど感じない。 版
m	保護、家屋が中れ、戸海子が うなつり下げ物は相当中れ、 個度の地質。		戸外に飛び出	110	btel-L.	- 恐怖豆	人も目をさますが はない、戸外にい る場合感じない人
ıv	中間、家屋の動脈が厳しく。 れ、質内の水はあぶれ出る。 られ、多くの人・は戸井に景	また、申いている人にも感じ	どのゆれるの	d:170.	ь. — 🙉	の家民の	(える、現柱・食木) 丸がずれるのがあ ほいひまいを覚える
v	保算、現に割れ目が入り、基 使吹・石声などが映初する程			る. 教祭	な地質で		一般家園に経路な たりくずれたりする
vi	刊賞 家屋の倒壊は30%以下 を生し、多くの人・ぎ立って 首。		ゆ行はむずか	L (, 1	15/20	上助什么	rt».
vu	根質、家屋の倒壊が30%以上 時間などを生じる。	に及び、心くずれ、地間れ、					

VII 400 VI 250 -	XII XI X 432 IX	XI XII 800	0.7 g 0.6 g 0.5 g 0.4 g 0.3 g		100
_ eo	VIII 94 VII	∆1 ~100 · ∆∏	0-1 '6-	100	10
25	44 ∇[ 21	50 ∇[ 25 -		- 50 - 40 - 30 - 20	
III	∇   10	∇ 12 IV	- 001 g	10 \	1
и	17 5 ···· ∥Ĭ	- 5 ··		5 4 3	
I I	2.i-	—2.1 — П		2	
-06 - 0	1	- 0.8 I	0 0019	—   (gal)	o. 1 (kine)
	改正/4.71) 发展到提		着//A碰及 □ 415 四 含	加進度	速度

あゆき 4月25 48千円年 1 花红 日 田東 日 深危

図14 (原図3.1.1)、各種需度階の対応、

図15 (原図3.1.3) 大地震の余震域と震度でおよび刃の地域。

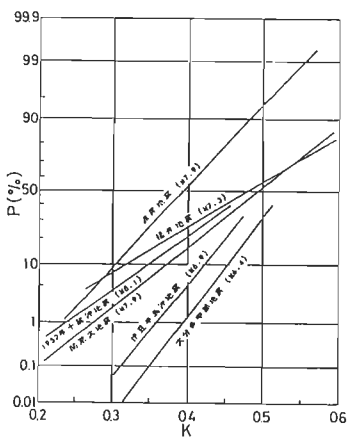


図16(原図3.1.5). 幾つかの比索に まける末進建物全陸率Pと震戻Kの 関係. (濃尾比震M7.9, 福井比震 M 7.3 、1952年十勝沖地震M 8.1, 関東大比震M 7.9 , 伊豆半島沖北震 M 6.9, 大分県中部世電 M 6.4)

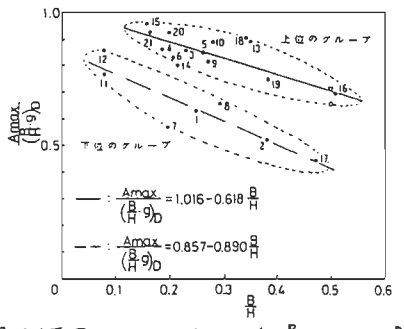
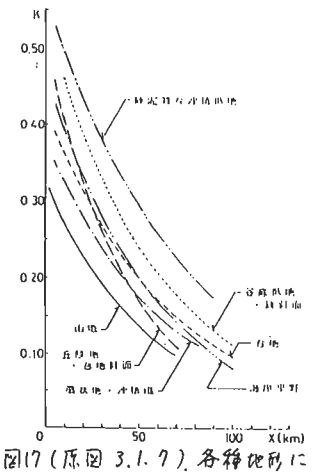


図18.(原図3.1.10), Amax/(B.g)Dと別の関係。



おけるK-X関係

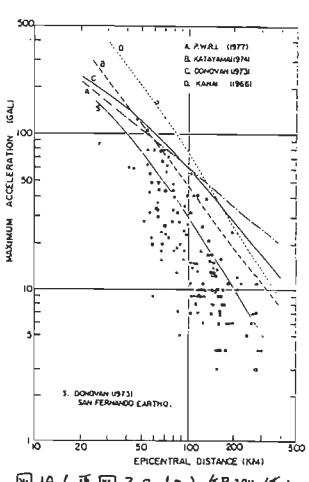


图19(原图3.2.10). 観測值と 実験式(M=7.0)の比較

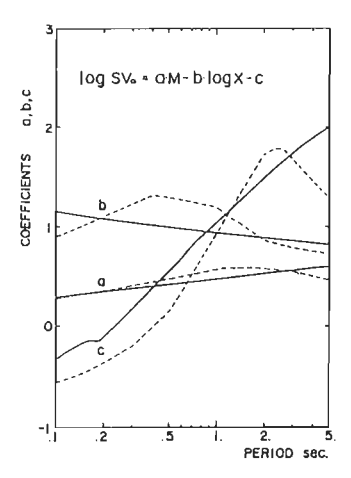


图20 (原图3.2.21). 係数 a, b, c の周期に 村本3 戛動

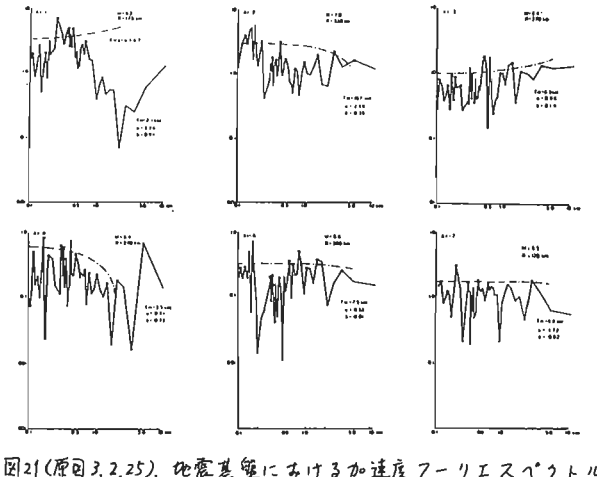


図21(原図3.2.25). 地震基盤における加速度フーリエスペットル

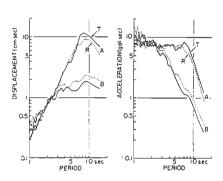


図22(原図3.2.27)、Aプループ(AZ(OOkm)と Bグループ(A≤60km)の地震記録の平均加 倭位.) 達度フーリエスペクトル.

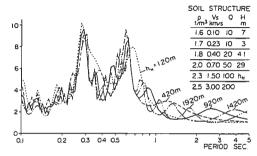


图25 (原图 3.3,10), 批准 福造の最下層の層厚に よる SH後の博幅率の 变化.



10. 20. 50 PERIOD sec.

図23(原図3.3.2)、スケールモデル による基盤でのフーリエ加速度 基づく経験式から得られた スペクトル

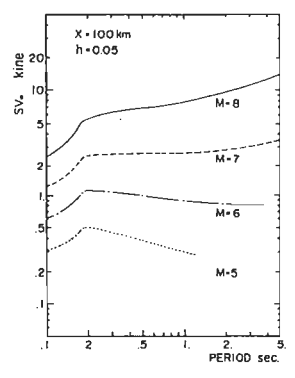


图24(原图3.3.3) 強震記録に 基盤での速度応答スペクトル、

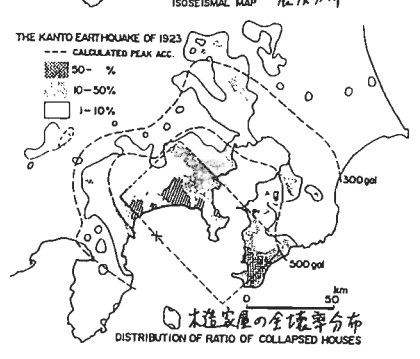


図26 (原因3.3.17)、1923年関東北震の震度分布・被 官分布と計算すれた最大加速度分布 とり 比較. 東京大学 理学部

#### 地盤特性と地震動

萩尾 堅治

はじめに

地盤震動シンポジウム過去10年の歩みから地盤震動研究の変遷を省みると、研究の対象とする地震動の問題が多様化してきたこと、また、これにともなってとりあつかう空間的領域が拡大してきたことに驚かされてしまう。例えば、実体波のS H 波を中心とした議論からS V 波の影響や表面波を考慮した議論へ、ごく表層の地盤等性から深い地盤構造を対象とした問題へ、点展源から断層モデルへ、成層地盤から不整形地盤へ、さらに現象の捉え方も一点観測から群列(アレー)観測へと、地盤震動研究におけるこのような傾向は枚挙にいとまがない。

これら研究の多様化と拡大により、震源から構造物の応答に至るまで一通りの議論ができるようになってきた。 もちろん、すべての現象が等しく解明されたわけではなく、解析的な説明がつかないまま経験的な統計式に頼っ ている部分や、逆に、解析手法が先行している段階にあり未だ実証の機会を得るに至らない部分もあるが、適当 な仮定条件の設定と部分的な議論の粗さを許せば、一通りの筋道はできているといえよう。

地震動と地盤の問題は、地震動を構造物への入力地震動として捉えその性質を明らかにしようとしてきた工学分野と、発展機構や波動の伝播現象など地震現象そのものの解明に力を注いできた地震学分野の学際的領域に位置づけられるものであり、共通の研究対象である。 前述の研究の多様化と拡大も、当シンポジウムなどの場を通して両分野が互に刺激しあって研究を進めてきた結果であろう。この小文では、地盤特性と地震動の関係について、シンポジウム10周年記念出版「地震動と地盤」の内容を紹介しつつ、主として現象面からこれを捉えてきた研究の経過と現在の動向について考えてみる。

#### §1. 地震波伝播現象における地盤特性と地震動のかかわりあい

まず、地盤特性と地震動とのかかわりあいが地震現象の中でどのように位置づけられるかを明らかにしておこう。 Fig 1. は、地震波の伝播経路の模式図である。既に明らかにされているように、地震現象は地球内部に蓄えられたひずみェネルギーが断層運動という一種の破壊運動によって解放され、波動エネルギーとして地殻を四方八方へ伝わり地盤、構造物を振動させる現象である。このような伝播過程を経た地震動の最終的な性質は、地盤や構造物などの地震被害の様子や、地震観測の記録から捉えられるが、この影響因子としては、震源における断層運動に帰因する震源特性、地殻中の伝播経路の特性、地表の観測点近傍の地形や、地盤の性質などが考えられる。金井はかば、地表での地震動の性質について、基盤層における地震特性と基盤層の上にある軟弱な層によ

る地震動の伝達特性とに分け それぞれ独立な量として推定 することを検討して。この場合,地表での地震動は,基盤 での地震動と表層によると考 え,基盤震動は地表層近傍の 局地的な地盤構造による変形 を受けていないものと定義された。

以来、このような基盤の概

構造物 (現象·脳連市項) 地震応答,被害 ・構造物の振動特性 ·相互作用 地 表 **入力** ·地盤特性 势而波 重被反射 逸般 表層地盤 波動の発散 盤地盤動 基盤面 伝播経路 距離波亞 断層面 断層運動 虫体油 ・断層パラメータ 地般 震 诼

Fig 1. 地區波伝播の概念

盤地震動と地表での地震動に分けて考えられ、両者を関係づけるものが地盤特性としてとらえられるようになってきた。「地震動と地盤」でも、領域区分はほぼこの考え方に従い、第2章地震および地震動では震源と波動伝播に関する問題を、第3章強震地動では地表における強震動の問題を、そして第4章地盤特性と地盤屢動では基盤設定および基盤地震動と地盤特性の問題について述べている。

#### § 2. 地震被害分布と地盤

地表における強震動の性質が地形や地盤の硬軟によって異なることは、関東大地震や福井地震の被害分布の研究から明らかにされてきた。 Fig. 2は、 関東大地震における木造建物の被害率と沖積層の厚さとの関係を示し

たものである。地震被害は、そこに到達した地震動の性質と被害を受けた構造物の振動特性、耐力等の関係による最終的な結果であり、構造物にたいする地震動の強さを示すものである。また、震度も地震動の強さを表わす一つの尺度であるから、被害率から推定される地震動の強さを度度で表わし、震度の分布から地震動強さと地盤の関係を浮び上がらせることができる。官野ほかは、この考え方に基づき地震被害と地盤との関係を調べた。

まず、微尾地盤(1891)、関東大地震(1923)、福井地震(1948)、十勝沖地 鼷(1952)、伊豆半島沖地盤(1974)、 大分県中部地震(1975)の資料を基 にして、墓石転倒調査の行われている地域について、推定される腱度 K と木造建 物の全壊率 P の関係を調べた。その結果、マグニチュードの小さな伊豆半島沖地 震、大分県中部地震を除く福井地震程度(M=7.3)以上の地震については、ほ は同様の P - K 関係が成立することを確認した。

次いで、関東大地震について、 墓石転倒調査の行われていない地域についても 前述のP-K関係を適用して被害率Pから推定튏度Kの広い範囲にわたる分布を 求めた。さらに、被災地の地形を次の7種に分類し、



5) 海岸平地

2) 扇状地, 沖積錐

6) 谷底低地, 緩斜面

3) 台地

7) 砂泥質な沖積低地

4) 丘陸地, 台地斜面

被災地点と断層面との最短距離を震源距離Xとして、地形ごとにK-X関係を次式で整理し、Fig. 3の結果を得た。

各地形間のK-X関係の差は、そのまま各地形における地盤の平均的な増幅率を示したものとみることができる。例えば、山地地形が地震基盤に近いK-X関係を示すものとみなせば、最も設度の大きな曲線を示す砂泥質な沖積低地の地震動強さは、表層地盤によって、 2 倍以上に増幅されていることになる。

 ${
m Fig.}$  4 は, 同様な分析手法を福井地霞に適用して求めた霞度分布である。この場合,地盤分類は  ${
m N}$  値  ${
m 3}$   ${
m 0}$  を下廻る表層の厚さ  ${
m H}$  にじて次のように定めている。

- 1) H < 5 m
- 1 5 m≤H<10 m(ただし泥炭層ではH-3~4 m)</p>
- M ) 10 m  $\leq$  H < 30 m (同上  $H = 5 \sim 10$  m)

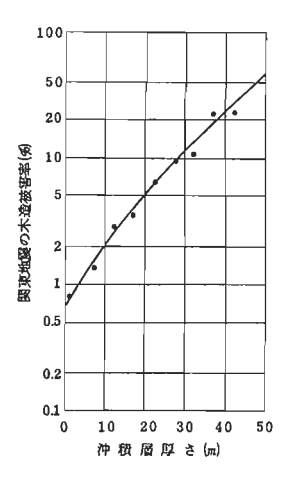


Fig. 2 関東大地震の木造被害率

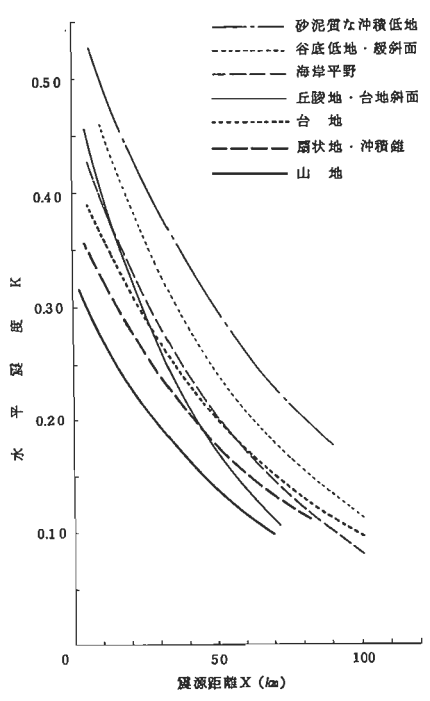


Fig. 3. 関東大地段の段度分布

#### V) H≥30m

#### K-Xの関係は、両対数グラフ上の2直線

 $K=a_i \cdot X^{b_i}$  ( $a_i$ ,  $b_i$ は地形 Cとに定まる定数, i=1, 2) で表わしている。結果を見ると、 健源近傍の一定範囲の 段度は、表層の厚さにかかわらず  $0.6\sim0.7$  で頭打ちとなり、その境界となる 段源距離は、地盤 I で 2.5 Km, 地盤 I で 4 Km, 地盤 I . N では 5 Kmと地盤が悪くなる程遠方におよんでいる。また、境界距離以遠での各地盤別の K 値は表層が厚い程大きく増幅率の大きいことを示している。

さて、以上の研究における地震動の強さは、水平霹靂すな

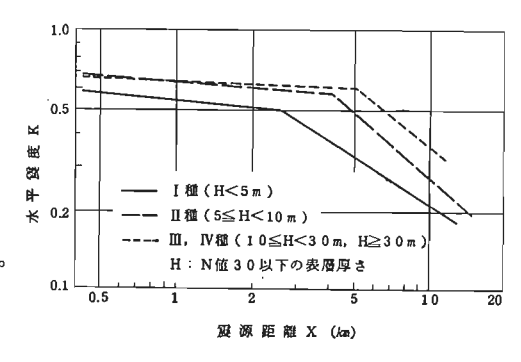


Fig. 4 福井地震の段度分布

わち、加速度の大きさで表わされている。しかし、との震度は墓石の転倒や、建物の被害率に基づき間接的に求められたもので、そこには加速度の大きさばかりではなく、周期特性、継続時間等の他の要因も反映されていると考えられる。地震動の強さを加速度の大きさだけの単一の尺度で表わすことに難かしさのあることが認識されている現在、地震動特性のいくつかの要因を反映しているこのような震度は、地震動の強さを総合的に表わす優れた尺度として、評価を新たにする必要があろう。

#### §3. 強震観測記録と地盤種別

強製計による地震動観測は、米国では1934年より、日本では1953年から開始された。その後、新潟地震、十勝沖地震、宮城県沖地震などの大地震を経て多数の貴重な強震記録が得られるにおよび、地盤の性質によって強震地動の周期特性に差異のあることが分析されてきた。Fig.5に太田ほかの研究による地盤種別ごとに平均化した強震地動の加速度応答スペクトルを示す。地盤種別は、建築基準法旧法の関連規定に準じた次の4種としている。

第1種:岩盤,砂質砂礫層等の主として第3紀以前の地層が地表 近くに露出しているもの

第2種:ローム、砂礫層、砂まじり硬質粘土層等の主として供積 地盤

第3種:砂層、シルト層、粘土層等の2,4種以外の地盤

第4種: 沖積層の厚さがおよそ25 m以上ある極めて軟弱な地盤スペクトルの特性は、硬質地盤では相対的に短周期成分が、軟弱地盤では長周期成分が優勢であることを示している。Fig.6は、土 $\frac{7}{1}$ 9 $\frac{9}{1}$ 0 $\frac{10}{1}$ 9 $\frac{1$ 

いずれの研究結果も共通して前述のスペクトル特にの傾向を示しているが、地盤種別ごとに

個々の研究結

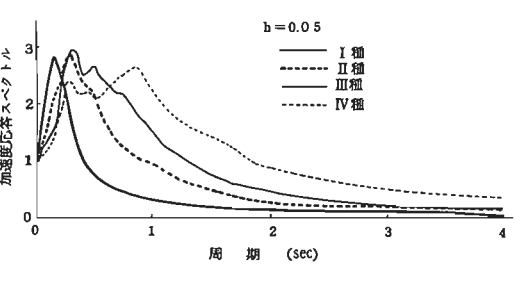


Fig. 5 平均加速度応答スペクトル (h=0.05)

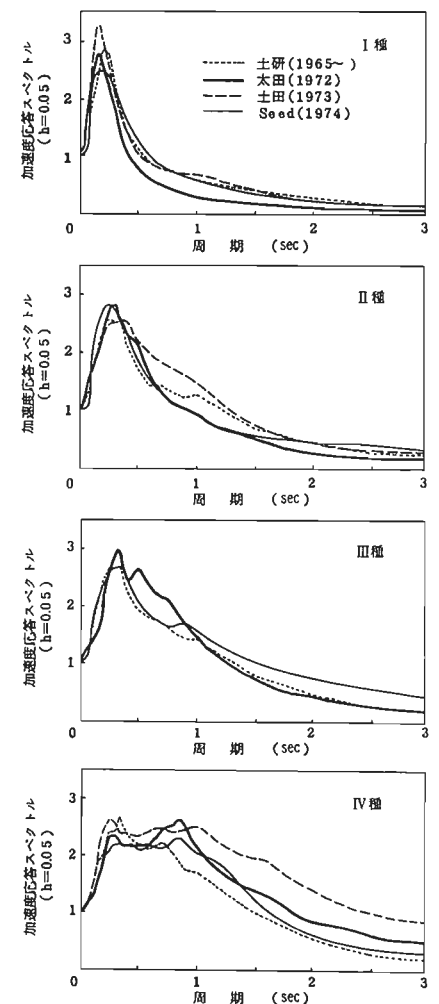


Fig.6 加速度応答スペクトルの比較 (h=0.05)

果を比較すると互にかなりのバラツキをもっていることが分る。太田はこの研究の中で、第1種地盤に限ってみてもマグニチュードと 護源距離によってスペクトル特性に差のあることや、平均化におけ る標準偏差の大きさも指摘しており、地盤種別だけをパラメータと して、標準スペクトルを考える場合には、かなりの偏差を覚悟しな ければならないといえよう。

なお、現行の建築基準法では、これらの研究結果を反映し、Fig. 7のような振動特性係数(Rt)の形で応答スペクトルに地盤種別に応じた幅をもたせるようにしている。この場合の地盤分類は従来の4種から3種の大まかな分類に切替えている。

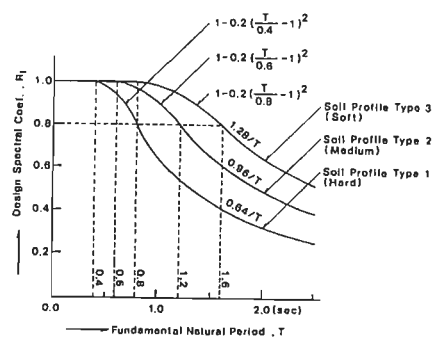


Fig. 7 振動特性係数(Rt)

第1種:岩盤、硬質礫層、その他主として第3紀以前の地層によって構成されているもの。

第2種:第1種又は第3種に規定されている以外のもの

第3種:腐食土、泥土その他これらに類するもので構成されている沖積層(盛土がある場合においてはこれを含む)で、その深さがおおむね30m以上のもの、沼沢、泥海等を埋め立てた地盤の深さがおおむね30m以上であり、かつ、これらで埋立てられてからおおむね30m以上経過していないもの。

#### 84. 強震地動における基盤地震動特性と表層地盤の増幅特性の分離

小林、長橋は、地表で観測された地震動の周期特性から、その観測点固有の定常的性質と地段毎に異なる非定常的性質を分離することができれば、前者から地盤の増幅特性を、また、後者から地段基盤における地震動の性質を知ることができるとし、この分離を試みた。スペクトルとしては、水平2成分による2次元応答スペクトル(速度応答スペクトル、h = 0.05)を考え、基本的な仮定として次の条件を設けている。

1) 地表で観測された地段動の速度応答スペクトルは  $S_V(T) = S_{VO}(T) \cdot G(T)$ で表わすことができる。ここに、  $S_{VO}(T)$  は地段基盤からの入射波の速度応答スペクトル、 G(T) は地盤の増幅特性である。

2) Svo(T) の第1 近似は、金井式を参考にしてスペクトルが周期によらず一定のものとして求めるが、最終的には log  $Svo(T) = a(T) \cdot M - b(T) \cdot log$  X-C(T) なる関係で表わされる。ここに M は地震の規模、 X は 度源 距離である。

手法の詳細は省略するが、結局、物理的な地ք基盤を定めることなく、地表で観測された地震動の周期特性のみから Fig. 10 に示す各地点の増幅特性を求めている。また、 Fig. 9 は、増幅特性を求める時に対として得られる基盤からの入射波の応答スペクトルの回帰式の定数である。



MAP OF SMAC OBSERVATORIES

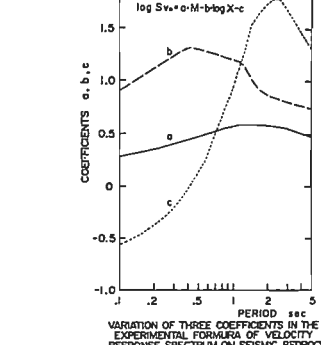
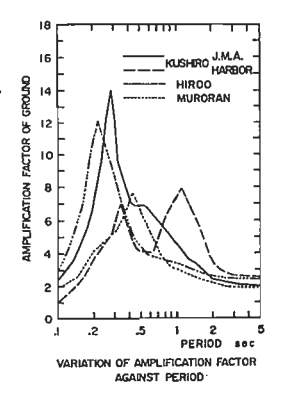


Fig. 9 基盤地震動の速度 応答スペクトル回帰式の定数





AGMORI
HAGHINOHE
HITAKO
HITAKO
TOKANIURA
HOSOSHIMA

B 12

D 10

B 2

D 10

B 3

PERIOD sec
VARIATION OF AMPLIFICATION FACTOR
AGAINST PERIOD

Fig. 10 地盤の増幅率

#### § 5. 地中地震観測と表層地盤の伝達特性

構造物への入力地震動の特性においては、表層地盤の増幅特性が支配的であり、地震時における地盤特性の解明が地震動そのものの理解に不可欠である。この認識から、地盤と構造物の同時観測を含む地中地震観測は近年めざましい発展をとげてきた。その結果、微小歪レベルに限れば、実測および、これを裏づけとする線形理論解析によって表層地盤の増幅特性は、かなり明確に把握できるようになってきた。

Fig. 11は、表層の硬さの異なる2地点における最大加速度の深さ方向の分布を比較したもので、軟らかい表層における急激な加速度の増幅が分る。Fig. 12は、軟弱地盤の伝達関数の実測結果と解析モデルによるシミュレーション結果を比較したものである。このように実測結果との比較により、解析モデルの妥当性を検証し地盤のモデル化に必要な物性値を求める研究は数多く行われているが、必ずしも容易ではない。これは、地盤の剛性、減衰等の動的性状が歪レベルに依存し、その評価が難かしいことによる。

剛性については、地盤資料の室内実験結果や弾性液探査などで得られるS波速度、あるいは、地層、地質分類、N値、深さなどをパラメータとする回帰式より得られるS波速度から計算されるが、必ずしも実測結果の周期特性に一致せず修正を余儀なくされるケースが多い。減衰については、減衰定数が振動数に比例するVoigt型、逆比例するMaxwell型、振動数に無関係に一定値をとる履歴型の他、これらを組み合せたものや振動モード毎に個々の減衰定数を与えるモード別減衰定数などが用いられている。1層地盤波動モデルの伝達関数の減衰別比較をFig.13に示す。各々の減衰定数は1次固有振動数1Hzにたいする値を共通(hi=0.05)にしてある。Fig.13は、質点系モデルにモード別減衰を適用した解析例である。

実地盤のモデル化を通して推定された地盤の平均的な減衰値は,成層モデルに限られるがQ値で $10\sim30$ , Voigt 型とした場合 $1000/\omega\sim3000/\omega$ 程度.下層逸散を考えない質点系モデルでは,1次にたいして $3\sim20$ の高次減少型を示すものが多い。Fig.14に解析例を示す。

以上は、歪レベルの小さな中小地震に基づく表層地盤特性の研究について述べたが、大地震時の地盤は大きな歪に達すると著るしい塑性化や液状化を生じ中小地震の挙動とは異なるものと考えられている。地盤の非線形挙動については、解析モデルによる応答解析から推定された例もあるが、いずれも基本とする地盤の非線形性については、地盤資料の室内実験に一方的に頼っているのが現状である。この点から、地中における強震記録の収集およびこれらに基づく地震時の地盤の非線形挙動の実測が切望される。

#### § 6. 深い地盤構造を考えた地盤特性

地盤の増幅特性は、本来、地震基盤の設定と対にして論じられるべきものであるが、地表面で観測される地震動への関心が主として短周期領域へ向けられていた時点では、SH波の重複反射によるごく地表面近傍の増幅が支配的であり、深い地盤構造を考える必要もなく、基盤の設定もさほど厳密には

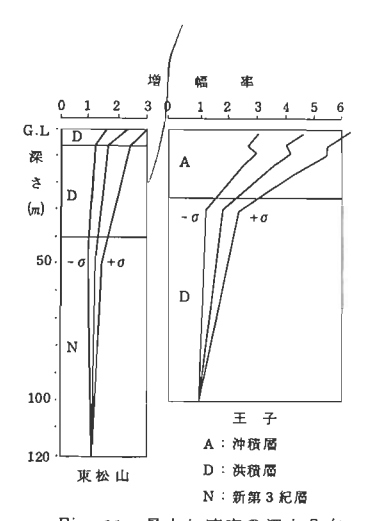


Fig.11 最大加速度の深さ分布

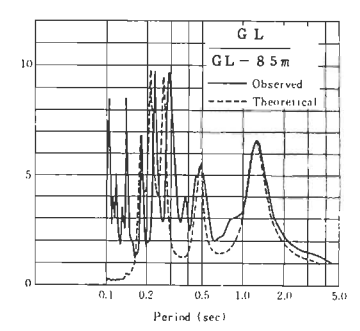


Fig.12 実地盤の伝達関数

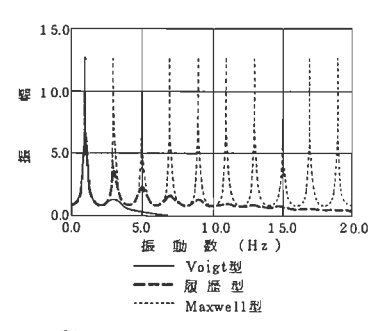


Fig.13 波動モデルの伝達関数

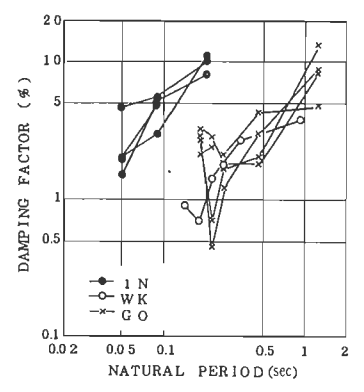


Fig.14 軟弱地盤の減衰定数

論じられなかった。しかし、長大構造物の出現や、タンクのスロッシングの問題などから、比較的長い周期領域での増幅特性が問われるにつれ、地中深部や、平面的広がりを考慮する必要性が生じてきた。とのような背景から、地段基盤の定義の見直しや、基盤層にいたる深い地盤構造や地段動の伝播経路を考える広域的な増幅特性の研究が進められつつある。基盤層の設定については、ほぼ共通した議論がなされており、入倉のまとめによれば、

- 1) 1~10秒の長周期成分の地震動指定を目的とした地震基盤は、より一般化した広い地域を対象として設定する必要があり、そのためには、古生層または花崗岩(P波速度5~6 Km/sec, S 波速度約3 Km/sec)の上面を地震基盤面と考えるべきである。
- 2) 1 秒以下の短周期成分を対象とした基盤については、多くの研究者によって、種々の観点から定義の試みがなされ、S波速度にして700m/sec 程度の地層を目安としている。

基盤岩からの深い増幅特性については、木下他の岩槻(深さ3.5 km)と下総(深さ2.5 km)の深井戸の観測例が報告されている。広域にわたる研究としては、関東平野南部を対象とした地下数キロメートルに及ぶ地盤構造の解明と伝播経路の研究(瀬尾)や、京都盆地における露頭岩盤に対する平野部の増幅特性の研究(入倉<sup>17)</sup>がある。いずれも、深い地盤構造を解明し、本来の地選基盤を明確にした上で地盤の増幅特性を考えようというものである。このような広域を対象とした地盤特性を考えるとなると、SV波や表面波に対する考慮やその識別、基盤からの入射波の角度、地表における地形の影響など、その要因は複雑化し、これらを解明してゆくためには、各研究者間の協力がますます必要とされる。また、研究規模も拡大することを考え合わせれば、今後の地盤顕動研究は、広い範囲での研究者間の一貫した方針に基づく進め方が必要となるであろう。

#### 参考文献

- 1) 妹沢克惟・金井滑:地護被によって土地の固有振動が誘起される可能性、地護研究所発報
- 2) Kanai, K: Relation Between the Nature of Surface Layer and the Amplitudes of Earthquake Motions, Bull, of the ERI. Univ. of Tokyo, Vol. 30, Partl, PP+31-37, 1952.
- 3) Takeyama, K., Hisada, T. and Ohsaki, Y., "Behavior and Design of Wooden Building's Subjected to Earthquakes", I WCEE, Tokyo, 1960.
- 4) 官野道雄: 1923年関東大地麗における麗底と顕源距離・方向性・地形の関係,土木学会論文報告集。第319号、PP43-53, 1982
- 5) 望月利男・宮野道雄・小泉敏一:福井地襲にかける顕変と電源距離・地盤の関係、第6回日本地蹑工学シンポジウム、PP1945-1952, 1982.
- 6) 太田外気隙・安藤治彦:地盤種別と地震動の平均的特性、第5回地盤躍動シンポジウム、PP.27-34.1977.
- 7) 高田考信・大久保忠良・栗林栄一:橋梁の耐韻般計に関する研究(1)。土木研究報告、No.128、PP1-22、1965、その他
- 8) 建設省建築研究所:新耐製設計法(案)、建築研究報告、№79. 1977
- 9) 十冊略・合田栄一・石坂徳三 林脇;各種地盤における平均応答スペクトル。珠琦技研技術報告,Vol.12.Na.4, PP171-199, 1972年12月
- 10) Seed, H. B., C. Ugas and J. Lysmer: "Site-dependent Spectra for Earthquake-resistant Design", Report No. EERC · 74-12, Univ. of Calif. Berkeley. PP. November 1974.
- 11) 小林啓美・長橋織男:地裂で観測された地段動の周期特性から求めた地盤の増備特性と地段基盤化おける地段動の性質。 日本塾祭学会論文報告集第240号、PP.79-92、1976年2月。
- 12) 段俊一郎・太田外気晴:岩盤における強設アレー観測、第7回日本地段工学シンポジウム、1982年 .
- 13) 河村壮一:各種地盤での地表・地中地段動特性,第5回地盤段動シンポジウム,日本現築学会,PP.45-48, 1977年.
- 14) Hagio, K.. \*The Dynamic Behaviour of a Plant Tower Considering Soil Effect in Large Strain Level, Proc. of 7 WCEE Vol. 5, PP. 253-260, 1980.
- 15) Kinoshita, S., K. Itoh. T. Mikoshiba and H. Suzuki: Observation of Earthquake Responce of Thick Sedimontary Layels." Proc of the 6th JEES'. PP.169-176, 1982.
- 16) 瀬尾和大・首都圏の異種地盤で比較限測された広周期帯域の地段動について,第7回地盤跟動シンポジウェ,日本建築学会, PP .35-40,1979年3月 .
- 17) 入倉差次邸:穀届地館による地園波の均幅特性への基盤岩地形の影響。 仰 5 回地盤設動シンポジウム。日本迎桑学会。 PP45-52。1979年 2 月 .

#### 設計用入力地震動

消水建設㈱研究所 横 田 治 彦

#### 1. はじめに

第 11 回地盤段動シンボジウムの第 I 部として「地段動と地盤 - 地盤段動シンボジウム 10 年の歩み - 」の内容の紹介と若干の私見を述べよとの命題を与えられた。「地段動と地盤」は、この10 年間にシンボジウムで取りあげたテーマを中心に、さらにその関連の研究にまで手を広げて紹介しており、非常に幅広い内容を含んでいる。特に設計用入力地段動の研究に関しては、本小委員会の最も大きな目的にも当る部分であり、数多くの研究を密度線く取り扱っている。浅学非才の小生がとりまとめるには荷が重く、四苦八苦しているところに 5 月号の『建築雑誌』に「耐段設計の動向 - 新耐段設計法をこえて」と題する特集が組まれ、その中で設計用地段入力についても多くの先生方の見解が述べられていた。この原稿をまとめるに当って大いに参考にさせていただいた。

「地震動と地盤」では第7章で設計用地震入力をとりまとめており、それに関連のある地震動観測を第5章でまとめている。これらの章が既にまとめであるために、その内容をさらに圧縮してここに紹介するのは難しく、簡単な紹介にとどめさせていただいた。是非「地震動と地盤」の本文を一続されて、設計あるいは研究の参考にしていただきたい。

#### 2. 設計用入力地震動について

「地段動と地盤~地盤段動シンポジウム 10 年の歩み~」の中で、設計用入力地段動について述べているのは、第7章の「設計用地段入力」の章である。

第7章の構成は以下のようになっている。

- 7. 設計用地段入力
  - 7.1 耐震設計と入力地震動の考え方
    - 7.1.1 設計荷重の規定にみる入力地震動の考え方
    - 7.1.2 構造物の破壊規範と設計用入力地震動
    - 7.1.3 耐段設計で想定している最大地段動
    - 7.1.4 過去の地段における最大地段動
    - 7.1.5 "平均像的"断層モデルによる最大地態励
    - 7.1.6 断層モデルによる短周期地段助の予測
    - 7.1.7 入力地震動研究と地震荷重の評価
  - 7.2 やや長周期地震動と耐震設計
    - 7.2.1 やや長周期地震動の工学的意義
    - 7.2.2 地震記録に見られるやや長周期地震動
    - 7.2.3 地下構造とやや長周期地震動
    - 7.2.4 断層モデルによる検討
  - 7.3 短周期地段動と耐段設計
    - 7.3.1 地盤種別と地段動
    - 7.3.2 短周期地動の強さの評価
    - 7.3.3 耐震設計用模擬地段動
    - 7.3.4 断層モデルによる予測地震動と設計への適用

- 7.4 建築物の耐段性能と入力地段動
  - 7.4.1 応答計算に用いられている復元力特性
  - 7.4.2 非線形応答を考慮した設計用スペクトル
  - 7.4.3 入力地震動が非線形応答スペクトルに及ぼす影響
  - 7.4.4 震害解析における耐震性評価と入力地震動
- 7.5 入力地震動研究の動向
  - 7.5.1 入力地震動を考えるうえでの要点
  - 7.5.2 研究の動向

7.1 では、耐震設計と入力地震動の考え方について全般的な記述がなされており、設計荷重としての入力地設動の考え方、構造物の破壊規範から見た設計用入力地震動、耐震設計で想定している最大地震動と過去の地震において実際に記録された最大地震動、断層モデルによって推定される地震動などについて概要を紹介している。

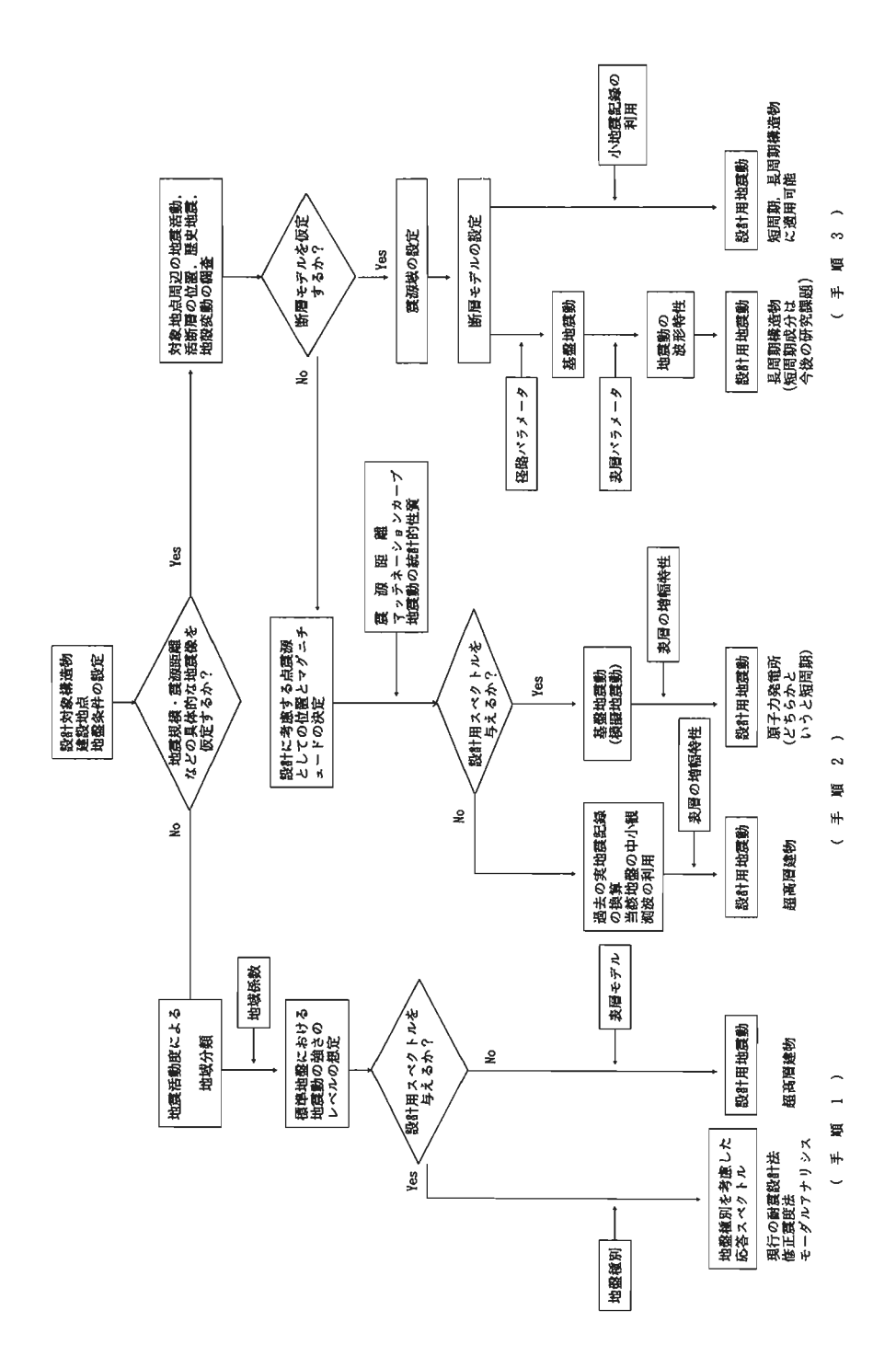
7.1.1では,入力地震動を構造物へ作用する地震荷重という形でとらえた耐震設計の歴史を述べている。関東地震後の1924年に改訂された市街地建築物法に初めて取り入れられた,「霞既法」による耐震規定が1950年には建築基準法にとってかわり,その後の改訂を経た後1981年の建築基準法施行令の大幅な改訂に至った経緯が紹介されている。また,その中で設計蹊度の考え方や設計で想定している地動の大きさについても言及している。

さらに「高層建築技術指針」の策定と高層建物の動的解析に用いる設計用入力地震動の考え方および問題点についても触れている。

構造物の耐震設計の立場から見た設計用地震入力は、はじめは建物に水平に作用する地震外力として経験的にとらえられた。その後、建物の振動特性、表層地盤の増幅特性、地震の最大振幅、地震波の周波数特性、地震活動度、深い地下構造、断層のメカニズムなどについての研究が進むにつれて合理的な設計法が研究され、設計用地震入力のとらえ方が非常に複雑かつ多様なものとなっている。設計用地震入力を考える手順が複雑かつ多様化しているのは、多種多様な形態を有した構造物について、最も合理的かつ経済的な地震入力を想定することにより、構造物の耐震性のばらつきを少なくするため、震源から建物の基礎までの諸バラメータを多く採用するためである。

山原によれば、「設計とはそれぞれの時代の社会的合意のバランスのうえに成立つものであり、決して完全なものを追求する行為ではない」としながらも、「設計者はそれぞれの時代の研究に無関心ではあり得ない。社会は絶えずより完全なもの、より経済的なものを求める。それに応えるため、設計者は既往の研究成果をできるだけ吸収し、設計に応用することにより、社会→設計→研究のルーブが継続される。」としている。実用化の途中にある設計用入力地震動の評価手順をも含めて、現在行われている手法をまとめると、おおよそ図~1に示すようなフローチャートが考えられる。以下このフローチャートに沿って、設計用入力地震動の問題点について考えてみよう。

まず、構造物を設計する対象となる建設地点とその地盤条件が設定されている。ここからスタートするわけであるが、まず最初に地段規模(マグニチュード)、段源距離などの具体的な地段像を仮定するか、それとも特定の地段を仮定せずに、地段活動度などを参考とした地域分類によって地段動の大きさを決めて行くかによって、その後の手順が大きく変わってくる。具体的な地段像を想定しない方法を(1)としよう。具体的な地段像を想定する場合(例えば関東大地程とか想定東海地段など)には、対象地点周辺の地段活動、活断層の位置、歴史地段、地殻変動の調査などを行う。ここで、断層モデルを仮定しないで、マグニチュードと段源距離を仮定する方法を(2)とし、断層モデルを仮定する方法を(3)としよう。田治見によれば、設計用入力地段動の組立てにおおよそ以上の3手順が考えられるとしている。図~1は、田治見によって示された各手順の相違点がどこにあるのかを明らかにする目的で、策者が描き直したものである。方法(1)、(2)、(3)の手順をさらに分析すると、設計用入力地段動を応答スペクトルで与えるのか、時刻歴の波形として与えるのかによってさらに手順が異なってくる。



図一 1 設計用入力地震助の設定手順

入力地震動に関する研究は、図-1の各ステップに相当する項目を解明するべく行われており、現状では研究の進んでいる問題と今後の研究課題とが混在している。 7.1.2 から 7.1.7 の各節では、それぞれの手順および項目についてその現状と問題点について述べている。

手順(1)は、地域係数による地域分類により、標準地盤の地震動強さを想定し、地盤種別、建物の振動特性などを考慮して設計用応答スペクトルを与えるもので、現行の耐震設計法に相当している。修正誤度法、モーダルアナリシスなどによっても耐震設計が可能となる。したがって、入力地震動としての、加速度または速度振幅の最大値は単なる参考値と考えられている。しかし、新耐震設計法では、地域係数 1.0 の地域では地動の最大加速度を 300~400 Gal と想定している。手順(1)のうちで、設計用入力地震動を時刻歴波形で与える方法は、高層建築物の設計などで実際に行われている方法で、土木構造物の耐震設計などにも一般的に用いられている。この場合の地動の最大振幅の決定には、各種の実験式などが使われるが、既住の設計例などからある種の世間相場があることも否定できない。

高層建物の設計では、手順(2)に従って過去の強災記録や当該観測地点の地中地震観測記録を比例拡大して用いる方法もある。いずれの場合にも、表層地盤の増幅特性などを適正に評価する必要がある。手順(2)で設計用スペクトルを与えて模擬地震動を作成する方法は、原子力発電所の耐震設計において用いられている手法で、設計用入力地震動として時刻騰波形を得る。

手順(3)は、断層モデルを設定する方法で、地震学的な知識を必要とする。地震の発生を予想して震源位置、断層の走向、傾斜、長さ、深さ、移動量、破壞伝播速度などを仮定することは、現在のところは地震学の分野の仕事であり、設計者が判断するには荷が重すぎる。しかしながら、断層モデルを用いた設計用地緩入力の研究は、近年工学サイドからも積極的に研究が進められており、近い将来には実用的な手法として設計にも応用されると考えられている。震源の断層から設計対象の構造物の基礎までの発震機構、伝播機構、表層の増幅機構などの諸要素を十分に考慮して、設計用地震入力を設定することは、最も合理的な方法といえる。設計用入力地震動を設定する手順の各ステップに採用されている経験式、実験式、解析モデルは、それぞれにばらつきがあり、互いに組み合わせることによって、さらに大きなばらつきが生ずることも考えられる。したがって、ある手順で求めた設計用入力地震を実際に発生した大地震の観測結果と比較してその妥当性を確認したり、他の手順で求めた設計用入力地震と比較検討するなどの作業が必要であろう。現在の段階では、設計者は未知の領域の多々あることを通知しながら最終的な工学的判断を下さざるを得ない。

7.2 と 7.3 はそれぞれ 「やや長周期地震動と耐震設計」、「短周期地震動と耐器設計」というテーマになっている。 やや長周期地震動は約1秒から10数秒程度までの基本固有周期を持っている構造物の耐震設計に関係するもので、短周期地震動は基本周期1秒以下の構造物に関係する。 やや長周期地震動を考える場合には、 表層地盤の増幅特性より、 深い地下構造の影響が大きく、 また、 実体波だけではなく 表面波成分を考慮する必要がある。 やや長周期成分の地震動を評価するために、 過去に記録された強震記録中に見られるやや長周期成分の強さを見直す研究がいくつか紹介されている。 7.2 では、 さらに地下構造とやや長周期地震動の関係、 断層モデルを用いたシミュレーション解析によってやや長周期成分を評価することがある程度可能であり、 今後の研究によって工学的目的にも利用できる可能性があることを述べている。

短周期地設動は、深い地下構造よりもむしろ表層の増幅特性の影響を大きく受けると考えられており、地形の影響なども大きいことから確定論的なアプローチが困難である。大地震の記録だけではなく、中小地震の記録も「やや長周期領域」に比較して多いために統計的なアプローチをする場合が多い。現行の耐震設計法における地盤値別ごとの振動特性係数(Rt)も統計的な処理によって得られた平均応答スペクトルの特性を工学的判断のもとに再整理した結果である。このほかにも土木構造物を対象とした応答スペクトル、原子力発電所、道路橋を対象にした応答スペクトルなども提案されている。

設計用の応答スペクトルから模擬地震動と呼ばれる時刻歴波形を作成する方法が原子力構造物の設計などで採

用されている。7.3.3では 模擬地段動の作成方法についても述べている。

断層モデルを用いて、設計用入力地震動の設定は、長周期成分のシミュレーションだけでなく短周期成分のシミュレーションを可能とするように研究が進められている。短周期地震動特性を断層モデルから説明しようとする試みは、既にいくつか提案されており、7.3.4に紹介されている。

最近は、前腰・余霞などの中小地腱記録を用いて、本腱の地盤波形を予測する方法が入倉・村松によって提案されており、工学的に利用できる手法として期待されている。

7.4 では、建築物の耐段性能と入力地段動について述べられている。建築物の弾塑性的性質を考慮した地段応答からみた、設計用入力地段動の評価について幅広く紹介されている。 7.4 については、本文以上に平易に内容を紹介することは、小生の能力を越えるので本文を参照されたい。

7.5 では、入力地段動研究の動向として、入力地段動を考えていく上でのポイントとして (1)地段動バラメータ (2)段央域での地段動 (3)入力地段動バラメータ (4)上部表層による増幅 (5)入力地段動における地盤 - 構造物の動的相互作用 の5項目にわたって、さらに詳細に解説している。これらのポイントは、図-1における設計用入力地段動設定の手順の重要な要素でもあり、それ自体が入力地段動研究の大きなテーマとなっている。より合理的な設計用入力地段動を設定するために、上記の研究がさらに前進し、社会→設計→研究のループがより充実することを期待したい。

#### 3. 地震動観測について

設計用入力地震動を考える上で、断層から建物基礎までのメカニズムを研究するためにも、地震動に関する統計的処理を行うにしても、観測記録を直接入力地震動として採用するにしても、地震観測は非常に重要な意味を持っている。第5章の地震観測では、設計用入力地震動研究に密接な関係がある諸事項について、詳細な紹介が行われている。その内容を紹介すると、

#### 5. 地震動観測

- 5.1 地震動観測一般
  - 5.1.1 地段観測の変遷
  - 5. 1. 2 強酸観測
  - 5. 1. 3 地中地段観測
- 5.2 従来の地震動観測システムとその記録
  - 5.2.1 地段動観測の概要
  - 5.2.2 強段計による観測
  - 5.2.3 強度計以外による地段動観測
  - 5.2.4 地震動データの処理
- 5.3 地段動観測の新しい試み
  - 5.3.1 新しい地震観測システム
  - 5.3.2 群列( Array ) 方式による地段観測
  - 5.3.3 高密度強震観測 ·

となる。工学的な目的から実施されている地震観測は、設計用入力地設動の考え方が多様化したのに伴って、目的が多様化し、それぞれの目的に沿って、観測システムも変化している。観測システムは、周期帯の拡大、分解能の向上、ダイナミックレンジの拡大、絶対時刻の記録、地震波初動からの記録などの改良が加えられており、観測点の配置も点から面へと拡大している。多チャンネルの同時記録が常識となり、また広い地域の群列(Array)方式による観測も各地で行われている。これらの観測は徐々に成果をあげており、地段動の伝播のメカニズムも明らかになりつつある。しかしながら設計用の入力地段動研究にとって重要な大規模地器の強援記録は、

なかなか得られない。強躁観測網の整備が進むにつれて、費重なデータも飛躍的に増えると考えられるので、今 後の成果に期待したい。

#### 4. まとめ

設計用入力地段動の考え方、設定方法は、近年の研究によってだいたい出揃ったと考えられる。しかしながら、理学の分野ではログスケールで済む研究が、工学ではリニアスケールで話をしなければならず、理学では許されるばらつきが工学では許されない場合が多い。

今後の研究によって、そのばらつきが少しでも減少するように、データの集収、解析を進め、より合理的な設計 用人力地震動を考えることが必要と思われる。

#### 参考文献

- 1) 山原 浩: 「設計面から見た地盤援動研究の動向と今後の展望について ) 日本建築学会第6回地盤 段動シンポジウム資料集 pp 51-56, 1978
- 2) 田治見 宏:「設計用地優力の諸問題」日本建築学会, 建築雑誌, pp 36 41, 1983.5
- 3) 入倉孝次郎:「地震動予測」日本建築学会第 10 回地盤震動シンポジウム, pp 15-24, 1982

# サイスミック ソーネィション

北海道大学 工学部 鏡味 洋史

#### § 1. はじめに

地電 製動シンボジャム | 0周年記念出版物「地震動と地霊」の第6章として, サイスミックゾーネィションという貴が設けられており, 次の3ヵの節から成っている。

- 6. 1、地震危険度評価
- 6、2、マイクロゾーネィションの意義とその実例
- 6、3、地震防災とマイクロゾーネィション

サイスミックゾーネィションという言葉は比較化新しい言葉であり、これに該当する適いな日本語の術語がまだなく、そのまま用いられているのが現状である。小論ではまず、サイスミックゾーネィションの持っ意味、関連して用いられているテクニカルタームについて若干の整理を試みる。 如いで各節に述べられている内容を概能しておく。最後にマイクロゾーネィションの定例として、本章では特にとり上げるかった、秋田市およびその間近について既往の研究を紹介しておく。今回の1983年日本海中部地震に関する調査・研究に何らかの参考となれば等いである。

### §2. サイスミックゾーネィションの意味

サイスミックゾーネィションはサイスミックマウロゾーネィション(Seismic macrogonation)とサイスミックマイクロゾーネィション(Seismic microgonation)との総称であるが、場合によってはどちらかー方のみを指す場合もしばしば見られる。ゾーネィション(gonation)はもともと地域分けをする(gone)の名詞であり、ゾーニング(goning)と同じ意味と理解される。サイスミックゾーネィションの場合には地震に関する地域区分ということになる。マクロとマイクロは対になる言葉であり、対象とする地域の大小とともに、地域区分をする際の視点の大小を表れず。通常サイスミックマウロゾーネィションは広いあるまとま、た地域、例えば各国ごと、を対象として、将来予測される地震

「教養とする地域区分することを意味している。過去の地震発生状況にもとずく発症的評価、あるいは将来の地震の起り方に対する地震学の場近の知見をとり入れた評価によって地域区分がなされる。これらの地域区分は、構造物の設計震度に関する基準作成のための基本的意料とな、ている。

一方サイスミックマイクロゾーネイションはもっかし狭い限られた地域、例えば都市あるいはそれらの集合体である都市圏を対象にしている。そしてそこでの地震を受ける危険度(マクロゾーネィションによる評価)が同一であるとしても、地域内でそれぞれ異なるであろう地域制候さ、各種被害のうけやすさの程度、あるいは想定される被害、等々の分布を詳細に事前に評価していくことがサイスミックマイクロゾーネイションであり、地図上に表現される。この場合、被害は構造物のみでなく、地盤をのものの被電(斜面崩壊、液形になど)、さらにしっの被害から次の被害へと拡大・伝播していく2次・3 次被害なども当然含んでいる。またこれらのことからを構造物単体の問題としてでなく、それらの集合体として捉え、地域全体として議論していく点も、サイスミックマイクロゾーネィションの大きな特色のしつである。

以上、マクロ・マイクロという対比で整理してみたが、一方これるをまとめて地震危険度評価ということもできる。この危険度に対応する英語として、hagard と visk があり、これらの款語として一般に用いられている。 hagard と visk は一般の辞書を引く限り、余り大きな差はなさそうである。しかし地震工学および関連分野ではこれを区別して用いるようになってきている。hagard は地震の発生に関わる危険度(マクログ

ーネイション)を意味し、risk は実際の構造物などの被災危険度を表わしている。最近(1979年)国連の下部機構のUNDROでは自然災害一般に適用させ術語の定義を次に示すように行っている。

HAZARD Probability of occurrence of a potentially damaging phenomenon VULNERABILITY Probability of loss to a given element at risk,

expressed on a scale from O (no damage) to 1 (total loss)

RISK Expected degree of loss due to a particular phenomenon すなわち、ハガード(hazard)は、自然現象そのものの発生危険度を表わし、それに構造物などの弱さの特性、バルナラビリティ(vulnerability)をかけ合せることによって、被電発生の危険度、リスク(risk)が表現される。バルナラビリティは弱さを表わす指標であり、対象とするものごとに自然災害の強さに対する損傷率で表わされ、それをバルナラビリティ関数(vulnerability function)と呼んでいる。地震の場合、横軸に地震動強さ、縦軸に損傷率・被害率といった形で表現される。物師の感度と全壊率の間係などはその例である。バルナラビリティ関数は、各種種類ごと、各被害種別ごとに求められる。一方、地盤の問題については、被電発生の危険度の表現にサセプテビリティ(susceptibility)という言葉が用いられ、例えば「liquefaction susceptibility, landslide susceptibility」をもぞれ、液状化の山地崩壊の発生危険度を示す。

Hazard, Riskは現在適切な手跡が確定しておらず、ともに単に危険度と訳されたり、本来 hazard とり うべきところを riskと称した りする例もまま見うけられる。適切な邦隷を与えるべきか、英語のまま 日本部化 するのかはターミィノロジイの問題として議論されるべきであろう。

## § 3. 地鶇危険度評価

第1節の地震危険度評価では、将来発生する地裏動の予測という観点でまとめられており、主として地裏発生の危険度の評価(マクロゾーネイション)について述べている。まず最初に理想的な地震危険度評価について述べている。ここで理想的な地震危険度評価として、(1) 発生時期および(2)振動の諸特性(最大振幅・振動雑様、時間、振動療特性、位相特性等)が問題としている地点の基盤面における地裏動に関して正確に予測され、更に(3)地盤特性が正しく考慮され、地表での地震動が推定されなければならないとしている。をしてこの理想的な評価に対して、現状がどうであるか、それるの成果が地震地域活動としてどのように表現面にとり入れられているかが述べられている。

次に地震危険度解析法の比較・検討について、統計確率的方法、決定論的方法に分け述べている。統計、確率的方法をさらに2。に分けて説明している。しっは地震資料として長期向の資料を利用するもので、他のイッは短期間の資料しか入手できない場合に用いる方法である。前者は日本のように長期向の歴史地密資料が得られる場合であり、後者は比較的短期間(1~2年)の計器観測による資料から推測する場合である。いづいも任意の再現期間の期待最大地震動という形で表現される。この統計確率的方法の向履复・長所を次のように挙げている。

- ・<u>統計確率的方法の問題点</u> i)地震活動が時間的に定常であるとして、地震を日成を考慮していないこと、ii) 震振を長として取り扱っていること、iii) 地震動の特性のラち 最大動のみを問題としてりること
- ・<u>統計確率的方法の長所</u> i)!っの国というような広い地域を均튳に評価でき、国全体の防災対象や、 所豫基準の基礎資料となる、 ii)世界のどの地域に対しても比較的簡単に適用できる。
- 一方, 決定論的方法は地震活動(余電喊・間期性), 活断層の分布や地震変動等を考慮し, 将来発生するであるう地震の震捷域を推定することから進められる。この方法の問題を、長所として,
- ・<u>決定論的方法の問題点</u> i)短周期成分(I 科以下)の世電程を求めるのに特別の考慮が必要。ii) 計算に用いる断層パラメータに外くのあいまいさが伴う。iii) 適用できる世域が限られる。
- · <u>決定論的方法の長所</u> i)-連の手続きが世襲学ないし地が物理学観点から合理的であること,ii) 最大値のみ でなく他のいくっかの特性を含んだ地襲動を推測できること。

次に,原子力発電所の設計用地電入力の推定も,地震危険度評価の | 項目と考え,その手法につけて言及している。最後に地震危険度研究の今後の方向につけてまとめを行っている。

#### る4、マイクロゾーネィションの意義とその実例

次の第2節ではマイクロゾーネイションについて述べている。まず、目的・意義から始め、マイクロゾーネイションの手法を説明している。手法は、地盤特性の評価と被災危険度の評価に分け述べられており、最初に地盤特性の評価について、種々の方法を実例とともに紹介している。大別すれば、れ)既往の地震を利用するもの(被慮の分布、零度分布など)、(2) 解析的方法(S波の重複反射による増幅の計算)、(3) 観測に基づく方法(微動観測、地震の比較観測)である。被災危険度の評価法については、各種構造物の被害分布の推定からはじめ、地震災災等の2次・3次災害の相定について音及している。そして従来のゾーニングマップが世表の地震動発さという自然現象のみに着目して進められてもらいがあることを指摘し、人工的環境、例えば家屋の家集度、土地の利用状況、人口分布、交通状況等々をとり入れたゾーニングマップを作っている。地域ごとに、東京、川崎、仙台、大阪、名も尾、清水、熊本の順にゾーニングマップを示しながら、用いられている手法とともに紹介している。

次に,世界でのマイクロリーネィション研究の動向を,これまで3回開催されている国際マイクロリーネィション会議の内容を紹介して,概義している。第1回目は米国シアトルで1972年に開かれ,マイクロリーネィションに関する問題を単に工学的側向からだけでなく幅広い関連分野を含めたものになっている。それらの範囲は地震学・地質学から地震工学,地盤工学,建築・七木構造学,さらに都市計画,社会学,紹幸学、保険、政治の問題も含まれており、内容も回を重ねるごとに多彩になっている。 具体的にマイクロリーニングマップとして示されているもののいくつかを紹介し、各回の会議の概要を述べている。

#### ♦5. 地震防災とマイクロゾーネィション

第3哲では上記のタイトルでマイクロゾーネィションを主に地震防災の立場から整理しまとめている。まず最初に新しい言葉であるマイクロゾーネィションについて、その歴史的背景、もっ意味を述べ、その守備範囲が従来の地震工学によべてはるかに幅広い学問分野であることを指摘している。そしてマイクロゾーネイション研究として扱かれているものは非常に多く外版にめたっているが、めが国でしばしばみられるように、これらが涂りにも個別的に、ときには排他的に議論されるのみであると、地域がもっ地電尾後度を総合的にとらえて地震からの安全確保を実現していくというマイクロゾーネィション研究のあるがま容からほど遠いものになってしまることを攀鐘している。

之に、地震被害発生のシステムのモデルを示し、マイクロヅーネィションとの関わりで述べている。ヨヨ、地震被害について、「地震被害」= f [地震入力、地域特性]、といるかたちで表かし、するかち地震被害は地電の残えと地震侵害器(earthquake vecepter)としての地震球境によって一意的に決するキのと何定している。そしてまらに、地震砲害を直接的なものから間接的なものに分け、地域特性もこれに対応して区分して、式を組み立て、一つの福舎が他の被害に結びついていく被害連関のモデルを提案している。をしてこの連関モデルに基づきマイクロゾーネィションを進めていくべきであるとしている。するわち、個々のマイクロゾーネィションが生にあるのでなく、地域地震秘害因果系列の確立が支行すべきで、これによって対象とする被害が、気行被害との関わりにおいて明確になり、関与すべき地域特性量が鮮明になり、どのようなマップを整えるべきかが初めて適硝となる。このような観点に立った、マイクロゾーニョグマップの作成の手順が具体的に示されている。

最後に、それまで述べるれたことをまとめ、地震防災との関わりて置理している。まず地震防災計画の目的として地震時の(1)潜在危険を減らすこと、(2) 災害による作用の結果を軽減すること、(3)災害運鎖をたち切るこ

と、(4)被災範囲を局所に止めること、(5) 対象・対助作業を容易にすること、(6)被災後の初期段階における 住民生活を守ること、(7)復襲・再建活動を容易にすること、等々をあげ、これらの目的達成のため事前(長期・短期)、事後(直後・恒久)計画が立案・実行され、マイクロゾーネイション研究の成果が、それぞれの計画 段階で有効利用されるべきであるとしている。そして見体的な手法について述べられている。また関連事項として、マイクロゾーネイションがこれまで、個々の地方行政体単位で独立に行われてぎていること、地震危険度を ネオゾーニニグマップの分くが調査時点(二段時を)のものであり、都市の発展(危険性の増加)を見こした将来のゾーニニグマップの必要性があることを指摘している。

#### §6、おわりに

以上、第6章、サイスミックゾーネイションについて、棚間を筆者なりにまとめてみた。著者は各筆ごとに要っており、新聞の電褄や細かい点で整合しないところもあり、また筆者の理解の至らぬ点も多々あると思われ、 庁よった見方となっているかも知れない。これを契機にサイスミックゾーネイションについての議論が進みるれ れば幸である。

# **P付.** 秋田市 および 周山のサイスミックマイクロゾーネィションの例

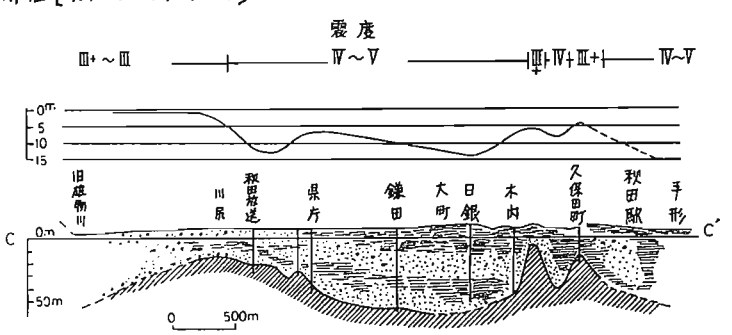
秋田市および周辺地域のサイスミックマイクロ ゾーニングの結果のいくつか医紹介しておく。秋 田地方はこれまで多くの被隼地震の経験がある。

1964年6月16日の新潟地震では市内でも所によりがなからぬ被害を生じている。加納・省駅(1965)は市内の詳細調査をもとに、電電分布・電電分布と地盤の関係を明らかにしている。四ーは電電のひどか、た地域と地盤の関係を示したものであり、四-2は東西橋面における地盤と震唐の関係を示したものである。

1964年12月11日の男鹿半島沖の地雲 (M=6.3) の秋田市内の詳細震度分布を, 橋本(1969)が図 -3のように求めている。

図-1 秋田市の地盤区分と 1964年新湾地震における東電分布図 「加納・資料(1965)による]

図-Z 秋田市東西断面にお ける沖積堆積物 , 震度 (新字他像)おおい N値曲線 (N=10) の深さの倒方変化 [加熱・沓訳 (1965)による]



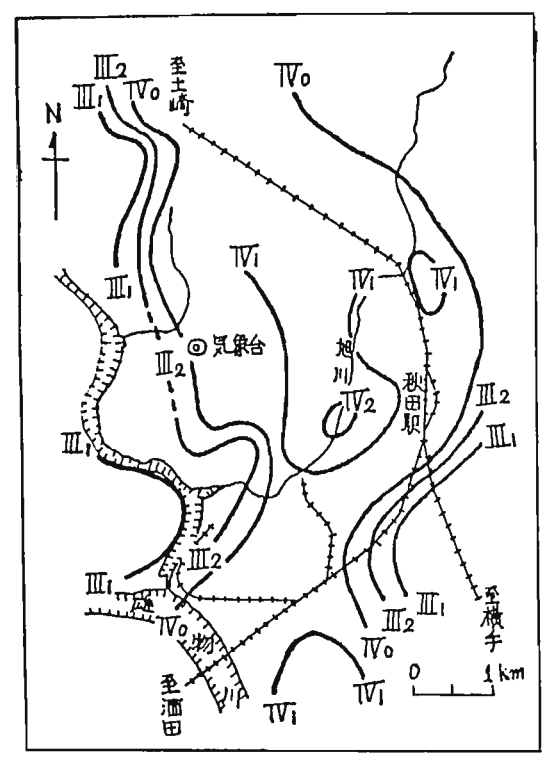


図-3 [964年12月11日, 開鹿半島沖の地電の 電渡分布図 [橋本 (1969)による]

図-5 N値が10以下の地盤の等層厚単線 [東富・野越(1979 b)による]

図-4 1965年2月16日, 全華山沖の世帳の 索度分布図[橋本(1969) による]

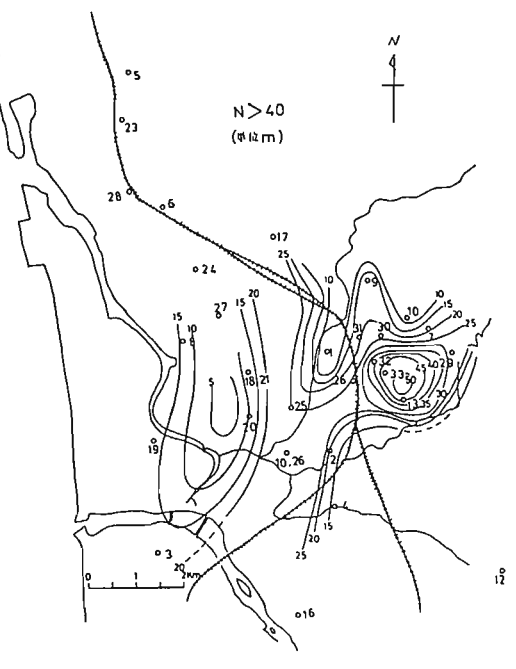


図-6 N値が40以上の地密までの等収曲線 [乗高・野越 (1979 b)による]

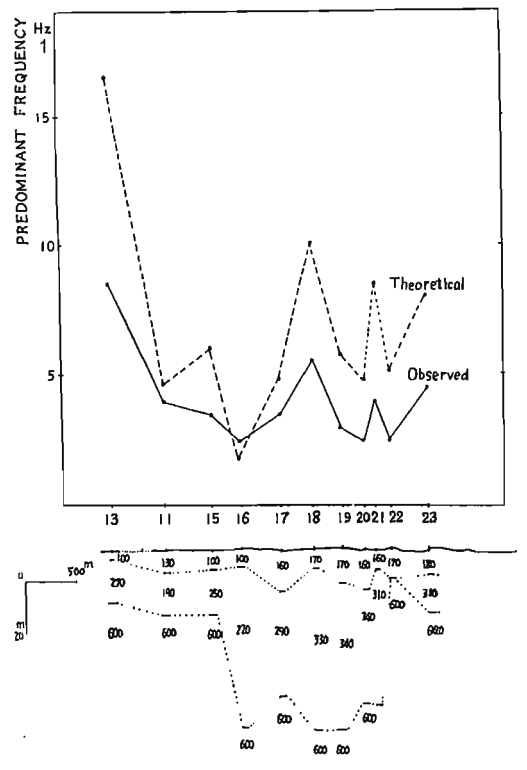


図-7 東西勝面に沿う、地下モデル構造および 役動の卓越周波教 [東家・野歌(1979 b)による]

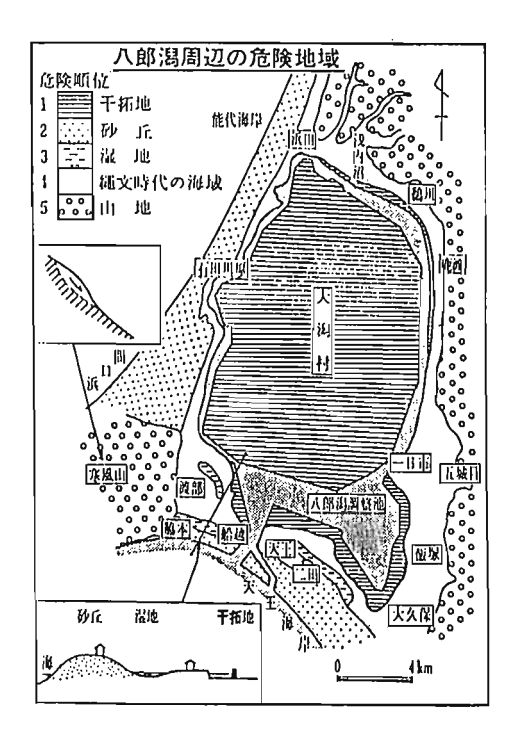


图-8 八郎時間正の危険他塚 [守屋(1978)による]

1965年 ZF16 日の金華山沖の地震についても, 裾本 (1969)は市内の詳細頻度分布図を図っそのようにむ めており, 需要が前述の 男鹿半島沖地家とほぼ 180°異なり、全般的な需度も弱いが, 寒度分布の低同が似ている ことを指摘している。

一方、秋田市内の地盤に関する研究は、乗富・野越(1979 a,b)によって詳しく調査をれている。 四-5.6 はボーリング資料から求めた、N値10以下の地盤の穹層厚線、N値40以上の地盤までの穹深寝線を表めしてい る。また微層観測も行っており,東西断面に汨っての卓熱問波数の変化が地盤構造とよく一致していることを示 している(図-7)

市外の八郎海陽辺について,守屋(1978) は地盤の状況,退去の地需被電などから関ー8に示す危険度マツ プを作成している。

# [文献]

橋本公司(1969) 秋田市の零度分布について, 験家時報, 32, 3.4号, PP 145-150.

加納 博・沓沢 新(1965)新字世惠による秋田市における東宇とその世質的考察,秋田太学地下資源研究 施設報告, 31 号, PP 37-45.

守侵喜久夫(1978)古地四が教文る地東危険地帯,日刊工業新聞社,PP38-43.

東宮一雄・野越三雄(1979 a) 秋田市周山の地整特性,第16回自然災害科学総合シンポジウム論文集, PP 353-354.

東富-雄・野畝三雄(1979 b) 東北地方地盤災害資料の解析研究 ―― 特に秋田市を中心として ―― ,自然 災害科学資料解析研究, 6, PP 109-119.

[II部] 話題提供 「地震動予測の試みとその応用」



# 埼玉県における地震動予測の試み

山鳥、悦、三

# 1 はじめに

会理的を耐震設計は、その構造物を考えている場所が将来遭遇するであるう地震力の的確を見通しの上に初のて達成されるものである。この目的のたのには、震源からどのように地震波が校出されるのか、そしてどのようを経路を伝ばして基盤に到達するのか、地表層でどのようを変形を受けて我々が観測する地震動になるのかを詳しく知る世界がある。しかしまから、現時実では、上記のことには解明すべきことがあまりにも多く、決定論的を講論ができるまでには至っていない。

筆者は、才8回地盤震動シンポジウムにおいて、 任意地美でカ 地震動がピニまで推定できるかについてのべた。 現在でもその事情はそれ程異なっているとは男えないので、かなり重複する卓もあろうが、今回は、埼玉県にか ける地震被害想定の基礎調査として行った地震動予測を紹介し、參考に供したい。

# 2 埼玉県における地震動予測

埼玉県では、最近の人口の増加がめ出ましく、特に県南ざは著しい人口集中がおこうている。このため一旦地震にあるわれるならば、宮城県沖地震に見られたような都市型の地震災害が発生した災害をもたらすむるれがある。このため、県は、昭和55、66年の2年間にわたり、「埼玉県地震被害規定策定委員会」を設け、その指導のもとに、地震被害予測調査に着手した。ここでは、被害規定の基礎となった地震動予測がどのように行われたかを紹介する。

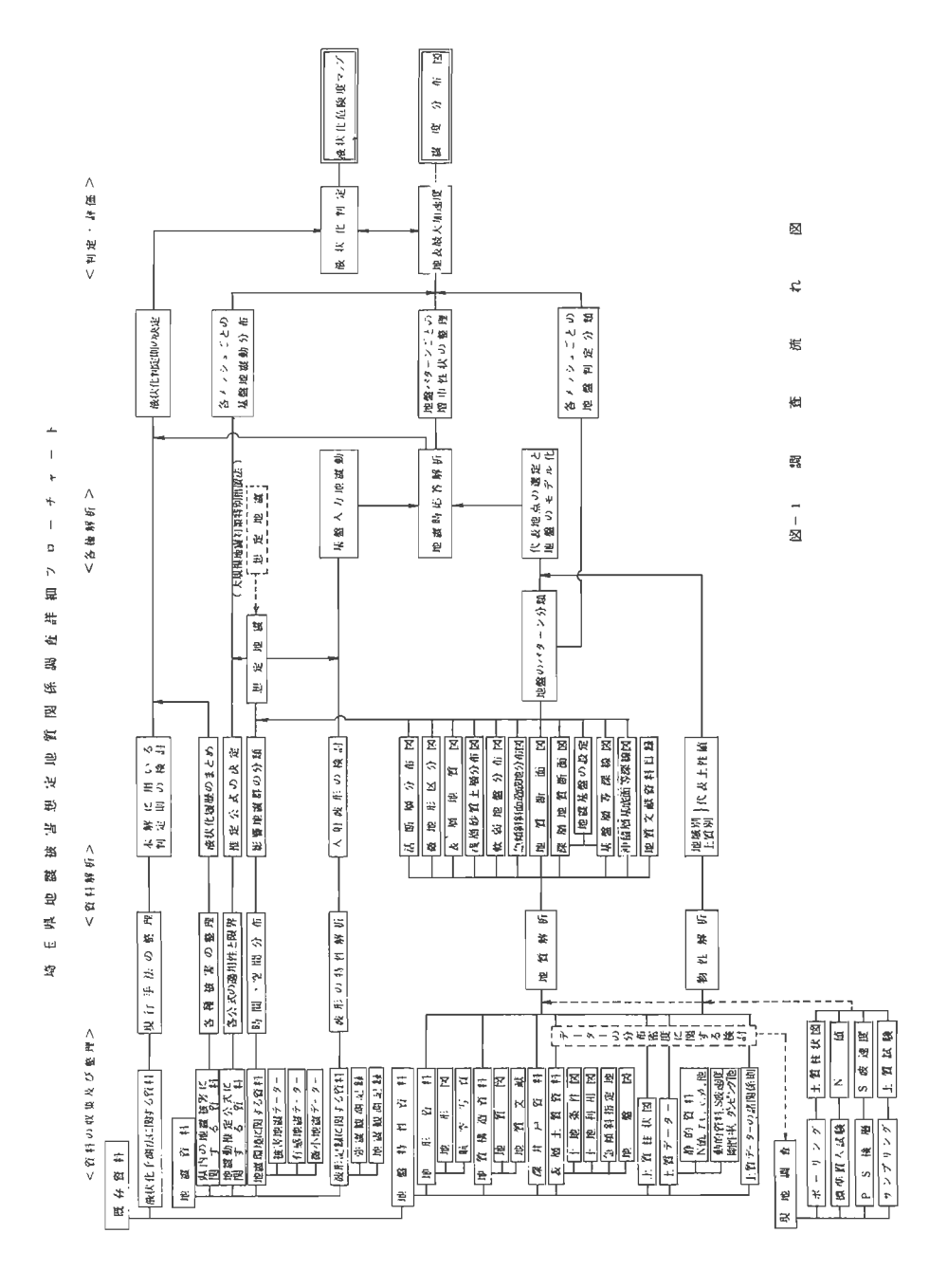
図1はこの調査の流れを示したものである。以下それに従ってのべることにする。

## 2・1 埼玉県の地質

埼玉県は栗西107km、南北 58km の 台形花の地域であり、西部の鉄辺山地には、古・中生界の 堆積岩、変成岩 などの岩石が分布しており、その東部は丘陸地で、新生界第3系あるいは、さらに新しい下部洗積鏡の堆積岩からなる。さらに その東部は関東平野となり、台地と低地になる。台地は、ローム、粘土、刷、砂礫からなる上部 洗積鏡の堆積層 からなる。低地は、荒川、中川、利根川流域に発達して むり、沖積の粘土、腐値上、砂、礫からなっている。図2は、栗西、南北の地質断面を示したもの である。このような断面図は、県内で収集とれた約7000 本の ボーリン り 費料券を参照して、 5km 间隔で、東西川、南北19の地質断面がつくられた。地裏付近での地震 200 季動を知る上で必要欠くべからずるデータとなるからである。 ところ む。ボーリング・データは県下に一様に分布しているものではなく、県の西部・北部のように、データが極めて ウないところもあれば、低地の中にはデータがせまい地域に集中しているところもある。 そこで、県内の地形・地質を代表するような10地長を選んで、 PS機層をはじめとする、地球物理学的調査ならびに上質試験を行ない、参照することとした。

# 2.2 地盤分類

高々教士米しか離れていまい2地長でも震害の屋仓、つまり地震動の強さが著しく異まる場合があることはよく知られている。しかしまがら、本例のように、非常に広い地域の地震動を予測するには、もつと大局的に見る 世界がある。現実の地盤は、地層の種類と層厚が複雑に変化しているものであり、これを詳(く調べていけばきりがない。そこで、本調査では、地震基盤面として、N値50以上の洪積層相当層の上面を設定することとし、その上の地盤構成をいくつかのパターンに分類することとした。すまわち、地盤を、山地部双積は地部、扇状地、河岸段丘部、沖積自地部、おばれ谷、後看温地部のち種類にわけ、それぞれを、地層の種類および層厚により、いくつかのパターンに細分類し、活局60の地盤パターンを考えた。表しがこの分類である。このうり山地のパターンは基盤相当層、あるいはこれより固い地盤であることから厚ま、残りの57パターンについては、地層別にS



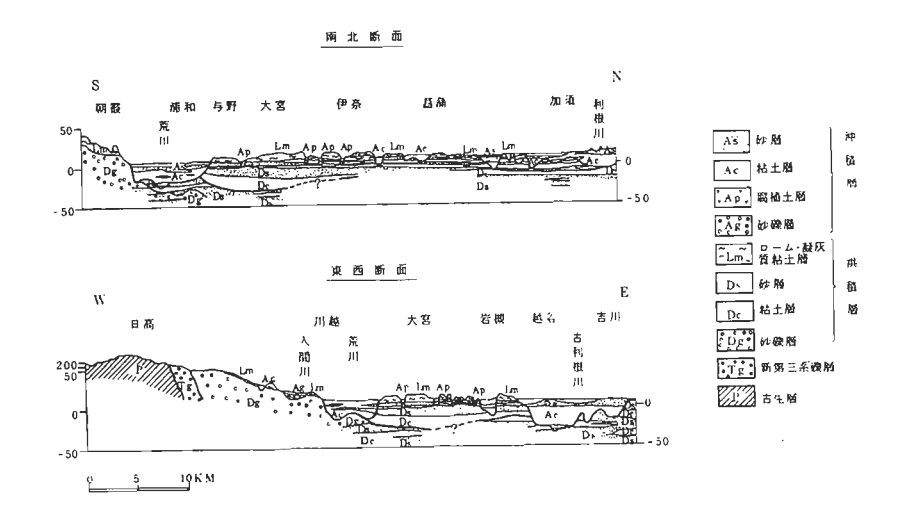


図2 地質断面図の例

波連復を与えて、地盤のレスポンスを計算した。そして、ニのレスポンスが似ているものをありめて、12パターンに整理した。すなわち、埼玉県の地盤は、41地の3パターンを含め、15パターンですべて説明されることとなった。

### 2.3 地震環境

## 2.3.1 微小地常

微小地震がある線状に発生している場合 には、そこに伏在する活断層が存在している可能性があるといわれている。 文献調査 によれば、県下ではそのような場所はみあたりなかった。

# 2·3·2 過去n 被害地震

理科年表から、埼玉県下に被害を与えたと思われる地震を調べた。 古い地震については必らずしも埼玉県で被害がありたかどうか不明のものもあるが、ここでは金井の

	g(A)	模式	炬	换大机	状 14	バターン 数	编	- 5
牌		1h 9 th	hþ	F. T. I	) <sub>K 2</sub>	3	先那三系 第	系. 供情好种
/i		人間都式(	裁削	i.	<b>%</b>	3		一大宮ダイフ
Jįb	t.	大客市和	1 ];	[ ]) ~ o -	1	1		生しりくに、上部 りこが分布上る。
25	1.	hu ia	ф	L D	2	- 5	2) 紅竹上、	計性 長少り 層
αp		加维市志	钐規	Ac L D	3 🖟	1	- 3.50年、	お値の肌の <b>枠</b> 品件上の年級
M		98 77	ф	Λg		2		
ᆙ	G	nt h	di	Ac Ag		1		
h ·		A [0]	-th	AR Ac	1/2	1		
βþ	Λa	áti (ti	ф	Ас	1	1.3		化中間層が
hī	ΑЬ	大里郡友	( <b>( B</b> )	Ac As s		1	分布するに	
fi [	Αe	/II 4 <u>4</u>	di	Ac As Ac	1	1.0		全て洪掃我 (上の三通が
Юi	Aid	; 435	di	As. Ac		1.0	, F,,	,
16 2		北崎上郡川	गपन	Λ p			A 人名タイ 日 総質士。	ノ 信性モのり終し
N(3)	Αı	1) 4	di .	[As L Ar L		1	CNROW	C+49
ja či		', Tí	- (b)	[Ap L As	118	1		

表! 地盤分類

推定公式を採用し、基盤で3 kine 以上のものを取り上げることとした。その结果、厂史上最も古い818 年の地震から現在までに18ケの被害地震を経験したと推定された。しかし、その大部分(15ヶ)は江戸時代以降の地震であって、更にその協助治以降のものが9ケを数える。このように時代と母に被害地震が増えてまていることに注意する必要がある。被害地震のうち、県下に最大の被害をもたらした1923年の闰東地震のように、プレート境界に発生したと思わかるものが4つある(内1つは南海トラフに関連したものである)。あとは江戸、小田原周辺に発生した。M7クラスの中規模地震によるもちい灰害的な地震であり、埼玉県直下に発生し、死着を到す程の大きな被害を与えたものは、1931年の西塚玉地震のみである。1968年の珠玉県中野の地震もいわゆる直下地震であったが、これは震療が深かったこともあり小被害ですんでいる。

このような調査の结果、複討対象として、今転題になっている東海地震、南側東地震(1923年関東地震の再製 西塚玉地震(1931年の西塚玉地像の再来)を考えることとした。 その他、河角流の 100 年期待値も求めることと した。なか、河角マッカに代表よれる期待値は、新潟地震に対応できなかったので意味がないとの説となすものがある。 内陸で発生する地震は再来周期が大変長いと考えられている。 河角マップの期待値が、新潟セネルほど 大きくなかったの はそのため であり、新潟地震のデータを含めたとしても期待値は殺人ど変うない筈である。 新潟地震と同じ震源をもつ地震は当分発生しないと考えられるから、経済面からみても河角マップを非難するのは あたっていないのごある。

# 2.4 基盤での地震動の推定

基盤での地震動を推定するを法としては、現在のところ3つの方法が考えられる。 第1 は、地震の投模と震弾艇離から、実用公式を用いて地動を推定する最も古典的なを活である。 第2は、今回の例のように過去に起った地震の再来を考える碌を場合、過去のデータから地震動を推定して、震弾距離と共にどの碌に地動が減少していくかを調べ、地盤のデータを比較することから、被害データのない地域にも地震動の推定を拡げていくという手法である。この手法では、過去の地震の被害データがかなりまくないと使えない。 第1 の 手法は震源域内では使えないが、この手法では適用出来るので有利である。 第3 は、断層もデルを設定し、地下標途を考慮して、任意地長での地震動を埋締的に計算する方法である。この手法では、断層の形状、破壊速度、ライズ・タイム、等のパラナータに現時長ではまだまだ任意性があるのがたまな问題である。

そこで、ここでは第一および第2の手法をとることにした。ただし、第1の方法をとる場合はEの実用公式を 用いるかが大きな同題となる。そこでいくつかの実用公式と最近の関東地方に発生した比較的規模の大きな地震

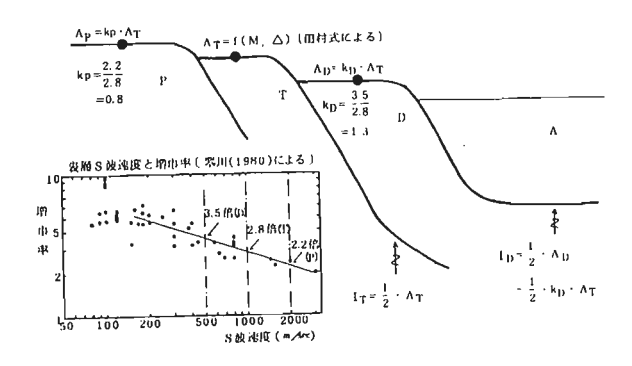


図3 基盤入力算定の概念図

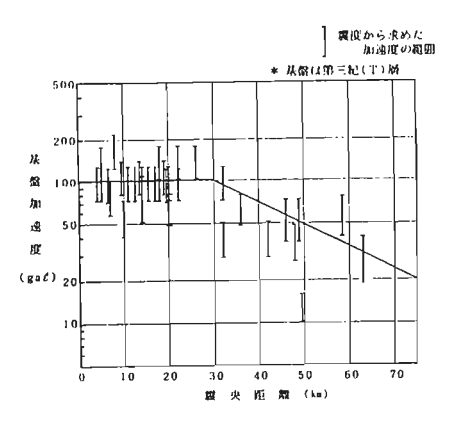


図4 西場を地震の基盤入力推定図

の観測データを比較した結果、田村他(1979)の式を用いて、地動を推定することにした。ところごこの地動は第3紀層上面の値であることから、他の地盤への入力は、鳩(1977)、製川・小林(1980)による、S效連度と増幅率の関係を用いて、補正することとした。その概念的な説明図を図るに示す。また第2の方法による例を図4に示す。

## 2.5 地表での地震動の推定

基盤入力から地表での地震動を推定するにあたって、さきにのべた地盤パターンについて、地震時における地盤の非線形性等動を考えたレスポンスを求めるため、東海地震と南側東地震については、1968 年十勝沖地震の八戸港湾における記録を、また西崎玉地震については、1940年 Imperial Valley 地震の & L Centro の記録を用いることとした。ただ(、レスポンス計算には各観測失びの地表の影響を取り除いた辺形を用いた。これで、得られた増格率を入力地震動にかけあわせることにより、地表での地震動が得られることになる。

ヒニラ ご、今まご はっまりの べなかったが、地震動の予測は、約1km×1kmのメツシュ について行なうことにした。細かく見れば、この中に前にのべた 15の地盤パター ンのいくつ かが混在することがあこり得る。 しかし、

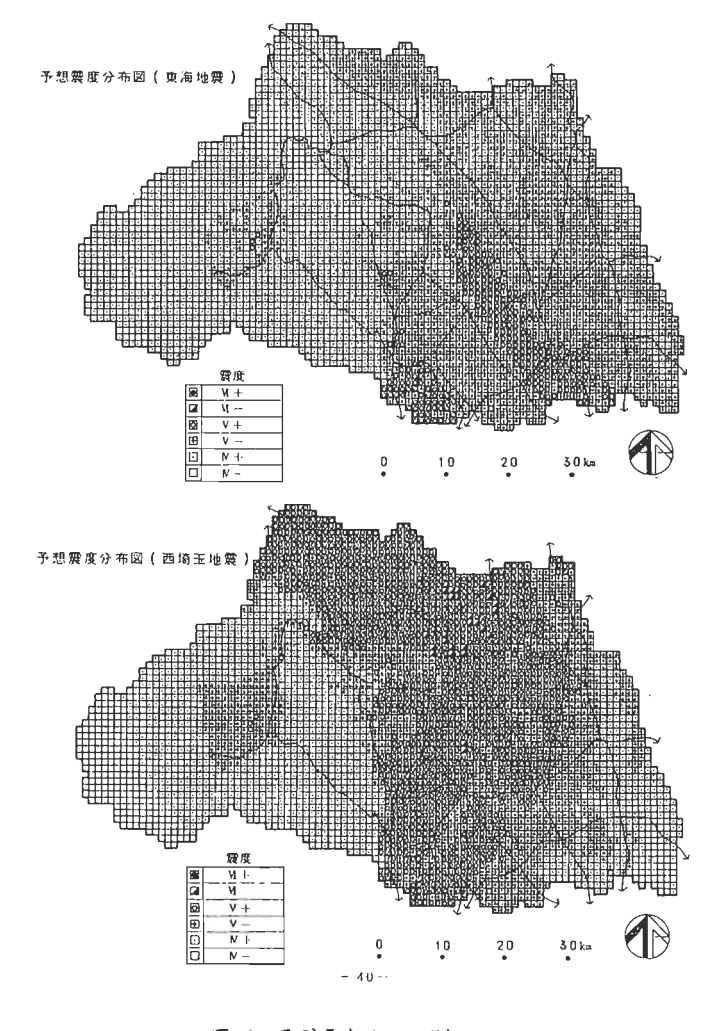


図5 多想震度分布の例

大勢を見る見地からは、これを一つのパター ンで代表 ± ± る必要がある。そこで次に示す様を優先度をもたせて各メッシュの地盤パターンを決定した。

優先度1:面積は率の大于いパターンをとる。

2:人口の多い地色のパターンをとる。

3:増幅率を考えに最悪のパターンをとる。

埼玉皇の全メツシュ 3.859 はこのまうを方法により 15パターンに分類されたのである。

図5に地震動の予測例を示す。ただし、これは計算まれた地動を、翠川・小林(1980)による、最大加速度と 電底階の関係を用いて需慮管で表現されている。

# 3 おわりに

以上、埼玉県ご行かれた地震動予測の大略についてのべてきた。 ニのよう玄実例が、将来のよりよい予測生法 ||利発につながる討論のきっかけともなれば、筆者の望かの喜びとするところである。

最後に、本調査委員会で、終始熱心に討論して頂いた雑先生 およが 無理な注文にも答えて実務を遂行された 応用地負調査事務所の担当者の方々に内礼申し上げる。

# 文 献

埼玉県地震被害想定策定調查報告書 昭和55年度概要報告書, 昭和56年3月, 埼玉県 埼玉県地震被害想定策定調查報告書 昭和57年3月, 埼玉県

#### 土木分野における工学的地震動予測とその問題点

亀田弘行\*

## 1. はじめに

土木工学が対象とする構造物は多種多様である。耐緩工学上検討の対象となるものを列挙すると、橋梁・高架 橋、トンネル(特に沈埋トンネル)、盛土・堤防、ダム、液体貯蔵タンク、地下埋設管路、護岸・桟橋などがあ り、構造物の形状・規模・材料は多岐にわたっている。また、重要施設においては、構造物を支持する基礎地盤 ・岩盤や、後背地の地山の地震時安定性などが問題とされる。

「地震動予測の試みとその応用」を土木工学の分野から取上げるのが本稿の課題である。地震現象と地震動そのものの見方は他の工学分野と大きな違いはないはずであるから、土木分野特有の考え方は、荷重作用としての地震動を評価する段階で現れることになり、必要とされる地震動の情報もそれによって規定される。

以上のような観点から、こうした課題に関する筆者なりの考え方を述べ、問題点の指摘を行いたい。上記のような多様な構造物を対象とする土木分野における諸問題のすべてを網羅することは筆者の能力の及ぶところではなく、いくつかのテーマに的を絞って議論を進めることとする。

#### 2. 最大地動推定の統計・確率モデル

ことでは、地震動強度を最も端的に表す最大地動に着目し、その推定のための統計・確率モデルについて論ずる。稀現象である強震地動を統計確率モデルにより推定することは、データ収集の面で困難を伴うことが多いが、その適用範囲を誤らなければ、統計・確率モデルは実データの特性を直接反映するという点で、工学的に有用な情報を与えてくれる。以下、最大地動のアテニュエーション(距離減衰)とマイクロゾーニングの2つの面から検討を加える。

a. 最大地動のアテニュエーション特性 求める統計解析が盛んに行われ、わが国の強震地動についていくつかの統計モデルが提案されている。<sup>1)~4)</sup> とうし た方法の問題を文献 4)に従って論ずる。

地動の最大加速度を V とすると、地震のマグニチュード M と 着目地 点までの震央距離 4 を用いて、A と V のアテニュエーション特性は次 のように表される。

$$A = U_{3} \overline{A} (M, \Delta)$$

$$V = U_{v} \overline{V} (M, \Delta)$$

$$(1)$$

ただし、 $\overline{A}(M,4)$  と $\overline{V}(M,4)$ はそれぞれA,Vのアテニュエーション式、 $U_a$  と  $U_v$  は、予測誤差を表す確率変数で、メディアン= 1 なる対数正規変量として扱う。工学的には、強震データから $\overline{A}(M,4)$  と $\overline{V}(M,4)$  を算出するのみでなく、予測誤差の指標としての  $U_a$ , $U_v$  の変動係数ができるだけ小さいモデルとする工夫が必要であろう。

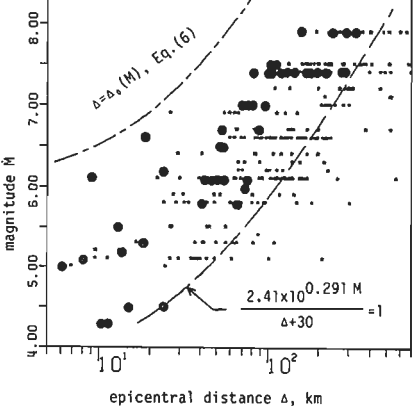


Fig.1 Scattergram of Strong Motion Data on Magnitude and Epicentral Distance.

Fig. 1 は、わが国でこれまでに得られた主要な強震データに関するマグニチュードM と震央距離 I の散布図である。工学上の問題としては、(1)これらの中からどのようにデータを選択するか、および(2)耐震工学上重要な同図左上(大M-M-M)でのデータの欠如をどう扱うか、の 2点が重要となる。

まず(1)に関しては、Fig. 1 の全データ(346 成分)による加速度のアテニュェーション式が 30 gal 以上の値をとる領域(同図中の実線より左上)のみのデータを用い、さらにこの領域でも加速度が 30 gal 以上のデータのみを用いると、結局採用されるデータはFig. 1 の $\bullet$  印のみとなり、合計 91 成分となる。これにより、 $\overline{A}(M,4)$ 、 $\overline{V}(M,4)$ 

は全データの平均よりは大きい値の方へずれるが、工学的には安全側であるし、これによって  $U_a$  ,  $U_v$  の変動係数は約 59%となり、このようなデータの選択を行わない従来の研究における  $80\sim100\%$ と比べて、予測幅を狭くすることができる。こうして得られたアテニュエーション式を $Table\ 1$  の(a) 欄に、 $U_a$  ,  $U_v$  の変動係数を $Table\ 2$ の(a)

		(a) $\Delta \geqslant \Delta_0$ (M)	(b) $\Delta < \Delta_0$ (M)
peak acc.	Ā (M, Δ), gal	$349 \times 10^{0.232 \text{M}} / (\Delta + 30)^{0.959} \dots (2)$	330(4)
peak vel.	$V(M, \Delta)$ , kine	$2.65 \times 10^{0.360 \text{M}} / (\Delta + 30)^{0.893} \dots (3)$	2.52 x 10 <sup>0.144M</sup> (5)

Table 1 Attenuation Equations

欄にそれぞれ示した。

次に、(2)の問題に関しては、強震記録以外の資料により対処せざるを得ない。ここでは、震央域での最大地動は場所により一様と考える。震度階 ¶以上の領域を震央域と考え、村松<sup>5)</sup> による震度分布とマグニチュードの関係を援用すると、M>6.0では震央域の平均最大加速度はほぼ 330 gal となる。この結果と式 (2)、(3) の整合性を持たせるようモデル化を行うと、震央域ではアテニュエーシ

Table 2 Attenuation Uncertainties

	(a): Eq. (1) δυ	(b): Eq. (8) δ <sub>U1</sub>
peak acc.	0.593	0.481
peak vel.	0.594	0.502

ョン式は Table 1 の(b) 欄のような形をとる(ただしM>6.0)。加速度はM ,  $\Delta$  によらない定数であるが,速度はM とともに増加する。 緩央域の範囲を示す  $\Delta_0(M)$  は次式で与えられる。

わが国以外で得られた震央域での強震データを式(4),(5)と比較した結果については、文献4)によられたい。

b. マイクロゾーニングのための地盤条件の表現 地盤条件が地震動強度に大きな影響を持つてとから、マイクロゾーニングの技法が必要とされ、各種の方法が発達してきたが。ここでは、上記のアテニュエーションモデルと結びつけ、その予測精度を向上させる形で地盤条件をとり入れる方法について述べる。地盤条件に関する情報としては、多くの建設現場で一般的に利用できる標準貫入試験によるN値柱状図を有効に活用することを考える。

まず、地表近傍の地盤の影響を表すために、次のような地盤パラメータSnを定義する。

$$S_n = 0.264 \int_0^{ds} exp \{-0.04 N(x)\} exp (-0.14 x) dx - 0.885$$
 (7)

ただし、N(x) は深さx (単位m) におけるN 値、d は柱状図の最大深さである。N(x) が小さいほど $S_n$  は大きい値をとるから、 $S_n$  は地盤の軟弱さを表す指標と考えてよい。 $N(x)\equiv 0$  のとき  $S_n=1$  、 $N(x)\equiv 19$  のとき  $S_n=0$  、 $N(x)\equiv 50$  のとき  $S_n=-0.630$  となる。

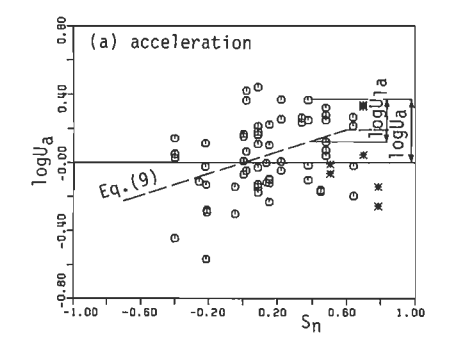
強緩観測地点の $S_n$ を算出し、 $U_a$ 、 $U_s$ との関係を示したのがFig.2である。同図より、 $U_a$ , $U_s$ ともに $S_n$ とともに増加することがわかる。これにより、 $S_n$ によって地盤条件の影響をとり入れると、式(1)は次のように書き改められる。

$$A = U_{1a}C_{a}(S_{n})\overline{A}(M, \Delta)$$

$$V = U_{1a}C_{a}(S_{n})\overline{V}(M, \Delta)$$
(8)

<sup>\*</sup> $\Delta$  and  $\Delta_n$  (M): in kilometers

<sup>\*\*</sup>Eqs. (4) and (5) apply only for M > 6.0. When  $M \le 6.0$ , Eqs. (2) and (3) should be used for all values of  $\Delta$ .



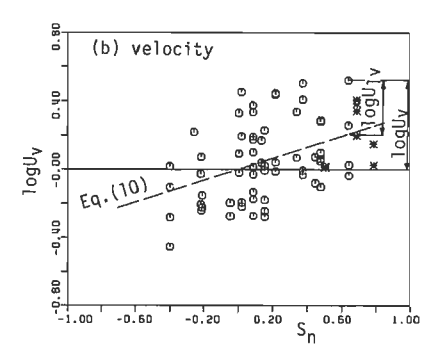


Fig.2 Effect of Site Parameter  $S_n$  in Reduction of Attenuation Uncertaities.

ただし、 $C_a(S_n)$ ,  $C_v(S_n)$ は地盤条件による補正係数、 $U_{1a}$ ,  $U_{1v}$ は補正後になお残る予測誤差を表す確率変数(対数正規、メディアン= 1 )である。 $C_a(S_n)$ ,  $C_v(S_n)$  は次式で与えられる。

$$C_{a}(S_{n}) = \begin{cases} 2.09^{S_{n}} & , & S_{n} \leq 0.6 \\ 1.56 & , & 0.6 < S_{n} < 1 \end{cases}$$

$$C_{v}(S_{n}) = 2.23^{S_{n}}$$
(9)

 $S_n \rightarrow 1$  なる極端な場合 (軟い地盤) には $C_a = 1.56$ ,  $C_v = 2.23$  である。また、 $S_n = -0.630$  の場合 (堅い地盤) には $C_s = 0.629$ ,  $C_v = 0.603$  となり、地表面から構造物支持地盤への地震動の低減率の目安を与えよう。

以上の方法により地盤条件をとり入れると、式(8)の $U_{1a}$ 、 $U_{1v}$ の変動係数は $Table\ 2$ の(b)欄のように、同表(a)欄の値より減少し、地盤の情報を加味することにより、地震動の予測精度が向上することがわかる。

ここで用いたN値柱状図は地表近傍の $10\sim30$  m程度における詳細な地盤情報を与えるものである。実際には、これに加えて更に深い地盤の条件(例えば岩盤までの深さ)も地震動強度に影響を与えようが、地盤資料の精度も異なり、別途に検討が必要である。この点に関する強震記録の分析を現在実施中である $^{80}$ 

## 3. 非定常地震動の予測

a. 非定常スペクトルによる地震動のモデル化と予測 非定常地震動の合理的な予測法を確立することは、動的応答解析における入力地震動の評価のために重要である。特に、構造特性の劣化過程を含む非弾性応答では、時間の経過とともに低振動数成分が卓越することが多い地震動の特性をとり入れることが重要である。ここでは、このような点に着目した非定常スペクトルによる地震動予測モデルの概要を論ずる。詳細については文献 9)によられたい。

まず、地震動加速度の非定常スペクトル $G_x(t,w)$ の時間軸上の特性をFig.3のようなモデル関数で表示する。同図における $\alpha_m$ ,  $t_s$ , および $t_p$ は、注目する成分波動の強度、到着時刻、および継続時間をそれぞれ表す。これらのパラメータの推定値の振動数への依存性を示したのがFig.4である。その中で、 $t_p$ と $t_s$ の振動数依存性が、

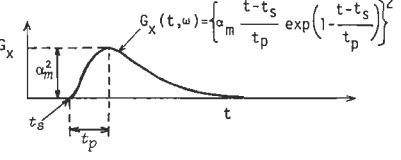
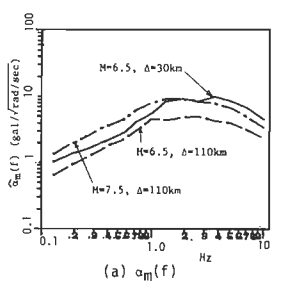
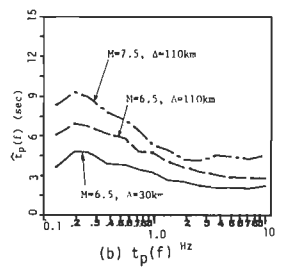


Fig.3 Time Varying Function for  $G_x(t,\omega)$ .

スペクトル特性の非定常性を表す。これらの特徴をモデル化し、さらに地盤条件に関する情報量によって予測精度を向上させるような、3 段階(レベルー | ~レベルー 🛮 ) の地震動予測モデルを作成した。

- |) レベルー | (マグニチュードMおよび震央距離 4 を与える場合): Fig. 5 に異なる M, 4 の組合わせに対する予測地震動の例を示した。
- ii) レベルー  $\mathbb{I}$  ( M ,  $\Delta$  および地盤のN 値柱状図が与えられた場合 ): Fig. 4 (a)の  $\hat{\alpha}_m(f)$  を,前記 2. b. と同様に,地盤の軟弱さを表すパラメータ $S_n$  を用いて補正する。





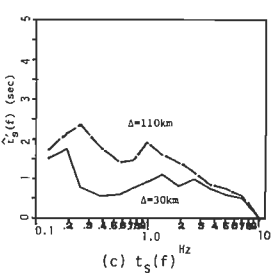


Fig. 4 Regression Values of Model Parameters.

各レベルにおける地震動を発生させ、各ケース 10 個のサンプル波による最大地動の平均値(生)と変動係数(δ)をTable 3 に示した。 モデルのレベルによって平均最大地動が変化する

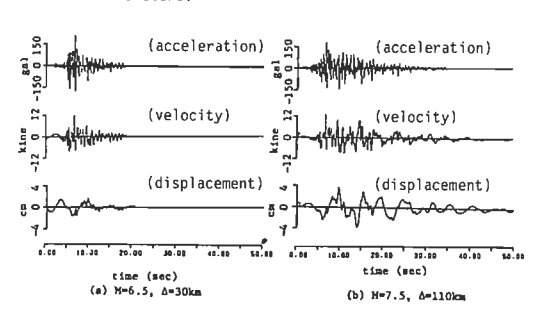


Fig.5 Sample Earthquake Motions (level-I model).

のみでなく、高レベルほど変動係数が小さくなり、予測精度が向上することがわかる。

# b. 大規模断層破壊による地震動予測への

応用 Fig. 1 でみたように、極値的な巨大地震の震央域での強震記録(大M、小 4 )がわが国では未だ得られていないが、耐震工学ではこの領域に関する地震動予測の問題を避けて通ることはできない。そこで、巨大地震が大規模断層の逐次破壊で発生することを利用し、小規模な断層破壊による地動を重合わせて巨大地震による地動を推定しようとする試みが盛んになっており、工学的に重要な加速

Table 3 Statistics of Sample Earthquake Motions  $(M = 7.5, \Delta = 110 \text{ km})$ 

Site	Model	A (gal)		V (kine)		D (cm)	
Site	level	μ	δ	μ	δ	μ	δ
	I	150	0.44	12.9	0.48	3.76	0.46
	B	225	0.38	19.0	0.39	5.52	0.34
Hachinohe	Ш	189	0.22	21.0	0.25	6.86	0.25
	п	209	0.38	16.7	0.40	5.08	0.34
Hososhima	Ш	196	0.23	23.0	0.27	5.72	0.24

度波の予測にもこの手法の適用が試みられている<sup>10)~12)</sup>。 断層の分割と重合わせの方法, 重合わせるグリーン関数としての基本波の選定などがこの手法の基本的な問題点である。ここでは, 工学的応用を目的として, 上記 3.a. の非定常地震動の予測モデルを応用した方法<sup>10,11)</sup>について述べる。

断層分割モデルはFig. 6 のようである。基本波としては、 3.a. の予測モデルにおいてM=6.  $\Delta=0$ としたときの非定常スペクトルを用いる(レベルー~目いずれも可)。 8 個の地簇(M=6.1~7.9)による 48 個の強緩記録とM=6 の予測モデルとのパワーの比( $0.55\sim2.6$  Hz)から,断層の分割数 $N_G$ をFig. 7 中の実験式のように定める。断層は一定の破壊伝播速度で順次破壊するものとし,観測地点までの走時をも考慮して観測地点での非定常スペクトルを重合わせにより求める。これにより地緩動のシミュレーションを行う。

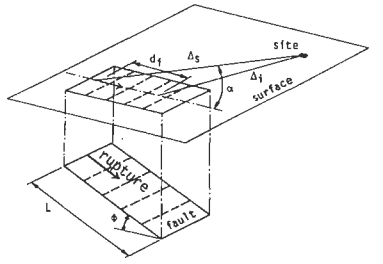
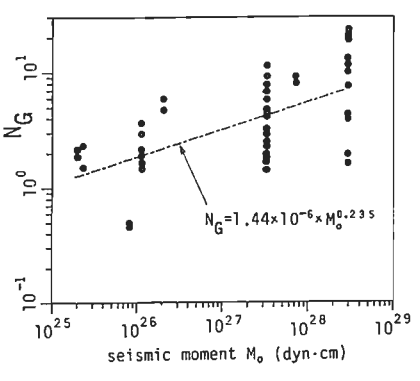


Fig.6 Fault Model.

Fig. 8 は、1968年十勝沖地 震における八戸における強震 記録を本方法(モデルー ■を 使用)で模擬し、応答スペク トルを比較したものである。 また、Fig. 9 は断層破壊が向 う側(● 印)と遠ざかる側(○ 印) での最大地動のアテニュエー ション特性を示したものである。



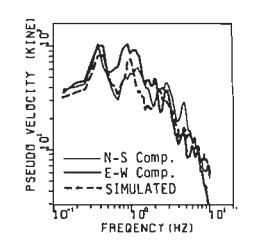
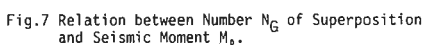
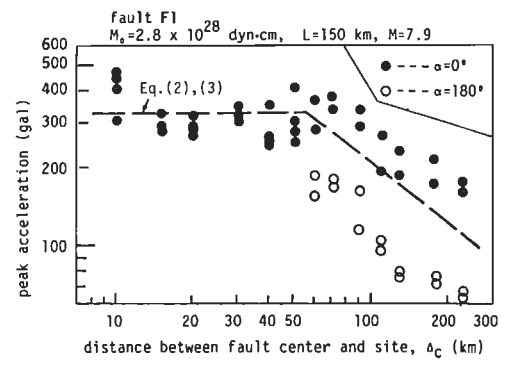


Fig.8 Response Spectra for Simulated and Recorded Motions (Hachinohe, 1968).







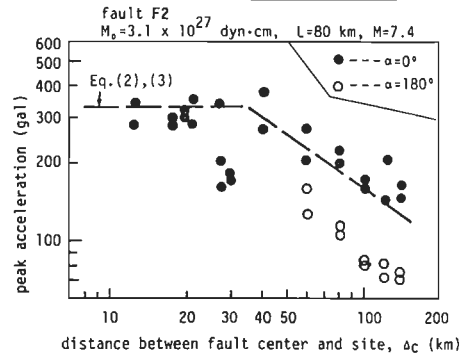


Fig.9 Near-Source Attenuation of Simulated Peak Acceleration.

## 4. 地震動の地点間相関

最近の被害地震では、上・下水道、ガスおよび電力供給施設など、いわゆるライフライン系の被害による都市型震害が問題となっている。これらライフライン系の構造上の特徴として、埋設管路が多く使われていること、都市の全域を包含する広い地域にわたるネットワークを構成することが挙げられる。このことから、ライフライン系の耐震工学的問題を扱う場合には、単独構造物を対象とする場合と異なり、以下に述べるような観点からの地震動予測が必要とされる。それらは今後のアレー観測などの成果にまつべき点も多いが、これまでの試みを紹介して問題提起としたい。

a 地震時の地盤ひずみ <sup>13)</sup> 埋設管路の地震時ひずみは、水平方向の波動伝播による地盤ひずみに起因するものと、地盤の局所的な不均一性による相対運動に起因するものとに大別される。ここでは前者の問題を扱った解析を取上げる。  $V_S$  (m/sec)

ある 1 地点における地動変位 d(t) が与えられており、その付近の地盤を地震液が水平方向に伝播する (見掛け上の水平方向伝播を含む) 波数を k (振動数 $\omega$ の関数) とすると、距離 D だけ隔った 2 地点間 (D を相関距離と呼ぶ) の平均ひずみは次式で与えられる d 。

$$\varepsilon$$
 ( D , t) =  $\frac{1}{D} \int_{-\infty}^{\infty} F(i\omega) \sin \frac{kD}{2} e^{i\omega t} d\omega$  ....(1)

ただし、F(iω)はd(t)のフーリェ変換である。

以下簡単のため、d(t)は Rayleigh 液によるものとして議論を進める。埋設管の地震 Fig. 10 Typical Soil Layer Models. 応答では管体の軸ひずみが優勢であり、縦波である Rayleigh 液の影響が大きいとされることによる(ただし地盤と管体の間にすべりを生ずる場合は横波の影響も無視できない<sup>15)</sup>)。

Fig.10のような層構造を持つ5種類のモデル 地盤を考え、その Rayleigh 波の基本モードから波 数 k(ω)を算出する。さらに 3.a. の非定常地震動予測 モデルからd(t)を求めて式[1]から平均ひずみを推定 する。結果の一例をFig.11に示した。また、各地盤 モデルに対する最大ひずみと最大地動の例をTable 4に示した。これらの結果において、D=5mの場 合は実質的に局所ひずみを与えると考えてよい。

Table 4 Simulated Peak Ground Strains and Peak Ground Motions (M = 6.8,  $\Delta$  = 15 km)

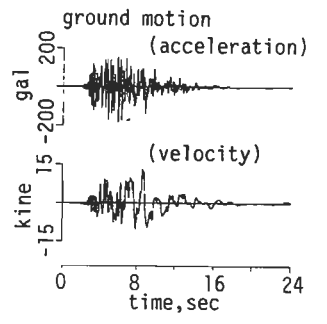
	€ x 10 <sup>-4</sup> (D=5m)	ε x 10 <sup>-4</sup> (D=100m)	V (kine)	A (gal)
G-11	4.8	1.6	13.3	190.2
G-12	10.7	2.1	18.7	229.7
G-13	17.7	3.6	30.3	301.1
G-14	32.8	6.2	40.3	343.0
G-15	149.4	9.8	52.4	371.3

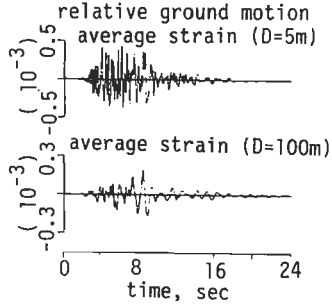
正弦波が水平方向に速度cで伝播する場合, 地 Fig.11 Simulated Ground Motion and 盤ひずみは ε=V/cで与えられる。京都盆地の平地部

件の局所的変化の影響を受けるため、かなりばらつきが大きい。

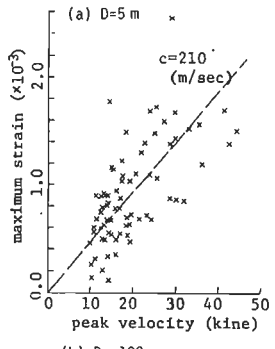
の各地点について上記の方法で ε と V の関係を求めると Fig. 12 のようになった。平均的

なcを求めると同図中の破線のようになるが、D=5mの場合には地表付近の地盤条





Average Strain (Model G-11: M=6.8,  $\Delta=15$ km).



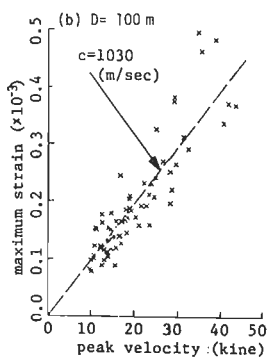


Fig.12 Simulated Ground Strain and Velocity (Kyoto; M=6.8, Δ= 15km).

b. 最大地動の地点間相関係数<sup>4)</sup> ライン系の震害予測を行う場合に、従来の研 究では異なる地点での最大地震動はすべて確 率統計的に独立であるとして扱われてきた。 しかしながら、将来起るべき未知の地震につ いては、この仮定は妥当ではない。この点の 説明のため、式(8)をさらに次のように書改め る。

Source 
$$U_1$$
: Site A  $U_2$ : local effect  $U_1$ : local effect  $U_2$ : local effect  $U_1$ : local effect  $U_2$ : source effect

Fig.13 Illustraion of Spatilly Correlated Peak Ground Motions.

$$A = U_{Ta} U_{La} C_a (S_n) \overline{A}(M, \Delta)$$

$$V = U_{Tv} U_{Lv} C_v (S_n) \overline{V}(M, \Delta)$$

これは式(8)において $U_{la} = U_{Ta}U_{La}$ 、 $U_{lv} = U_{Tv}U_{Lv}$  と置いたもので ある。 $U_{Ta}$ ,  $U_{La}$ ,  $U_{Tv}$ ,  $U_{Lv}$  はいずれもメディアン= 1 なる対数 正規変量とする。

Fig.13 に説明したように、式(12)のUrは震源の特性を反映す る確率変量で、(マグニチュードの割に地震動が全体として強い、または全体 として弱いといった) 地震の「くせ」を示すと考える。一方 U」は、地盤パラ メータS。では説明し切れない局所的な条件の影響を反映する確率変量であ る。この他、伝播経路の影響を示す変量も当然考えられるが、問題が複 雑になり過ぎるので、ここではUrとUlの2つに分解して考える。

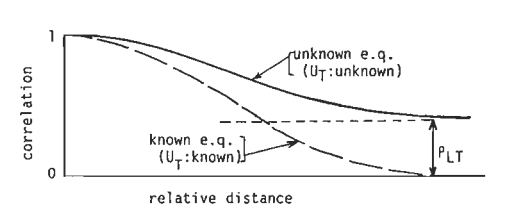


Fig.14 Illustration of Spatial Correlation for Unknown and Known Earthquakes.

Table 4 Separation of Uncertainty and Spatial Correlation

	δ U <sub>T</sub>	δυ <sub>L</sub>	ρLT
peak acc.	0.285	0.388	0.351
peak vel.	0.330	0.378	0.432

上記のような $U_T \ge U_L$ の性格から、ある地震によって地動を経験する地域内の異なる地点間で、 $U_T$  は高い相関を示し、 $U_L$  は独立に近い傾向を持つと考えられる。従って、 $U_T \ge U_L$  の額として与えられる $U_L$  は、中間的な部分相関を有することになる。ここでは簡単のため、異なる地点間で $U_T$  は完全相関、 $U_L$  は無相関とすると、異なる地点間での $U_T$  の相関係数は次式で与えられる。

式(13)に表れる諸量の値をTable 4に示した。それらの算出過程は文献 4)によられたい。

こうして得られた  $ho_{LT}$ は、 地点間の距離が十分大きい場合の値を与えるもので、Fig. 14 のように、地点間相関の下限の推定値と言える。距離が小さくなると当然  $U_L$  の相関も高くなり、地点間相関係数は 1 に近づく。また、すでに発生した(過去の)地震を論ずる場合には、 $U_T$  の値を既知としうる場合が多いから(1978 宮城県沖地震では  $U_T\cong 2.3$ )、その場合の確率変量は  $U_L$  のみとなり、地点間相関は Fig. 14 の破線のようになる。

地震動の地点間相関を考慮することによるライフライン系の解析結果への影響については文献 16) を参照されたい。

# 5. 静的地震荷重の評価(地動継続時間の影響の定量的評価) 17). 18)

動的耐震設計が発達した今日においても、中小規模の土木構造物の大部分については、簡便な震度法または修正震度法による耐震設計が行われる。道路橋示方書耐震設計縄など、一般土木構造物の耐震規定における設計震度の値は、(二)過去の地震活動、(二)強震記録から得られる地盤種別ごとの強震地動の特性、(三)構造物の構造特性と過去の震害経験に対する判断、などを総合的に考慮して定められており、それは必ずしも作用する地震動の最大加速度を意味しないのは周知のとおりである。

設計震度の決定に関連が深い地震動特性としては、強度・振動数特性・継続時間の3つがあげられる。そのうち前2者はすでに耐震規定にとり入れられているが、最後の継続時間については定量的・客観的評価法が確立されていないため、強震記録を静的震度に直接変換する方法が不明で、これまで集積されてきた貴重な強麗記録の

持つ情報が十分に生かされていないうらみがあった。強震地震動のうち構造設計に有効な加速度 度レベルを探ろうとする考え方は、有効加速度 (EPA: effective peak acceleration)としてこれまでも論じられているが<sup>19)~21)</sup>、継続時間の扱いが

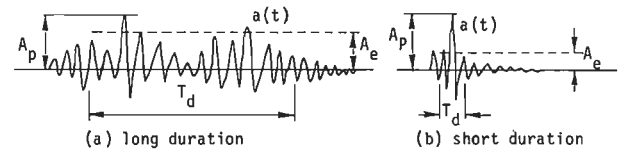


Fig.15 Ground Motion Accelerograms and Illustration of EQA.

定性的または間接的であるため、設計震度を直接評価するには至っていなかったと考えられる。

以上の観点から、強震地動を工学的な静的震度に変換する方法 $^{17).~18)}$ を以下に論ずる。変換の結果を地動加速度として表現したものを「等価加速度」(EQA: equivalent ground acceleration) と呼ぶことにする。地震動の継続時間 $T_d$ との関連からは、Fig.15 に示したように、最大加速度 $A_p$ が等しい 2 つの地震動があるとき、 $T_d$ が大きい(a) の地震動の方が $T_d$ が小さい(b)の場合より大きな破壊力を持つから、等価加速度 $A_e$ も(a)の方が(b)の場合より大きい値をとる。

$$A_e = C_e(T_d, T_o, h, structural capacity) A_p$$

てこに $C_e$  は最大加速度から等価加速度への変換係数で,等価加速度係数 (EQA factor) と呼ぶてとにする。また、 $T_d$  は地動の継続時間, $T_o$ ,h はそれぞれ構造物の固有周期および減衰定数である。 structural capacity は構造物の耐震性能を一般的に表現しており、具体例については後述する。 このように、 等価加速度係数は地動の動特性と構造物の特性・性能から決めるべきものであり、その合理的な算出法を見い出すことが、主要な課題である。 ここでは文献 17),18) に従って,その考え方を論する。

機造物の震害は、地動に対する構造物の最大応答がいかなる値になるか、お よび大きな応答値がどれだけ持続するか、という2つの要素で決まると考えら れる。前者は動的応答の過渡特性の問題であり、後者はくり返し荷重下での逐 次破壊機構の問題であるが、いずれも入力地震動の継続時間T<sub>d</sub>の影響を受ける。 になるこの影響を分けて考え、式(14)を次のように書き改める。

ここに、γを最大応答係数、η<sub>3</sub>を平均有効応答係数と呼び,以下のように定式 化を行う。ただし、Taの定義には Vanmarcke、Lai<sup>22)</sup>の簡略式を用いる。

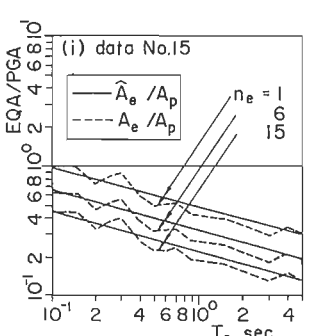
最大応答に対する地動継続時間の影響は応答倍率スペクトルの形状への影響 として評価できる。Fig. 16(a)に、類似の地盤条件(第2種地盤)のもとで得ら れた2つの強震記録に対する加速度応答倍率 $\xi_{A}$ の値を示した。継続時間 $T_{c}$ が大 きい記録Na.16 (釧路, 1973) の f<sub>A</sub> が, T<sub>d</sub> が小さい記録Na.15 (鹿島, 1971)の f<sub>A</sub> と比べて、特に長周期領域で大きくなる。前者では応答が十分発達するのに対 し、後者では過渡特性によって応答が未発達のまま終息するためと考えられる。 このように、ξ<sub>A</sub>に対する地動継続時間の影響は相対的なものであるから、ある 標準加速度応答倍率スペクトル ξ<sup>(s)</sup> を考え、これとの相対関係で、最大応答係 数ァを次式で定義する。

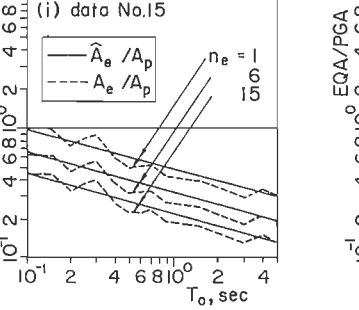
Fig. 16(a) には第2種地盤に対する  $\mathcal{E}_A^{(s)}$  を示した。また同図(b)に $\gamma$ の値を 示した。他の地盤条件については文献 17), 18)によられたい。

次に、平均有効応答係数 7a は、Fig. 17 の 応答曲線 (変位、加速度など。 Fig.17 First, Second, Third, etc. Largest ここでは変位応答による結果のみ示す ) の最大全振幅 X₁,2番目の 全振

幅 X<sub>2</sub>, ……を用いて以下のように定義 する。すなわち, いま応答の最大塑性率 がμで,一定振幅μのもとで,構造物が 7。回の応答のくり返しに耐えうるとき,

ただし、 $T_1 = 0.1 \text{ sce}$  、 $T_2 = 5 \text{ sce}$  とし、 η(T<sub>c</sub>)は疲労モデルとのアナロジーから次 式で与える。





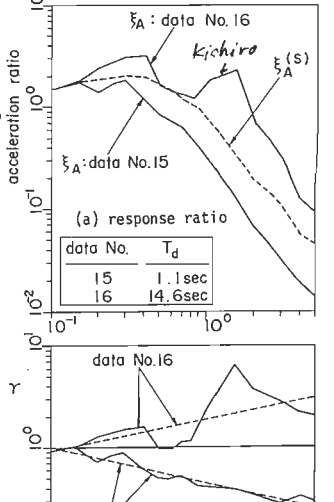
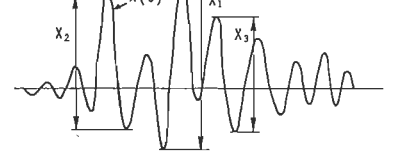


Fig.16 Acceleration Response Ratio and Peak Response Factor (soil cond. = 2, h=0.05).



Response Excursions.

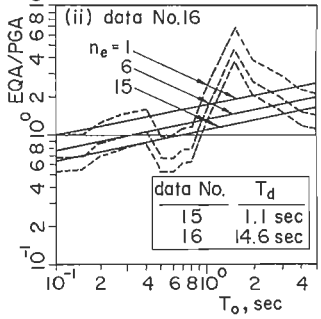


Fig.18 Examples of EQA and Its Statistical Estimate by Model-I (µ=3).

$$\eta \left( T_{o} \right) \; = \; \eta \left( T_{o} \; ; \; T_{d} \; , \; \mu \; , \; n_{e} \right) \; = \left( \frac{1}{n_{e}} \; \sum_{i=1}^{n_{d}} \; X_{i}^{q} \right)^{1/q} \! \! \left/ \! X_{1} \right. \qquad \qquad \text{(18)}$$

以上のように定義される 7,7%を用いて、式(14)、(15)から等価加速度を算出した結果をFig. 18 の破線で示した。 また、以上の所論より、耐震設計の対象となるべき応答加速度S。を有効応答加速度と呼ぶことにすると、 S。は次 式で表される。

$$S_e = \xi_A^{(s)} A_e$$
 ...... (19)

Fig. 19 の破線はこのようにして算出されたS<sub>e</sub>の値を示したものである。

非弾性応答を対象とする場合には、 式(9)の $\xi_A^{(s)}$ には等価線形系に対する応 答倍率を用いればよい。

# b. 等価加速度の統計的推定モデル

以上に述べた等価加速度および有効 応答を電卓と数表のみから推定する統計モデルを開発した。詳細は文献 18) に譲り、ここではその結果のみを示す こととする。推定モデルは 2 種類あり (Model - |、||)、それぞれ以下のよう な特徴を持つ。

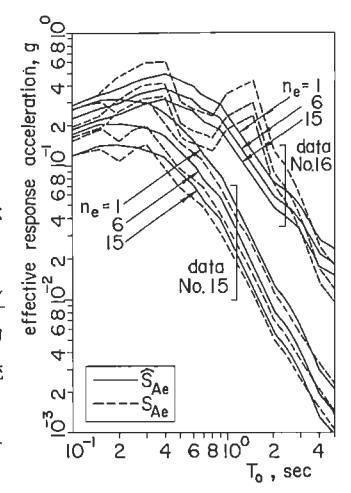


Fig.19 Effective Response Acceleration and Its Statistical Estimate by Model-I (h=0.05,  $\mu$ =3).

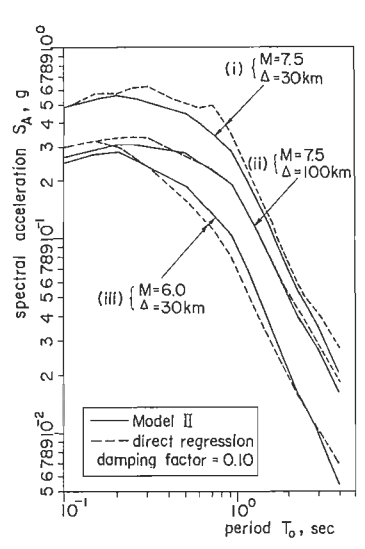


Fig.20 Effective Response Accelerations  $(\mu=1, n_e=1)$  from Model-II and Those from Direct Regression.

Model-]は, 与えられた強震記録のA<sub>o</sub>, T<sub>d</sub>, 地盤条件と構造特性 (T<sub>o</sub>, h, μ,

 $n_e$ )のみから等価加速度を評価するためのモデルで、これによる等価加速度の算出結果の例をFig.~18 の実線、有効応答加速度の例をFig.~19 の実線でそれぞれ示した。いずれの場合も原記録から直接算出した結果(破線)とよく対応している。

Model -1 は、地震のマグニチュード、震央距離および地盤条件  $(S_n$ で与える)と構造特性から等価加速度を評価するもので、 $A_p$ の算出には上記 2.の最大加速度のアテニュエーション・マイクロゾーニングモデルを用い、継続時間  $T_d$  については、別途導いたマグニチュードと震央距離との関係式を用いる。Fig. 20 の実線は、Model-1 による平均的な地盤条件  $(S_n=0)$  での有効応答加速度の推定値で、 $\mu=1$  、 $n_c=1$  の場合であるから、通常の加速度応答スペクトルに他ならない。同図の破線は、直接マグニチュードと震央距離に対して応答スペクトルの回帰分析を行った結果で、同図のM-4 の組合わせの範囲で、両者はよい対応関係にある。

Fig. 19,20 において、Model - ]、』による計算では、地震動のスペクトル特性を与える標準応答倍率を (s)は、同一の地盤条件のもとではすべて同一の値を用いている。従って、同図中で、強震記録の違いやMと 4 の組合わせの違いによる有効応答スペクトルの形状の違いは、主として地震動の継続時間の違いに起因するものと考えてよい。このことからも、地震荷重評価において地動継続時間を考慮することの重要性がわかる。ここに述べた等価加速度の考え方は、そのための定量的手法への指針を与え (500)

価加速度の考え方は、そのための定量的手法への指針を与るものと考えられる。

# 6. 地震危険度解析における地震発生モデル21)

工学的応用を目的とする地震危険度解析においては、地震発生の独立性を仮定して、ポアソン過程による地震発生モデルが用いられることが多い。しかし、現実には大地震によりエネルギーが解放されると、その地域はしばらく静穏期に入り、その後に再び活動期に入るというような大まかなサイクルがあり、再生過程的な挙動を示す。このような観点から近畿地方の地震活動を、南海トラフでの巨大地震を再生過程で、内陸部の地震を非定常ポアソン過程でモデル化すると、京都での期待最大加速度はFig. 21のようになる。。同図のCase 1

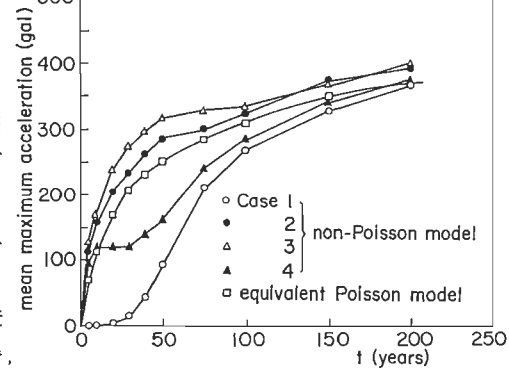


Fig.21 Expected Value of Maximum Acceleration in Kyoto for Future Period.

~4は、静穏期の開始時点、静穏期の終了時点、活動期の開始時点、および巨大地震発生直後から、それぞれ将来をみた場合である。期間が100年を越えると、いずれの場合もポアソン型モデルと同様の結果を与えるが、それ以下では、どの時点から将来をみるかで地震危険度は大変違うことになる。従って、ポアソン型モデルから得られる結果の解釈、適用には多くの注意が必要であろう。

## 7. むすび

以上述べたほか、やや長周期領域の地震動の問題、信頼性評価による耐震設計のための地震荷重評価など、紙数の関係で触れ得なかった問題も多い。それらについては別の機会に譲りたい。

#### 参 考 文 献

- 1) Katayama, T., "Statistical Analysis of Peak Accelerations of Recorded Earthquake Motions," Seisan Kenkyu, Univ. of Tokyo, Vol. 26, No. 1, Jan. 1974, pp. 18-20.
- 2) 佐伯光昭・片山恒雄・岩崎敏男:わが国の地盤上で得られた加速度記録の特性. 土木学会第32回年次学術講演会, 第[ 韶, 1977.10, pp. 304-305.
- 3) 川島一彦・相沢 興・高橋和之:最大地騒動および地震応答スペクトルの推定法(その3), 土木研究所資料。 № 1864, 1982. 9.
- Kameda, H., Sugito, M., and Goto, H., "Microzonation and Simulation of Spatially Correlated Earthquake Motions," Third International Earthquake Microzonation Conference, Seattle, 1982, Vol. III, pp. 1463-1474.
- 5) 村松郁栄:程度分布と地盤のマグニチュードとの関係・岐阜大学教育学部研究報告 -- 自然科学 -- . 4巻3号, 1969, pp. 168-176.
- 6) 第8回地盤爆動シンポジウム、日本建築学会、1980.3.
- 7) Proceedings of International Earthquake Microzonation Conference, Second: San Francisco, 1978; Third: Seattle, 1982.
- 8) 杉戸真太・亀田弘行・後藤尚男・西尾佳郎:最大地動のアテニュエーションモデルにおける地盤条件の影響。土木学会関西支部年次学術講演会。 1983. 5, | - 81.
- Kameda, H., Sugito, M., and Asamura, T., "Simulated Earthquake Motions Scaled for Magnitude, Distance, and Local Soil Conditions," 7th World Conference on Earthquake Engineering, Istambul, Vol. 2, Sept. 1980, pp. 295-302.
- 10) 後藤尚男・杉戸真太・亀田弘行・奥村俊彦:大規模斯層破壊による地震動の推定。京都大学防災研究所年報。25 号 B · 1982. 4, pp. 33 52.
- 11) Goto, H., Sugito, M., Kameda, H., and Okumura, T., "Synthetic Ground Motion for Great Earthquakes from Superposed Evolutionary Process Model," Sixth Japan Earthquake Engineering Symposium, Oct. 1982, pp. 89-96.
- 12) 飯田昌弘・伯野元彦・井上涼介・紺野鎮仁:中小地銀記録からの大地録加速度変形の合成,第 16 回地製工学研究発表会,土木学会, 1981. 7, pp. 41 44.
- 13) Goto, H., Sugito, M., Kameda, H., and Isoda, A., "Microzonation of Ground Strain for Estimation of Earthquake Damage to Buried Pipelines," Third International Earthquake Microzonation Conference, Seattle, 1982, Vol. III, pp. 1653-1664.
- 14) Takada, S., Wright, J. P., and Ohiro, H., "Simulation of Travelling Seismic Waves for Lifeline Engineering," 7th World Conference on Earthquake Engineering, Istanbul, Vol. 1, Sept. 1980, pp. 41-48.
- 15) Kameda, H., and Shinozuka, M., "Simplified Formula for Axial Strains of Buried Pipes Induced by Propagating Seismic Waves," Memoirs, Fac. Eng., Kyoto Univ., Vol. 44, Part 2, April 1982, pp. 287-308.
- | 6|| 亀田弘行・後藤尚男:水道管路網の震害予測と地震時信頼度解析。第 19 回自然災害科学総合シンポジウム。 1982. 11, pp. 187 190.
- | 7) 亀田弘行・大沢一郎:設計地盤荷重に対する地盤動継続時間の影響。第6回日本地盤工学シンポジウム。 1982. 12, pp 1425 1432.
- 18) Kameda, H., and Kohno, K., "Effect of Ground Motion Duration on Seismic Design Load for Civil Engineering Structures," Memoirs, Fac. Eng., Kyoto Univ., Vol. 45, No. 2, April 1983, pp. 140-184.
- 19) Applied Technology Council. "Tentative Provisions for the Development of Seismic Regulations for Buildings," ATC Publication, ATC3-6, June 1978.
- 20) Blume, J. A., "On Instrumental versus Effective Acceleration, and Design Coefficients," 2nd U.S. National Conference on Earthquake Engineering, Aug. 1979, pp. 868-882.
- 21) 渡部 丹・藤堂正喜:設計用模擬地震動に関する研究(その1), 日本融築学会論文報告集。303号, 1981.5, pp. 41-51.
- 22) Vanmarcke, E. H., and Lai, S.-S. P., "Strong-Motion Duration and rms Ampliende of Earthquake Records," Bull. Seism. Soc. Amr., Vol. 70, No. 4, Aug. 1980, pp. 1293-1307.
- 23) Kameda, H., and Takagi, H., "Seismic Hazard Estimation Based on Non-Poisson Earthquake Occurrences," Memoirs, Fac. Eng., Kyoto Univ., Vol. 43,
  Part 3, July 1981, pp. 397-433.

# 産業施設の耐震設計と地盤動

東大生研 产二部 柴 田 碧

# 1. 耐震設計 a 要件

- 1·| 重要度分類
- 1.2 設計地震動
- 1.3 損傷秣式
- 1.4 損傷栈構
- 1.5 振動特性
- 1·6 応答推定
- 1.7 許容応力
- 1.8 制限率項

# 2. 設計地震動

- 2.1 地農動振幅
- 2.2 振動特性
- 2.3 経時特性
- 2.4 支持条件
- 2·5 建屋特性

# 3. 損傷稀式

- 3·1 粉状 x 損傷様式
- 3·2 支持構造物 × 損傷 樣式
- 3.3 設計レベルと損傷様式
- 3·4 多次元地震動 z 損傷様式

# 4. 損傷核構と地震動

- 4·1 衝擊的地震動
- 4.2 振動的地震動(応答のゆうぎと擬共振)
- 4.3 少、長周期地震動
- 4·4 鉛直地震動 ko水平地震動

- 4.5 ねじり地震動
- 4.6 瞬時損傷と地震動
- 4.7 累積性損傷と地震動
- 4.8 進绗性損傷と地震動

# 5. 産業施設耐震設計で以事とする情報

- 5·1 局所震度分布の推定 z 測定
- 5.2 断層直上の地震動とその振幅
- 5·3 断層栈構と鉛直地震動
- Q5.4 地震動初期 8大中K
  - 5·5 液状化分布の事前推定
  - 5.6 表面波地震動 a 局前分布推定
  - s·7 表面波地震動による地表変状と人间行動
  - 5·8 や>長周期地震動

# 6. 話題に関連する主な地震

- 6.1 闽東地震-1923
- 6.2 秋田男鹿地震-1964
- 6.3 新潟地震-1964
- 6.4 十勝沖地震-1968
- 6.5 San Fernando 地震-1971
- 6.6 /#豆半島沖地震-1974
- 6·7 Romania (Varancea) 地震-1977
- 6·8 Volvi 地震-1978 (ギリシャ)
- 6.9 Coalinga 地震-1983 (カリホル=ヤ)
- 6.10 日本海中部地震-1983

以上

# 建築構造設計の分野から

正会员 青柳 司\*、 同 寺本隆幸\*\*

わが国では、地域によって地震の発生する様相が異なるため、地域ごとに地震予測を行うことは、建物の耐震設計上きわめて関心が高い。本論文は、このような観点から、建築構造設計の分野において行った地震予測に関する検討例を紹介し、引き続き、東京近辺の高層種物の設計用地震入力の設定について考察を試みるものである。

#### 1. 地震予測に関する検討例

本例は、静岡県袋井市に建設された工場建家の耐震設計に関して検討を行ったものである。建物は全部で5棟あり、主たる建物規模は、鉄筋コンクリート造5階建、延床面積7,000m²程度である。 敷地は、わが国でも有数の地震発生地域に属していて、かつ地盤が軟弱であるため、建家の耐震設計にとくに配慮が必要とされた。さらに、工場が食品製造工場という性格上、緊急時の対応ならびにその後の早期操業再開といった面からも慎重な設計が要求された。このような理由から、耐震設計を行うに当たって、敷地周辺の過去の地震記録から想定した地震に基づいて作成された模擬地震動をもとに、敷地地盤の振動特性を考慮して振動応答解析を行った。地震規模、 震央距離のちがいから模擬地震動を 3 波作成し、それらによる解析結果から、建家の構造計画の基本方針および耐震設計レベルを決定した。 図1-1は、本例における耐震設計方針作成フローであるが、地震入力レベルの設定に当たって特に次の 3項目を考慮した。①過去の地震記録と想定される地震規模、②敷地地盤の振動特性、③建家の振動特性。以下、各ステップごとに設定された条件および検討結果を述べる。

# STEP 1:過去の地震記録と想定される地震規模

過去の地震記録りをもとに、敷地より半径 150 km 以内で発生した M6以上の地震を図 1-2に示す。本敷地に顕著な影響を与えた地震は、大きく 2つのグループに分類することができる。1つは太平洋のトラフ沿いに震源をもつ海洋型のもの、もう1つは主に中央構造線沿いに発生した直下型と呼ばれる内陸型のものである。海洋型は M8以上の大地震が多いのに比べ、内陸型は M6クラスの地震であることがわかる。このような傾向から、耐震設計上想定される地震規模として次の 2つのタイプを考えた。タイフ I (海洋型、M8.5、 d=80 km)、タイプ II (内陸型、M6.5、 d=30 km)。各地震の震源深さは、余震域

STEP-1: 過去の地震記録をもとに 地震規模、震源距離を想定する。

П

STEP- 2: 敷地における基盤レベルでの 模擬地震動を作成する。

 $\Omega$ 

STEP-3: 地盤の振動特性を考慮して 地表面での模擬地震動を作成する。

0

STEP-4:模擬地震動入力による 加速度応答スペクトルを作成する。

STEP-5: 建家の目標 1次間有周期および 耐震設計レベルを決定する。



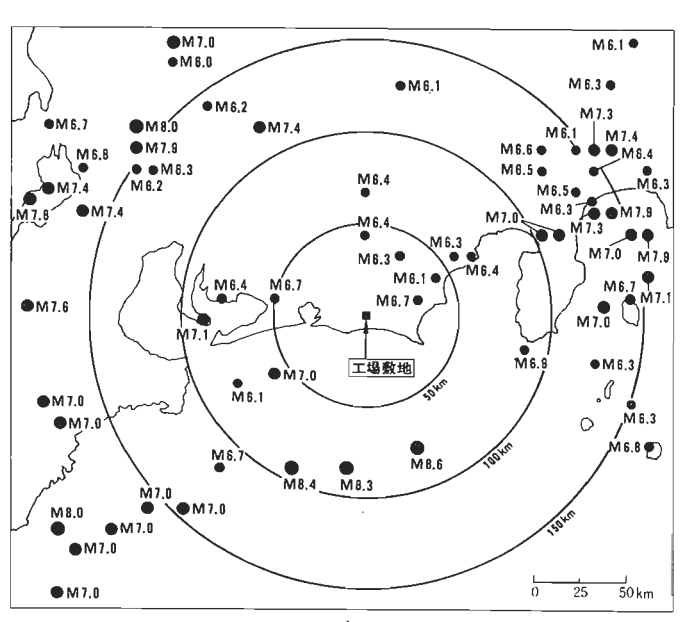


図 1-2 過去の地震発生記録 (M≥6)

と等価な体積を有する球体の半径の1/2 ²)と仮定して求め、震源距離としてそれぞれ 90km(タイプ I)、30km(タイプ II)を設定した。

## STEP 2:基盤における模擬地震動

想定した地震の基盤における模擬地震動を次のような方法により作成した。まず、地震規模および震央距離から、地震動の卓越周期、パワースペクトル分布を仮定し、定常ランダム振動としての波形を作成する。次に、時刻歴による非定常性を考慮するため、定常ランダム振動に各地震規模に応じた継続時間をもつ確定強度関数をかける。得られた波形から入力レベルに相応した振幅をもつ模擬地震動を作成する。

#### ●地震動の卓越周期とパワースペクトル分布

地震動は、発生機構や伝達経路により周波数特性が種々異なったものになることはよく知られているが、本例ではこの傾向を加味するため、海洋型と内陸型それぞれ別々に、地震動の卓越周期とパワースペクトル分布を仮定した。地震動の卓越

周期は、図1-3<sup>3)</sup>を参考にして、タイプⅠ、タイプⅡそれぞれ0.55 秒、0.3秒とし、 パワースペクトル分布については、種々の提案の 中から田治見による分布<sup>4)</sup>を用いた。パワースペクトルの分布形を 図1-4に示したが、タイプⅡについては特性のないパワースペクト ル分布としてのホワイトノイズも併せて考慮した。

#### ●確定強度関数

種々の提案式のうち、図 1-5 の三角関数による式を採用した。また、各遷移時刻については Jennings の提案 <sup>5)</sup>および久田、安藤の提案 <sup>6)</sup>を参考にして表 1-1 のように仮定した。

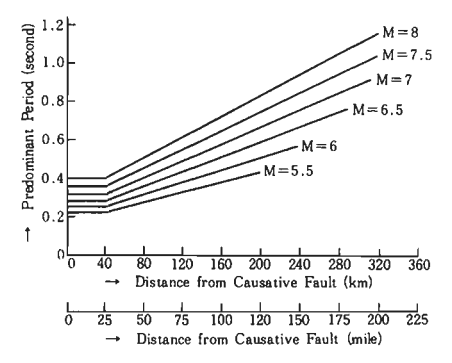
# ●基盤における入力レベルの設定

入力レベルは(1-1)式の金井式<sup>7)</sup>により加速度として評価した。

$$B = 0.61M - \left(1.66 + \frac{3.60}{x}\right) \log_{10} x + \left(0.167 - \frac{1.83}{x}\right)$$

ここに、a<sub>0</sub>:基盤での加速度(gal)、M:地震のマグニチュードx:震源距離(km)、T:地震動の周期(sec)

(1-1)式中のTを地震動の卓越周期として算定した場合の 想定された地震による敷地基盤での入力レベルを表1-2



⋈ 1-3 Predominant Periods for Maximum
Accelerations in Rock 3)

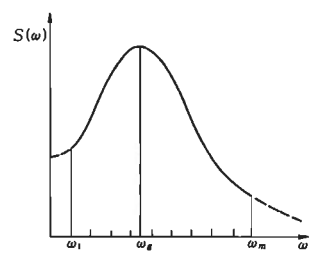
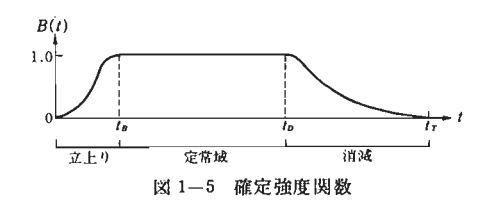


図 1-4 パワースペクトル分布 (田治見4)



双1一1 個足頭及例数におりる行題移時列								
タイプ	地震規模	t <sub>B</sub> (sec)	$t_D$ (sec)	$t_T$ (sec)				
I	M 8.5	4.0	35.0	70				
П	M 6.5	2.0	4.0	20				

**車1−1 確定語中間粉によける久型的時間** 

表 1-2 想定した地震と敷地での基盤入力レベル (加速度)

地從名称		想定した地	心震の諸元		金井式による基盤入力レベル		134 DAC ALL DOC 300 - 2		_
	地震規模	設源架さ h (km)	震央距離 △ (km)	設源距離 x (km)	加速度 a <sub>0</sub> (gal)	速度 vo(kine)	最大速度値 υ <sub>maxo</sub> (kine)	備	考
КТ	M 8.5	35	80	90	185	16.2	38.5	タイプ I	(田治見分布)
NT	M 6.5	0	30	30	90	4.3	14.8	タイプⅡ	(田治見分布)
NW	M 6.5	0	. 30	30	90	4.3	9.3	タイプⅡ	(ホワイトノイズ)

に示す。表中 $v_0$ は金井式による速度レベル $\left(v_0 = \frac{1}{2\pi} 10^g\right)$ 、 $v_{max0}$  は作成された模擬地震動の最大速度値 (周期 10秒、減衰 $h=1/\sqrt{2}$  の一質点振子の最大速度応答値をもって評価したもの)であり、参考値として示した。

#### STEP 3:敷地地表面における模擬地離動

敷地地盤のボーリング調査結果および PS検層により得られた各層の S波速度を図1-6 に示す。この地層構成をもとに基礎での模擬地震動を入力波として、重複反射理論により地表面での模擬地震動を作成した。また、S波速度が 600m/s以上ある GL-50m を解析上の基盤として設定した。図1-7に重複反射理論により得られた基盤に対する地表面の増幅特性を示す。

なお、地盤の減衰はQ値で評価し、その値は各層ともS波速度の1/10を採用した。このようにして得られた模擬地震動の波形を図1-8に示す。KT、NTはそれぞれ田治見によるパワースペクトル分布をもつタイプⅠ、タイプⅡの波形であり、NWはホワイトノイズに基づくタイプⅡの波形である。各模擬地震動に関する諸数値を表1-3に示したが、基盤に対する地表面の加速度増幅率は3~5倍となっている。

#### STEP 4:加速度応答スペクトル

地表面での模擬地震動を入力波とした1質点系の加速度応答スペクトルを図1-9に示す。 減衰の評価に当たっては、地下逸散減衰効果と地盤の塑性化に伴う減衰等を考慮して、減衰 定数を10%と仮定した。

#### STEP 5: 建家の目標固有周期と耐震設計レベルの設定

.新耐震設計法における大地震時の建家応答レベルが弾性で1.0Gを基準としていることから、図1-9に第2種、第3種地盤での Riに基づいた新耐震設計法レベルの応答曲線を示した。建家周期0.2秒~0.9秒において、模擬地震動による応答曲線は、この新耐震設計法レベルを大きく超えていることがわかる。この結果から以下のような構造設計方針を作成した。

- ① 建家の1次固有周期は0.2秒以下を目標とする。
- ② 保有耐力上、新耐震設計レベルの1.25倍の割増を行う。 したがって、構造計画に当たっては、生産設備計画上支障が生じないように、外周壁を主体構造とした耐震壁架構を採用した。

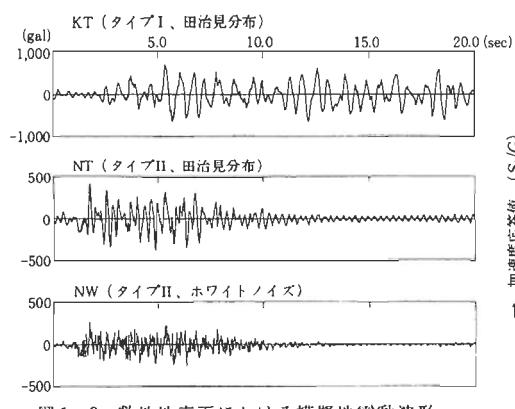


図1-8 敷地地表面における模擬地震動波形

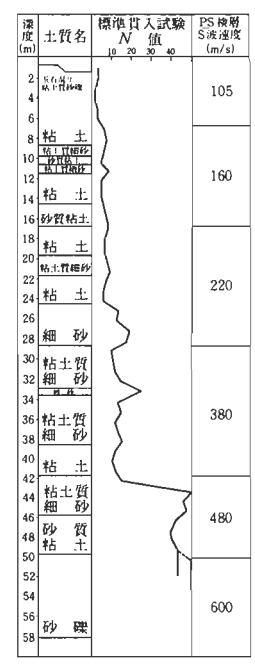


図1-6 敷地の地盤構成 とS波速度

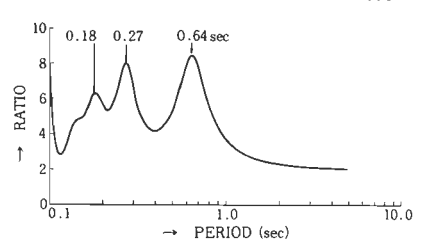


図1-7 地盤の増幅特性(加速度)

表 1-3 敷地地表面における模擬地震動の諸元

,,,,,	- 20-0-0	20 ma (440 )	P DC DC PG 30 12 H1 7 G			
地震	地表面におけ	る模擬地震動	增幅率(地表面/基盤)			
名称	最大加速度 a (gal)	最大速度値 v <sub>max</sub> (kine)	加速度 a/a。	速度値 vmax/vmax0		
КТ	700	113	3.78	2.94		
NΤ	423	42.1	4.70	2.84		
NW	277	24.8	3.08	2.67		

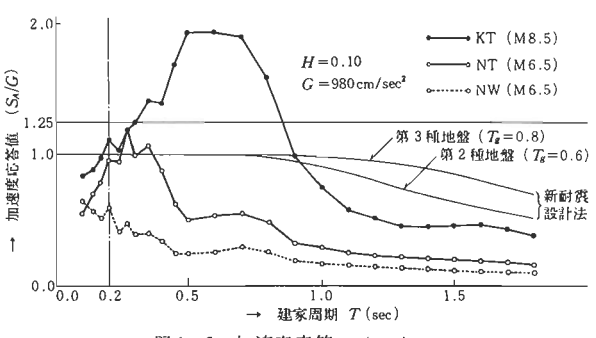


図1-9 加速度応答スペクトル

# 2. 東京近辺の高層建物の設計用地震入力

筆者等は、約10年ほど前から高層建物の動的検討の際に入力地震動のレベルを速度評価によって 25kine、50kine に設定 し、それぞれ弾性、弾塑性の挙動を検討してきた。これらの値については設定当初はもちろんのこと、その後毎回設計物件 を重ねるたびにその時点で検討可能な範囲で研究の成果等を反映させ見直しを加えてきたつもりである。最近では新耐震法 合の実施や、当シンポジウムにおける震源モデルから敷地までを結んだ地震入力推定の話題等により新たな比較データも増 えたので、設計用地震人力として、a.規準・指針等の数値、b.研究論文の方法を用いて推定される値、そして c.筆者等が従来 から設計建物の動的検討の際に設定している値の比較を行って再検討してみた。

地震入力に関する研究は、筆者等のような実務に携わる者にとっては難解なものも多く充分理解できているとは言い難い。 しかしながら、設計用地震入力についてある値を設定する上での検証方法として、あえていくつかの研究成果を採用させて いただいた。

なお地震入力の大きさは、速度応答スペクトルSvのレベルで比較を行う。設計時には滅衰 2% の Sv を用いているが、 こ こでは他との比較の便宜上5%のSvを用いる。なお地域的には東京近辺に限るものとした。

## a. 規準・指針等の数値

i) 高層建築技術指針(1973年) 日本建築学会

弾性設計用のベースシア係数 Caとして下記を定めている。

$$C_B = \frac{0.15}{T} \sim \frac{0.30}{T}$$

これをSvに換算すれば、

$$S_V = \frac{T}{2\pi} \times C_B \times 980 \,\text{cm/sec}^2 = 23 \sim 47 \,\text{(cm/sec)}$$
 (2-1)

この値の適用範囲としては 1sec≤T≤6sec 程度と考えられる。

ii) 地震荷重案(第1案)(1976年) 日本建築学会

最大級の地震に対する検討用速度応答値として下記を定めている。

$$V_D = Z \cdot G \cdot S \cdot D \cdot V_0$$

ここに、 Z: 地域係数、東京近辺 Z = 1.0 とする。 D: 減衰性により定まる係数

G: 地盤種別により定まる係数

旧 3種地盤に対する値はG=1.5  $T_c=0.8$ sec

S: 図 2-1 の関数 T≥Tc の範囲では S=1.0 V<sub>6</sub>: 基準速度応答スペクトル 85 cm/sec

鉄骨造 1.0、鉄筋コンクリート造 0.8

ここでは D=1.0 をとるものとする。

これをSvで表わすと、

$$S_v = 1.0 \times 1.5 \times 1.0 \times 1.0 \times 85 \text{ cm/sec} = 128 \text{ (cm/sec)}$$

この値は弾塑性検討用の入力であり、適用範囲としては 0.8sec≤ T≤3sec 程度と考えられる。

# iii) 建築基準法施行令 (1981年施行)

設計用ベースシア係数として下式が定められている。

$$C_B = Z \cdot R_t \cdot C_0$$

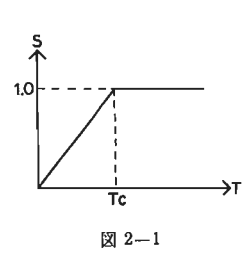
ここに、 Z: 地域係数、東京近辺 Z=1.0 とする。

Ri: 建物周期と地盤の影響係数、新告示による2種地盤とすると、

$$R_t = \frac{1.6 T_c}{T}$$
、 $T_c = 0.6$  ただし、 $T \ge 2 T_c$  の範囲

Co: 標準せん断力係数 0.2以上 (許容応力度設計時)

$$C_B = 1.0 \times \frac{1.6 \times 0.6}{T} C_0 = \frac{0.96}{T} C_0$$



これをSvで表わすと、

$$C_0 = 0.2$$
 に対し  $S_V = \frac{T}{2\pi} \times \frac{0.96}{T} \times 0.2 \times 980 \,\mathrm{cm/sec^2} = 30 \,\mathrm{(cm/sec)}$  (2-3-a)
$$C_0 = 1.0$$
 に対し  $S_V = \frac{T}{2\pi} \times \frac{0.96}{T} \times 1.0 \times 980 \,\mathrm{cm/sec^2} = 150 \,\mathrm{(cm/sec)}$  (2-3-b)

ただし、これらの適用範囲としては、高さ60m以下の建物となっているためT=0.03Hから判断して、

 $1.2 \sec < T \le 1.8 \sec$ 

と考えられる。

### b. 研究論文の方法を用いて推定される値

東京近辺に被害をもたらした過去の大地震の震源の分布は図 2-2のようになっており、これらの地震のマグニチュード と震源距離に対して金井式によって計算した東京の最大加速度分布は図 2-3のようになる。

これらの図から判断して、東京近辺では設計に際し考慮すべき地震としては、

 $M8 \Delta = 75 \text{ km}$ 

M 7  $\Delta = 25 \text{km}$ 

(△: 震央距離)

程度を想定しておけばよいと考えられる。

ちなみに、この2つの想定地震に対して $\pm$ 立ての最大加速度を計算すれば  $T_{\rm G}=0.6$ 秒として、

M8  $\Delta = 75 \,\mathrm{km} \,\mathrm{C}$   $a_{max} = 426 \,\mathrm{gal}$ 

M7  $\Delta = 25 \text{ km}$   $\mathcal{C}$   $a_{max} = 448 \text{ gal}$ 

となり、ほぼ 400~450galの大地震を想定していることになっている。

この2つの想定地震規模に対応して以下の3つの方法により、地震入力の大きさを速度応答スペクトル Svのレベルで推定する。

# i) 小林·長橋 (1976年)による場合

小林・長橋 $^{9}$ は 過去の強震計記録データから観測点の地盤の特性をとりのぞいたものについて、基盤スペクトル $^{8}$ をマグニチュード $^{M}$ と震源距離 $^{*}$ の関数として、

$$\log_{10} S_{v_0}(T, h=0.05)$$

$$= a(T) \cdot M - b(T) \log_{10} x - C(T)$$

で表わし、回帰分析の結果、 a(T)、b(T)、c(T) の値を 定めている。

a、b、c は T に対して単純な数式で表現できる値ではないが、ここでは 0.2 sec ≤ T ≤ 3.0 sec の範囲で log10 T に関する1次式で近似して、前述の2つの想定地震に対する基盤スペクトルを求めた。これに基盤から地表までの地盤の増幅特性をかけて地表でのSvを求めることになるが、地盤の増幅特性としては、後で述べる方法と精度をそろえるため、東京近辺での平均的数値としてピークを均して一律に5倍として代表させることとする。なお、x≒4 とした。

結果は後にまとめて図に示す。

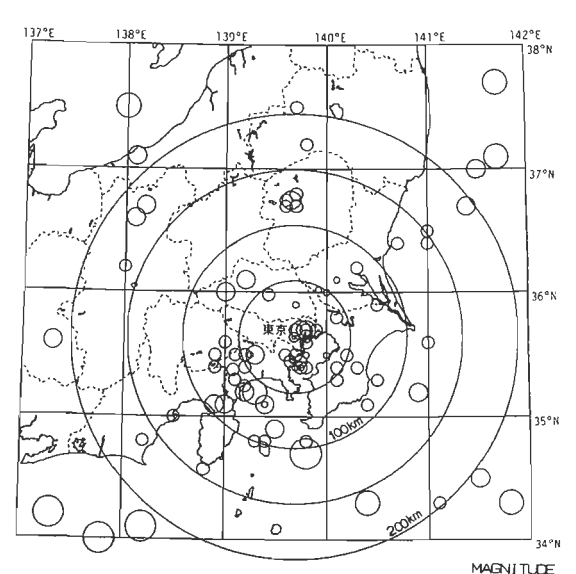
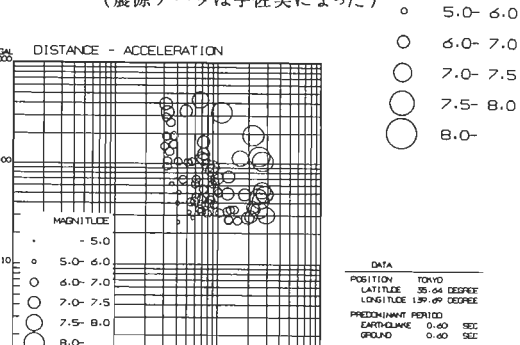


図 2-2 東京に被害をもたらした過去の地震 (震源データは字佐美によった)



- 5.0

図2-3 東京における過去の地震の推定加速度

#### ii) 太田·鏡味 (1976年) による場合

太田・鏡味がは、震源の断層モデルを単純横ずれ断層と仮定し、幅のある数値の中から実際の数値として適当と判断される値を採用しながら変数を減らし、複雑な理論式を条件付きで簡略化している。その結果震源の断層から r(km) だけ離れた場所の基盤における S波の加速度 スペクトル強度の半実験式を導き出し、さらに東京における基盤から地表までの地盤の増幅特性を平均的に一律 5 倍として地表の値を求め、建物のペースシア係数として、

$$C_B = 2.1 \times 10^{0.5 M-3} / rT$$

となることを示している。

この式により前述の想定地震に対する値を求めると、 r≒4 として

$$C_B = \frac{0.28}{T}$$
 (M8,  $r = 75 \text{ km}$ )  $C_B = \frac{0.266}{T}$  (M7,  $r = 25 \text{ km}$ )

これを Svで表示すれば次のようになる。

$$S_V = \frac{T}{2\pi} \frac{0.28}{T} \times 980 \,(\text{cm/sec}^2) = 44 \,(\text{cm/sec})$$
 ......(2-4-a)

この式の周期範囲は、T≥1sec のやや長周期成分に対してと考えられる。

#### iii) 工藤 (1978年) による場合

工藤<sup>10</sup>は太田・鏡味が用いた震顔モデル、各種実験式を前提として、同様の方法により断層から r(km) 離れた場所での表面波 (Love波)の加速度スペクトル強度の半実験式を求めている。 このとき地下構造のモデルとしては東京付近の地下構造を用いており、表面波の場合重要なパラメータとなる震源深さ(ここでは断層の中点の深さ)については平均像として 10km と仮定し、計算を行っている。その結果、建物のペースシア係数として表示したものが、

$$C_B = 3.2 \times 10^{0.5 M-4} / \sqrt{r} T$$

となることが示されている。

この式により前述の想定地震に対する値を求めると、 ≠≒4 として

$$C_B = \frac{0.37}{T}$$
 (M8,  $r = 75 \text{ km}$ )  $C_B = \frac{0.202}{T}$  (M7,  $r = 25 \text{ km}$ )

これをSvで表示すれば次のようになる。

$$S_V = \frac{T}{2\pi} \frac{0.202}{T} \times 980 \text{ (cm/sec}^2) = 32 \text{ (cm/sec)}$$

この式の周期範囲も T≥1sec のやや長周期成分に対してと考えられる。

# c. 動的検討に用いる地震入力の強さ

筆者等は高層建物の動的検討の際に各検討用地震波の強さを速度評価によってレベルをそろえ、25 kine 入力に対しては 建物が弾性限度内、50 kine 入力に対しては建物各部が塑性化はしても安定した復元力領域内の変形にとどまっていること を確認することとしている。

## i) 速度評価

1次固有周期が0.4秒をこえる建物に対する地震波の破壊力の大きさは、最大加速度の値よりも最大速度の値のほうがよりよい尺度となることが、小林・長橋!!! (1973年)によって示されている。強震計によって観測されるのは加速度波形であるため、これをもとに最大速度を求める必要が出てくる。筆者等は最大速度を求める方法として、小林・長橋の手法に準じ、地震計(速度計)の特性を持たせた振り子に加速度波形を入力し、その応答最大速度値を地震波の最大速度とする評価法を採用している。なお振り子の特性としては1次固有周期  $T_1=10$ 秒、減衰定数  $h=1/\sqrt{2}$  を使用している。

# ii) 25 kine、50 kineの入力レベル

高層建物の動的検討用地震波として比較的よく使用される 4 波について 25 kine、50 kine 時の最大加速度値を表 2—1 に 示す。また各々の速度応答スペクトル $S_{\nu}$ を求め図 2—4、図 2—5 に示した。

表 2-1 検討用地震波の例

	地震波名称	方向成分	地震発生年月日	最大加速度值 (gal)			記録長さ
			为阿成为 地級完工十万日		25 kine 時	50 kine 時	(秒)
1.	EL CENTRO CALIF.	NS	1940. 5. 18	342	259	518	54
2.	TAFT CALIF.	EW	1952. 7. 21	176	257	514	55
3.	TOKYO 101	NS	1956. 2. 14	74	256	512	12
4.	SENDAI TH 030	NS	1978. 6. 12	259	156	312	41

注:1.と2.は、C.I.T.のディジタル値を使用した。

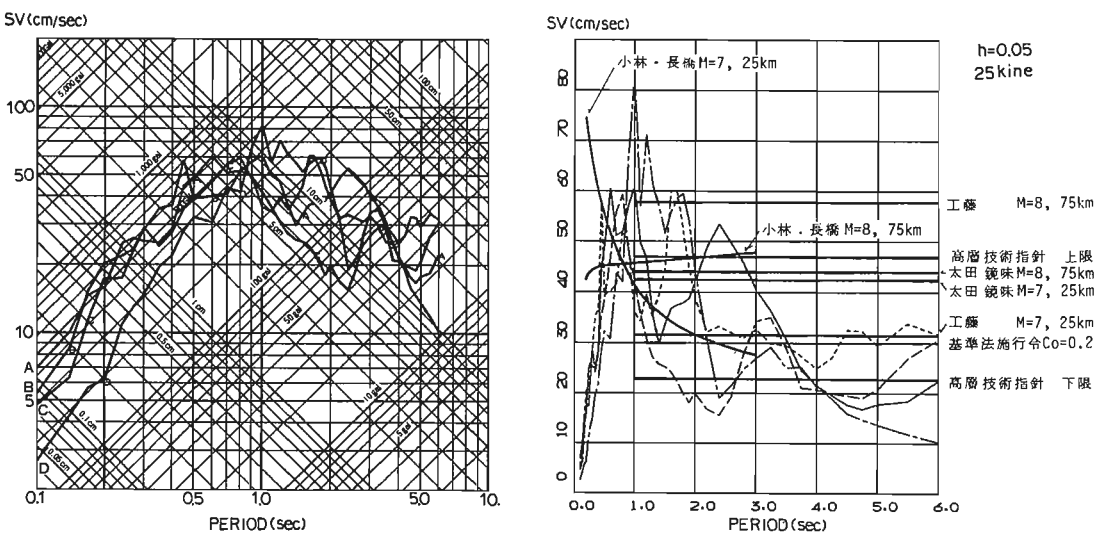


図 2-4 25kine時の応答スペクトルと各種規準・指針および論文より推定した $S_{\nu}$ レベルの比較

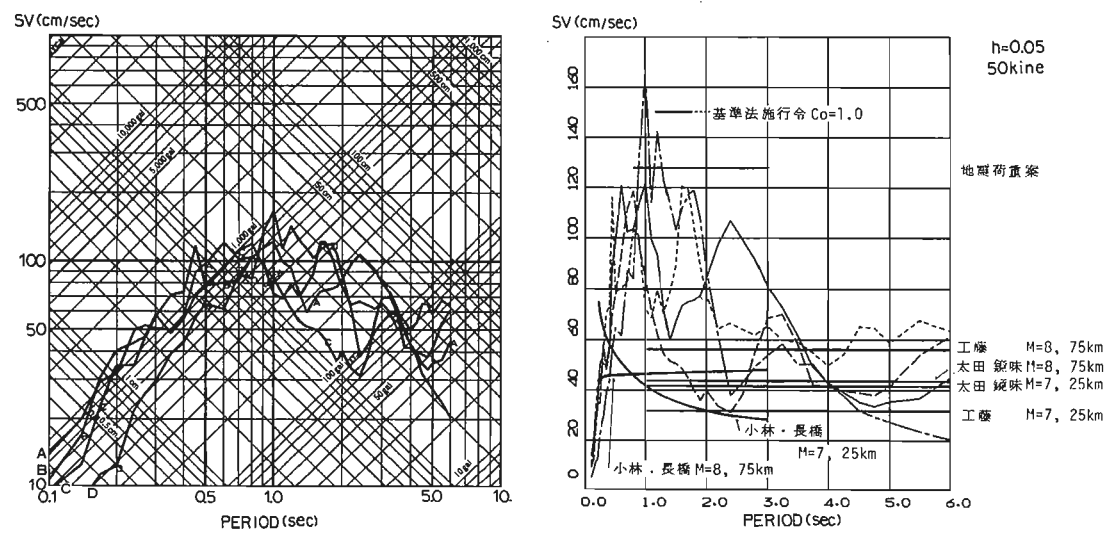


図 2-5 50 kine 時の応答スペクトルと各種規準・指針および論文より推定した  $S_{\nu}$ レベルの比較

A ————A	EL CENTRO	NS 1940, 5.18	EL CENTRO	NS 1940, 5.18
В ————В	TAFT	EW 1952, 7.21	TAFT	EW 1952. 7.21
c ————————————————————————————————————	TOKYO 101	NS 1956, 2.14	TOKYO 101	NS 1956, 2.14
D	SENDA1 THO30	NS 1978, 6.12	SENDA! TH030	NS 1978, 6.12

#### d. まとめ

以上の結果、それぞれのSvを比較すると図2-4および図2-5のようになる。これらの図より東京近辺で想定される地震 入力の大きさの程度と、各種規準・指針等の規定している設計用地震入力の大きさ、および速度評価による各種検討用地震 波の25kine、50kine時のSvレベルの相互関係が把握できる。これらの図から読みとれることとして以下のことがいえる。

- ここにあげた検討用地震波の 25 kine 時の S<sub>V</sub>のビーク値レベルは、周期 1~3 秒の範囲では約 50~80 cm/sec であり、M8、75 km または M7、25 km の地震の際の東京近辺での入力レベルの推定値 40~70 cm/sec に相当する強さを有している。
- ●同じく 25 kine 時の Svのビーク値レベルは周期 3~6秒の範囲についてみれば 30 cm/sec 以下となっており、上記の想定地震から得られる推定入力値レベルが 30~60 cm/sec となっているのに対し、やや小さくなっている。
- 検討用地震波 50 kine 時の Svのビーク値レベルは周期 1~3秒の範囲では 100~160 cm/sec 程度であり、新耐震法令の C₀= 1.0 (2 次設計) や、建築学会の地震荷重案 (第 1案 )などが考えている入力レベルにほぼ相当している。
- ●表 2—1 に示した地震波群は Svのビーク周期が少しづつずれておりセットで使用すれば波形による Svの谷間を補いあうことができる。

従って建家周期1~3秒程度の高層建物の動的検討用として表2-1の地震波群の25kineレベルは、東京近辺で想定される M8、75kmまたはM7、25kmの地震の入力レベルにほぼ相当しているといえる。さらに推定の際の数値の幅を考えれば50 kineによる検討も必要であるといえよう。建家周期が3秒をこえるような建物の検討用地震波については継続時間も含めてレベルの設定を別に考慮する必要があるといえる。

# 3. 謝辞

図 2-2 で使用した地図は大阪市立大学理学部地学教室、弘原海清先生によって作成された日本地図データ「JMAP」を用いて作図したものである。この旨を付記し感謝の意を表する。

#### 参考文献

- 1) 活断層研究会編 \*日本の活断層-分布図と資料 "1980、東京大学出版会
- 2) Ohsaki, Y., Watabe, M., Tohdo, M., \* ANALYSES ON SEISMIC GROUND MOTION PARAMETERS INCLUDING VERTI-CAL COMPONENTS \* 7 WCEE , 1980
- 3) Seed, H.B. and Idriss, I.M., \* Rock Motion Accelerograms for High Magnitude Earthquakes, Report No. EERC 69-7, Earthquake Engineering Center, University of California, April 1969
- 4) H. Tajimi "Statistical Method of Determining the Maximum Responses of Building During an Earthquake" 2WCEE,
- 5) Jennings, P.C., Housener, G.W. and Tsai, N.C. Simulated Earthquake Motions, Earthquake Engineering Research Laboratory, California Institute of Technology, Pasadena, April 1968
- 6) Hisada, T. and Ando, H. "On Relationship between Duration and Magnitude of Earthquake Motion at Bedrook" Kajima Inst. Const. Tech. 1973
- 7) 金井清"地震動の振動特性に関する実験式"第2回日本地震工学シンポジウム,1965
- 8) 小林·長橋・地表で観測された地震動の周期特性から求めた地盤の増幅特性と地震基盤における地震動の性質・昭和51 年2月、日本建築学会論文報告集(以下学会論報と略す)
- 9) 太田・鏡味・耐震工学上考慮すべき地震波の周期の上限と振幅の下限 昭和 51年 11月、学会論報
- 10) 工藤・長周期地動-強震地動の表面波に関する検討 1978年 3月 28日、第6回地盤震動シンポジウム、日本建築学会
- 11) 小林·長橋。重層建築物の耐震設計を対象とした地震動の強さを評価する簡便な尺度としての地震動最大振幅。 昭和 48 ・年8月、学会論報
  - (\*株式会社日建設計大阪本社副代表、\*\*東京本社構造部長)